



TUGAS AKHIR - MO184804

**STUDI KONFIGURASI TIPE STEEL CATENARY
RISER TERHADAP KEKUATAN RISER DENGAN
VARIASI KEDALAMAN LAUT DAN DIAMETER PIPA
RISER**

**ALDI MEGANTARA ARIFIN
NRP. 04311540000121**

Dosen Pembimbing :

**Prof. Ir. Eko Budi Djatmiko, M.Sc., Ph.D.
Ir. Murdjito MSc. Eng**

**DEPARTEMEN TEKNIK KELAUTAN
Fakultas Teknologi Kelautan
Institut Teknologi Sepuluh Nopember Surabaya
2019**



FINAL PROJECT - MO184804

CONFIGURATION STUDY OF STEEL CATENARY RISER TYPE ON RISER STRENGTH WITH SEA DEPTH VARIATION AND RISER PIPE DIAMETER VARIATION

ALDI MEGANTARA ARIFIN

NRP. 04311540000121

Supervisors :

Prof. Ir. Eko Budi Djatmiko, M.Sc., Ph.D.

Ir. Murdjito MSc. Eng

**DEPARTMENT OF OCEAN ENGINEERING
Faculty Of Marine Technology
Institut Teknologi Sepuluh Nopember Surabaya
2019**



TUGAS AKHIR - MO184804

STUDI KONFIGURASI TIPE STEEL CATENARY RISER TERHADAP KEKUATAN RISER DENGAN VARIASI KEDALAMAN LAUT DAN DIAMETER PIPA RISER

ALDI MEGANTARA ARIFIN

NRP. 04311540000121

Dosen Pembimbing :

Prof. Ir. Eko Budi Djatmiko, M.Sc., Ph.D.

Ir. Murdjito MSc. Eng

DEPARTEMEN TEKNIK KELAUTAN

Fakultas Teknologi Kelautan

Institut Teknologi Sepuluh Nopember Surabaya

2019



FINAL PROJECT - MO184804

CONFIGURATION STUDY OF STEEL CATENARY RISER TYPE ON RISER STRENGTH WITH SEA DEPTH VARIATION AND RISER PIPE DIAMETER VARIATION

ALDI MEGANTARA ARIFIN

NRP. 04311540000121

Supervisors :

Prof. Ir. Eko Budi Djatmiko, M.Sc., Ph.D.

Ir. Murdjito MSc. Eng

DEPARTMENT OF OCEAN ENGINEERING

Faculty Of Marine Technology

Institut Teknologi Sepuluh Nopember Surabaya

2019

LEMBAR PENGESAHAN

STUDI KONFIGURASI TIPE STEEL CATENARY RISER TERHADAP KEKUATAN RISER DENGAN VARIASI KEDALAMAN LAUT DAN DIAMETER PIPA RISER

TUGAS AKHIR

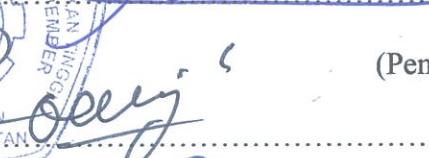
Diajukan Guna Memenuhi Salah Satu Syarat Memperoleh Gelar Sarja Teknik
Pada Program S1 Departemen Teknik Kelautan
Fakultas Teknologi Kelautan
Institut Teknologi Sepuluh Nopember

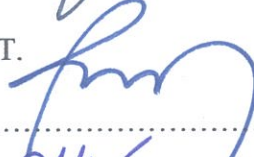
Oleh :

Aldi Megantara Arifin
NRP 04311540000121

Disetujui oleh :

Prof. Ir. Eko Budi Djatmiko, M.Sc., Ph.D.  (Pembimbing 1)

Ir. Murdjito MSc. Eng.  (Pembimbing 2)

Dr. Eng. Rudi Walujo Prastianto, S.T., M.T.  (Penguji 1)

Dr. Eng., Shafe Rahmawati, S.T., M.T.  (Penguji 2)

SURABAYA JULI 2019

**STUDI KONFIGURASI TIPE STEEL CATENARY RISER TERHADAP
KEKUATAN RISER DENGAN VARIASI KEDALAMAN LAUT DAN
VARIASI DIAMETER PIPA RISER**

Nama : Aldi Megantara Arifin
NRP : 04311540000121
Departemen : Teknik Kelautan FTK – ITS
Dosen Pembimbing : Prof. Ir. Eko Budi Djatmiko, M.Sc., Ph.D.
Ir. Murdjito MSc. Eng

Abstrak

Riser didefinisikan sebagai segmen vertikal (mendekati vertikal) pipa yang menghubungkan fasilitas di atas air dengan jaringan pipa bawah laut. Riser sangat dibutuhkan untuk mentransport gas atau crude oil dari fasilitas subsea ke struktur terapung yang berada di atasnya. Dalam penelitian ini dibahas mengenai analisis kekuatan steel catenary riser pada perbedaan kedalaman dengan variasi konfigurasi free hanging catenary dan lazy wave. Tinjauan khusus ini dilakukan untuk mengidentifikasi kekuatan konfigurasi steel catenary riser dengan beban gelombang pada perairan shallow water waves, intermediate depth waves, dan deep water waves dan dilihat pengaruh variasi diameter pipa riser selanjutnya akan didapatkan effective tension dan bending moment dari setiap riser, sehingga akhirnya akan diketahui kekuatan riser di setiap konfigurasi. Kekuatan SCR ditinjau menggunakan metode yang terdapat pada DNV OS F201. Pengecekan kekuatan menggunakan resultan tegangan max von mises stress. Berdasarkan hasil yang diperoleh, tegangan max von mises terjadi pada area segbend dan terjadi pada riser dengan kedalaman laut dangkal dan diameter pipa terkecil.

Kata Kunci — *Steel Catenary Riser, Free Hanging Catenary, Lazy Wave, Max Von Mises Stress*

**STUDI KONFIGURASI TIPE STEEL CATENARY RISER TERHADAP
KEKUATAN RISER DENGAN VARIASI KEDALAMAN LAUT DAN
VARIASI DIAMETER PIPA RISER**

Name : Aldi Megantara Arifin
REG : 04311540000121
Departement : Teknik Kelautan FTK – ITS
Technology, ITS Supervisors : Prof. Ir. Eko Budi Djatmiko, M.Sc., Ph.D.
Ir. Murdjito MSc. Eng

Abstract

Riser is defined as the vertical segment of pipe that connects facilities above the water level with pipe network below the water level. Riser is essentially needed to transport gas or crude oil from subsea facility to floating structure above. This study hereby will discuss the analysis of strength of steel catenary riser with the variance of free hanging catenary and lazy wave configuration depending on the difference in depth. Riser is being simulated using dynamic analysis software. The objective of this review is to identify the strength configuration of steel catenary riser using the wave load on the shallow water wave, intermediate water wave, and deep water wave and to observe the effect on the variation of the riser pipe diameter which is resulting on the effective tension and bending moment of each riser which represent the strength of the riser on each configuration. The strength of SCR is reviewed using the method on DNV OSF201. In order to determine the proper strength representation, max von mises stress is used as the resultant tension. Based on the result, max von mises stress occurs in the segbend area and on the riser with shallow water depth and the smallest pipe diameter.

Kata Kunci : Steel Catenary Riser, Lazy Wave, Max Von Mises Stress

KATA PENGANTAR

Puji syukur penulis panjatkan kehadirat Allah SWT karena dengan rahmat, karunia, dan hidayahnya penulis dapat menyelesaikan laporan tugas akhir ini dengan baik dan lancar. Sholawat serta salam juga penulis panjatkan kepada junjungan seluruh umat manusia Rasulullah Muhammad SAW.

Tugas akhir ini berjudul “Studi Konfigurasi Tipe Steel Catenary Riser terhadap Kekuatan Riser dengan Variasi Kedalaman Laut dan Diameter Pipa Riser ”. Tugas akhir ini disusun guna memenuhi persyaratan dalam menyelesaikan Studi Kesarjanaan (S-1) di Departemen Teknik Kelautan, Fakultas Teknologi Kelautan, Institut Teknologi Sepuluh Nopember Surabaya. Tugas akhir ini membahas tentang peninjauan kekuatan steel catenary riser menggunakan DNV-OS-F201. Selain itu tugas akhir ini dibuat untuk mengetahui bagaimana pengaruh kedalaman laut dan besar diameter pipa terhadap kekuatan pipa riser tersebut.

Penulis menyadari bahwa dalam pengerjaan tugas akhir ini masih jauh dari kesempurnaan sehingga saya sangat mengharapkan kritik dan saran dari pihak lain. Akhir kata penulis berharap penelitian ini bermanfaat bagi perkembangan teknologi di bidang subsea technology serta bermanfaat bagi pembaca pada umumnya dan penulis pada khususnya.

Surabaya, Juli 2019

Aldi Megantara Arifin

UCAPAN TERIMAKASIH

Pada kesempatan ini penulis ingin mengucapkan terima kasih kepada semua pihak yang telah membantu kelancaran dalam pengerajan tugas akhir ini hingga selesai. Penulis ingin mengucapkan terima kasih kepada:

1. Mochammad Arifin dan Ayin Suasrini selaku kedua orang tua saya, adik saya Aldira Jasmine, serta seluruh keluarga besar yang selalu mendoakan dan memberikan dukungan selama proses pengerajan tugas akhir ini. Tugas akhir ini saya persembahkan khusus untuk kalian.
2. Bapak Prof. Ir. Eko Budi Djatmiko, M.Sc., Ph.D. selaku dosen pembimbing 1 dan Bapak Ir. Murdjito MSc. Eng selaku dosen pembimbing 2. Terima kasih atas bimbingan, ilmu serta dukungan kepada saya untuk menyelesaikan tugas akhir ini.
3. Bapak Dr. Ir. Wisnu Wardhana, M.Sc., SE selaku dosen wali saya selama kuliah di Departemen Teknik Kelautan FTK-ITS ini. Terima kasih atas bimbingan dan arahan bapak sehingga saya bisa menjadi mahasiswa yang lebih baik.
4. Seluruh dosen dan karyawan Departemen Teknik Kelautan FTK-ITS yang telah memberikan ilmu, bantuan dan fasilitas kepada saya selama menjalani perkuliahan.
5. Ibu Sholikhah selaku Vice President PT. Pertamina (Persero) pengolahan RU Cilacap, Mas Made, Mas Zein serta rekan-rekan PT Pertamina Shipping yang telah memberikan kesempatan dan pengalaman selama kerja praktek. Terima kasih atas bantuan dan motivasi yang sudah rekan-rekan berikan.
6. Rekan-rekan Keluarga kons, Arek2 skuad, Samyon yang selalu berbagi canda dan tawanya hingga saat ini.
7. Rekan-rekan Tritonous L-33 Teknik Kelautan 2015 yang selalu mendukung dan membantu satu sama lain hingga tugas akhir ini selesai.

Serta semua pihak yang telah membantu namun tidak bisa penulis sebutkan satu-persatu. Terima kasih atas bantuan, motivasi, dan doa sehingga penulis mampu menyelesaikan Tugas akhir ini.

DAFTAR ISI

| | |
|--|------|
| LEMBAR PENGESAHAN | iii |
| Abstrak | iv |
| Abstract | v |
| KATA PENGANTAR | vi |
| UCAPAN TERIMAKASIH..... | vii |
| DAFTAR ISI..... | viii |
| DAFTAR GAMBAR | x |
| DAFTAR TABEL..... | xiii |
| DAFTAR LAMPIRAN | xiv |
| BAB 1 PENDAHULUAN | 1 |
| 1.1 Latar Belakang Masalah | 1 |
| 1.2 Rumusan Masalah | 2 |
| 1.3 Tujuan..... | 2 |
| 1.4 Manfaat..... | 3 |
| 1.5 Batasan Masalah..... | 3 |
| 1.6 Sistematika Penulisan..... | 4 |
| BAB II TINJAUAN PUSTAKA..... | 5 |
| 2.1 Tinjauan Pustaka | 5 |
| 2.2 Riser | 6 |
| 2.3 Sistem Riser | 6 |
| 2.4 Top Tensioned Riser | 8 |
| 2.5 Compliant Riser | 9 |
| 2.6 Hybrid Riser | 11 |
| 2.7 Tantangan Perairan Laut Dalam..... | 12 |
| 2.8 Steel Catenary Riser..... | 13 |
| 2.9 Konsep Pembebanan | 15 |
| 2.10 Beban Gelombang..... | 16 |
| 2.10.1 Gelombang Reguler | 16 |
| 2.10.2 Gelombang Acak..... | 17 |

| | |
|--|-----------|
| 2.10.3 Spektrum Gelombang..... | 17 |
| 2.11 Beban Arus..... | 18 |
| 2.12 Gaya Tarik Efektif (<i>Effective Tension</i>) | 18 |
| 2.13 Momen Lentur..... | 19 |
| 2.14 Kode Desain..... | 20 |
| 2.15 Persamaan Catenary..... | 20 |
| 2.16 Kedalaman Laut..... | 21 |
| Bab III Metodologi Penelitian..... | 23 |
| 3.1 Diagram Alir Metodologi Penelitian | 23 |
| BAB IV ANALISIS HASIL DAN PEMBAHASAN | 27 |
| 4.1 Analisis Konfigurasi Statis <i>Steel Catenary Riser</i> | 27 |
| 4.2 Pemodelan <i>Steel Catenary Riser</i> dengan Orcaflex 9.2..... | 28 |
| 4.3 Pemodelan Lingkungan | 29 |
| 4.4 Langkah Analisis Effective Tension dan Bending Moment | 30 |
| 4.4.1 Effective Tension | 31 |
| 4.4.2 Bend Moment..... | 49 |
| 4.5 Analisis Kekuatan..... | 68 |
| BAB V KESIMPULAN DAN SARAN..... | 71 |
| 5.1 Kesimpulan..... | 71 |
| 5.2 Saran | 73 |
| DAFTAR PUSTAKA | 75 |

DAFTAR GAMBAR

| | |
|--|----|
| Gambar 2. 1 Sistem Integritas pada Riser (Agusta,2014) | 6 |
| Gambar 2. 2 Top Tensioned Rises (DnV,2010)..... | 8 |
| Gambar 2. 3 Konfigurasi pada Compliant Riser (Jayeoung Lee,2007) | 10 |
| Gambar 2. 4 Struktur lapisan pada flexible riser (Ruswandi,2009) | 11 |
| Gambar 2. 5 Hybrid Riser (DnV,2010)..... | 12 |
| Gambar 2. 6 Steel Catenary Riser (Jaeyoung Lee, 2007) | 14 |
| Gambar 2. 7 Flexjoint tersambung dengan floater (DnV, 2010) | 15 |
| Gambar 2. 8 Ilustrasi Gelombang Acak..... | 17 |
| Gambar 2. 9 Kesetimbangan pipa ketika dikenai fluida (Sparks, 2007)..... | 19 |
| Gambar 2. 10 Model Catenary (Bai, 2014) | 20 |
| Gambar 4. 1 Konfigurasi Statis <i>Steel Catenary Riser</i> | 27 |
| Gambar 4. 2 Konfigurasi Statis <i>Steel Catenary Riser</i> | 28 |
| Gambar 4. 3 Pemodelan <i>Steel Catenary Riser</i> Konfigurasi <i>Free Hanging Catenary</i> | 29 |
| Gambar 4. 4 Pemodelan <i>Steel Catenary Riser</i> Konfigurasi <i>Lazy Wave</i> | 29 |
| Gambar 4. 5 Profil Gelombang | 30 |
| Gambar 4. 6 <i>Input</i> Profil Gelombang..... | 30 |
| Gambar 4. 7 Grafik <i>Effective Tension</i> sepanjang Riser (SCR 16in Water Depth 90m) | 31 |
| Gambar 4. 8 Grafik Effective Tension sepanjang Riser (SCR 20in Water Depth 90m) | 32 |
| Gambar 4. 9 Grafik Effective Tension sepanjang Riser (SCR 24in Water Depth 90m) | 33 |
| Gambar 4. 10 Grafik Effective Tension sepanjang Riser (SCR 16in Water Depth 200m) | 34 |
| Gambar 4. 11 Grafik Effective Tension sepanjang Riser (SCR 20in Water Depth 200m) | 35 |
| Gambar 4. 12 Grafik Effective Tension sepanjang Riser (SCR 24in Water Depth 200m) | 36 |
| Gambar 4. 13 Grafik Effective Tension sepanjang Riser (SCR 16in Water Depth 550m) | 37 |
| Gambar 4. 14 Grafik Effective Tension sepanjang Riser (SCR 20in Water Depth 550m) | 38 |
| Gambar 4. 15 Grafik Effective Tension sepanjang Riser (SCR 24in Water Depth 550m) | 39 |
| Gambar 4. 16 Grafik perbandingan Effective Tension sepanjang Riser Free hanging catenary dengan Lazy Wave (SCR 16in Water Depth 90m) | 40 |
| Gambar 4. 17 Grafik perbandingan Effective Tension sepanjang Riser Free hanging catenary dengan Lazy Wave (SCR 20in Water Depth 90m) | 41 |
| Gambar 4. 18 Grafik perbandingan Effective Tension sepanjang Riser Free hanging catenary dengan Lazy Wave (SCR 24in Water Depth 90m) | 42 |

| | |
|---|----|
| Gambar 4. 19 Grafik perbandingan Effective Tension sepanjang Riser Free hanging catenary dengan Lazy Wave (SCR 16in Water Depth 200m) | 43 |
| Gambar 4. 20 Grafik perbandingan Effective Tension sepanjang Riser Free hanging catenary dengan Lazy Wave (SCR 20in Water Depth 200m) | 44 |
| Gambar 4. 21 Grafik perbandingan Effective Tension sepanjang Riser Free hanging catenary dengan Lazy Wave (SCR 24in Water Depth 200m) | 45 |
| Gambar 4. 22 Grafik perbandingan Effective Tension sepanjang Riser Free hanging catenary dengan Lazy Wave (SCR 16in Water Depth 550m) | 46 |
| Gambar 4. 23 Grafik perbandingan Effective Tension sepanjang Riser Free hanging catenary dengan Lazy Wave (SCR 20in Water Depth 550m) | 47 |
| Gambar 4. 24 Grafik perbandingan Effective Tension sepanjang Riser Free hanging catenary dengan Lazy Wave (SCR 24in Water Depth 550m) | 48 |
| Gambar 4. 25 Grafik Bend Moment sepanjang Riser (SCR 16in Water Depth 90m) | 49 |
| Gambar 4. 26 Grafik Bend Moment sepanjang Riser (SCR 20in Water Depth 90m) | 50 |
| Gambar 4. 27 Grafik Bend Moment sepanjang Riser (SCR 24in Water Depth 90m) | 51 |
| Gambar 4. 28 Grafik Bend Moment sepanjang Riser (SCR 16in Water Depth 200m) | 52 |
| Gambar 4. 29 Grafik Bend Moment sepanjang Riser (SCR 20in Water Depth 200m) | 53 |
| Gambar 4. 30 Grafik Bend Moment sepanjang Riser (SCR 24in Water Depth 200m) | 54 |
| Gambar 4. 31 Grafik Bend Moment sepanjang Riser (SCR 16in Water Depth 550m) | 55 |
| Gambar 4. 32 Grafik Bend Moment sepanjang Riser (SCR 20in Water Depth 550m) | 56 |
| Gambar 4. 33 Grafik Bend Moment sepanjang Riser (SCR 24in Water Depth 550m) | 57 |
| Gambar 4. 34 Grafik Bend Moment sepanjang Riser (SCR 16in Water Depth 90m) | 58 |
| Gambar 4. 35 Grafik Bend Moment sepanjang Riser (SCR 20in Water Depth 90m) | 59 |
| Gambar 4. 36 Grafik Bend Moment sepanjang Riser (SCR 24in Water Depth 90m) | 60 |
| Gambar 4. 37 Grafik Bend Moment sepanjang Riser (SCR 16in Water Depth 200m) | 61 |
| Gambar 4. 38 Grafik Bend Moment sepanjang Riser (SCR 20in Water Depth 200m) | 62 |
| Gambar 4. 39 Grafik Bend Moment sepanjang Riser (SCR 24in Water Depth 200m) | 63 |

| | |
|--|----|
| Gambar 4. 40 Grafik Bend Moment sepanjang Riser (SCR 16in Water Depth 550m) | 64 |
| Gambar 4. 41 Grafik Bend Moment sepanjang Riser (SCR 20in Water Depth 550m) | 65 |
| Gambar 4. 42 Grafik Bend Moment sepanjang Riser (SCR 24in Water Depth 550m) | 66 |

DAFTAR TABEL

| | |
|---|----|
| Tabel 3. 1 Data <i>Steel Catenary Riser</i> | 25 |
| Tabel 4. 1 Hasil Perhitungan Teori <i>Catenary</i> kedalaman 90 meter..... | 27 |
| Tabel 4. 2 Hasil Perhitungan Teori Catenary kedalaman 200 meter | 27 |
| Tabel 4. 3 Hasil Perhitungan Teori Catenary kedalaman 550 meter | 28 |
| Tabel 4. 4 Perbandingan hasil analisa pada masing -masing kofigurasi kedalaman 90 meter..... | 67 |
| Tabel 4. 5 Perbandingan hasil analisa pada masing -masing kofigurasi kedalaman 200 meter..... | 67 |
| Tabel 4. 6 Perbandingan hasil analisa pada masing -masing kofigurasi kedalaman 550 meter..... | 67 |
| Tabel 4. 7 Kriteria Kekuatan FHR SCR..... | 69 |
| Tabel 4. 8 Kriteria Kekuatan Lazy Wave SCR | 69 |

DAFTAR LAMPIRAN

- | | |
|------------|--|
| Lampiran A | Analisa Konfigurasi Statis |
| Lampiran B | Input Orcaflex |
| Lampiran C | Outout Max Von Mises (1 Variasi Kedalaman dengan Konfigurasi Free Hanging Catenary) |
| Lampiran D | Output Grafik Max Von Mises (1 Variasi Kedalaman Dengan Konfigurasi Free Hanging Catenary) |

BAB 1

PENDAHULUAN

1.1 Latar Belakang Masalah

Dunia eksplorasi dan eksploitasi migas lepas pantai dengan menggunakan struktur terapung merupakan bidang yang membutuhkan teknologi tinggi dan biaya yang tidak sedikit. Oleh karena itu perlu dilakukan analisa perancangan dengan sangat hati-hati, baik itu perancangan awal sampai pemeliharaan agar struktur terawat dengan baik

Salah satu jenis infrastruktur yang memiliki peran penting dalam industri ini adalah *riser*. *Riser* sangat dibutuhkan untuk mentransport gas atau crude oil dari fasilitas *subsea* ke *offshore platform* (Agusta, 2012). Konsep riser yang sering digunakan untuk laut dalam adalah *flexible riser*, *Steel Catenary Riser* (SCR) dan *Hybrid Riser Tower* (HRT) (Karunakaran et al, 1996 ; Keprate,2009)

Flexible riser merupakan riser yang terbuat dari material komposit yang fleksibel sehingga dapat mengakomodir pergerakan dinamis *vessel* dan sudut lekukan kritis (*high curvature*), serta mudah dalam instalasinya.

Hybrid riser merupakan riser dengan menggabungkan *vertical rigid tower* yang berdiri dari *seabed* hingga *wave action zone* dan flexible riser yang terhubung dengan tower menuju offshore platform (Ruswandi, 2009). Namun, hybrid riser masih belum menjawab permasalahan laut dalam dikarenakan mahalnya komponen-komponen pendukung pada hybrid riser (*riser buncle*, *bouyancy can* , *flex joint*, *flexible jumper*, dll).

Steel Catenary Riser (SCR) adalah riser yang terbuat dari pipa baja (*steel pipe*). Penggunaan material baja ini membuat biaya SCR lebih ekonomis dari flexible riser dan hybrid riser dan pipa baja relatif ringan sehingga dapat mengurangi beban angkut *floater* (Howells, 1995). Penggunaan diameter besar diizinkan dalam konsep SCR, yang mana sesuai untuk laut dalam

dan *High Pressure and High Temperature* (HPHT). Namun, beberapa studi menunjukkan bahwa performa dinamis SCR terbatas.

Konfigurasi SCR dapat menjadi lebih kompleks jika *floater* bergerak menjauh dari TDP yang menyebabkan tegangan efektif menjadi tinggi, atau momen lentur menjadi tinggi jika *floater* bergerak mendekati TDP. Permasalahan tersebut dapat diminimalisir dengan membatasi gerak *vessel* atau meningkatkan performa SCR. Tiga konfigurasi SCR yang paling sering digunakan adalah (Buberg, 2014) :

1. *Free Hanging*
2. *Lazy Wave*

Perbedaan jenis kedalaman perairan tempat *riser* beroperasi dan besar diameter pipa *riser* akan mempengaruhi kekuatan dari *riser* itu sendiri. Oleh karena itu diperlukan analisis untuk melihat kekuatan *riser* dengan konfigurasi *free hanging catenary*, dan *lazy wave* pada jenis kedalaman perairan yang berbeda dan diameter pipa yang berbeda. *Riser* tipe *lazy wave* akan ditambahkan *bouyancy elements* dekat dengan TDP. Sedangkan *tipe free hanging catenary* tanpa menggunakan *bouyancy elements* yang berarti menyambung langsung dari buoy menuju pipeline end manifold (PLEM). *Output* dari analisis ini adalah mendapatkan kekuatan dari setiap konfigurasi *steel catenary riser* pada jenis kedalaman operasi laut yang berbeda.

1.2 Rumusan Masalah

Permasalahan yang akan dikaji dalam tugas akhir ini adalah :

1. Berapa besar *effective tension* dan momen lentur pada konfigurasi *steel catenary riser* tipe *free hanging* dan *lazy wave* ?
2. Bagaimana pengaruh variasi kedalaman laut *shallow water*, *intermediate water*, dan *deep water* terhadap kekuatan *riser* ?
3. Bagaimana pengaruh perbedaan diameter *riser* terhadap kekuatan *riser* ?

1.3 Tujuan

Tujuan yang ingin dicapai dalam penelitian ini adalah sebagai berikut :

1. Mengetahui besar *effective tension* dan momen lentur pada konfigurasi *steel catenary riser* tipe *free hanging* dan *lazy wave*
2. Mengetahui pengaruh variasi kedalaman laut *shallow water*, *intermediate water*, dan *deep water* terhadap kekuatan *riser*.
3. Mengetahui pengaruh besar diameter *riser* terhadap kekuatan *riser*

1.4 Manfaat

Manfaat penggerjaan tugas akhir ini adalah mengetahui besar *effective tension* dan momen lentur yang terjadi pada *riser*, sehingga dapat membandingkan kekuatan antara konfigurasi *steel catenary riser* tipe *free hanging* dan *lazy wave* pada variasi kedalaman laut *shallow water*, *intermediate water*, dan *deep water* dan variasi besar diameter *riser*

1.5 Batasan Masalah

Untuk menghindari pembahasan diluar topik yang akan dikaji, maka dilakukan pembatasan masalah dengan asumsi – asumsi sebagai berikut :

1. Beban yang bekerja pada *riser* yang diperhitungkan akibat beban gelombang dan arus.
2. Analisis kekuatan *riser* berdasarkan *effective tension*, momen lentur dan *max von mises stress* menggunakan *software* Orcaflex 9.2 sesuai kriteria DNV-OS-F201.
3. Kondisi dasar laut diasumsikan datar.
4. Variasi kedalaman laut yang digunakan adalah *shallow water*, *intermediate water*, dan *deep water* dengan Hs (tinggi gelombang signifikan dan periode gelombang tetap).
5. Variasi diameter pipa *riser* yang digunakan adalah 16 in, 20 in dan 24 in.
6. Tipe konfigurasi *steel catenary riser* yang dianalisa adalah *free hanging* dan *lazy wave*.
7. Kekuatan *riser* tidak dipengaruhi oleh pergerakan struktur terapung.
8. Dalam menentukan kedalaman laut menggunakan tinggi gelombang yang sudah ditetapkan berdasarkan data dan tipe gelombang yang digunakan adalah JONSWAP.

1.6 Sistematika Penulisan

Pada Bab Pendahuluan diterangkan berbagai hal yang dapat menyangkut penelitian yang menyangkut penelitian yang dilakukan yakni :

1. Hal-hal yang melatarbelakangi dilakukannya penelitian.
2. Permasalahan yang ingin diselesaikan dengan mengerjakan penelitian.
3. Tujuan yang digunakan untuk menjawab permasalahan yang diangkat.
4. Manfaat yang diperoleh dari dilakukannya penelitian.
5. Hal-hal yang menjadi batasan dalam penggerjaan penelitian.
6. Penjelasan dari sistematika laporan yang digunakan dalam penelitian.

Bab II Tinjauan Pustaka berisi tinjauan pustaka yang dijadikan acuan dalam penggerjaan penelitian ini.

Bab III Metodologi Penelitian menerangkan tentang metode yang dipergunakan dalam mengerjakan penelitian ini.

BAB II

TINJAUAN PUSTAKA

2.1 Tinjauan Pustaka

Beberapa tahun terakhir, pemilihan konsep *riser* untuk eksploitasi minyak dan gas di laut dalam telah menjadi perhatian utama dalam industri minyak dan gas (Souza et al,2008).Keprate (2009) dalam penelitiannya, menjelaskan bahwa konsep riser yang sering digunakan dalam laut dalam yaitu :

1. Free hanging flexible riser
2. Steel Catenary riser
3. Hybrid riser tower

Dari ketiga riser tersebut, menurut Howells (1995) dalam penelitiannya, menyatakan bahwa Steel Catenary Riser (SCR) merupakan konsep riser yang tepat untuk digunakan di laut dalam, karena riser tersebut menggunakan material baja sehingga lebih ekonomis dan mengurangi beban angkut *floater* karena relatif lebih ringan.

Salah satu kelemahan SCR adalah rentannya riser terhadap perilaku dinamis dari *floater*. Buberg (2014) dalam penelitiannya menyatakan bahwa gerakan *heave* dan *surge* yang signifikan dapat mengakibatkan momen lentur yang besar pada panjang bentang riser, terutama pada bagian *Touch Down Point* (TDP).Agusta (2012) dalam tugas akhirnya juga menyatakan bahwa jika riser terlalu jauh dari TDP akan menyebabkan gaya tarik efektif yang besar, dan jika riser terlalu dekat dengan TDP akan menyebabkan momen lentur yang tinggi.

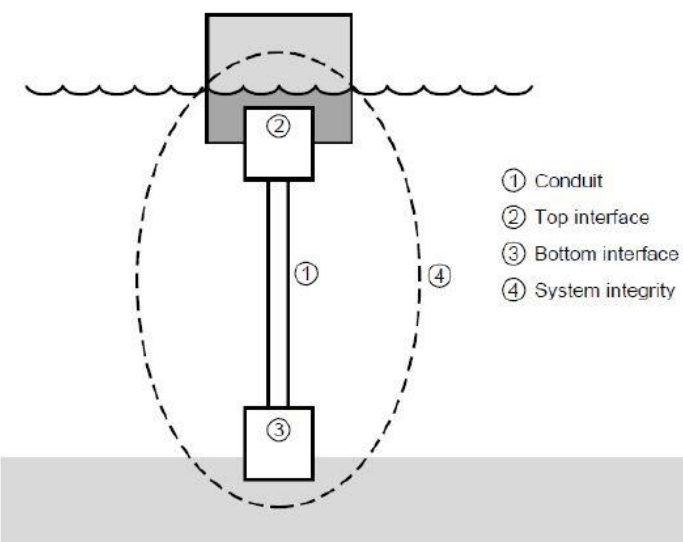
Maka dari itu, untuk mengetahui gaya tarik efektif dan momen lentur maksimal harus dilakukan analisis statis pada riser. Beberapa orang telah melakukan penelitian tentang analisis statis pada riser diantaranya, Ruswandi (2009), Agusta (2012 dan 2014), Nurwanto (2012), Permana (2013), Buberg (2014) dan Keprate (2014).

2.2 Riser

Riser merupakan bagian paling penting dalam sebuah kegiatan produksi, pengeboran dan eksport/import minyak dan gas di lepas pantai. Tugas utama riser adalah untuk mentransportasi fluida dari dasar laut sampai ke host platform.

Menurut *American Petroleum Institute* (API) , elemen-elemen yang terdapat dalam sistem riser antara lain sebagai berikut (API, 1998) :

- *Riser body* : pipa metal dan pipa fleksibel
- *Top interface*
- *Bottom interface*



Gambar 2. 1 Sistem Integritas pada Riser (Agusta,2014)

Conduit / riser body adalah komponen yang mentransport fluida/gas, konfigurasinya dapat berbeda-beda tergantung kedalaman laut, kondisi lingkungan dan fluida/gas yang ditransport. *Top interface* adalah fasilitas yang berada di permukaan, bisa berupa fixed platform atau FPU. *Bottom interface* merupakan fasilitas-fasilitas yang berada pada dasar laut.

2.3 Sistem Riser

Sistem *riser* memiliki fungsi yang berbeda-beda dalam industri minyak dan gas :

1. Drilling riser – riser ini digunakan untuk mengebor sumur
2. Production riser – digunakan untuk mengalirkan minyak/gas dari sumur ke platform

3. Workover riser – digunakan dalam operasi sumur atau *maintenance* sumur
4. Export riser – digunakan untuk mentransport minyak/gas yang sudah di proses ke tanker

Sebuah sistem *riser* berfungsi sebagai penghubung antara struktur statik pada bagian dasar laut melalui *bottom interface* dan struktur yang bergerak melalui *top interface*.

Nyatanya, pada suatu ladang minyak atau gas tidak hanya terdapat satu riser saja, melainkan banyak *riser body* dan *interface*. Hal ini disebabkan karena pada suatu reservoir memungkinkan adanya perbedaan tekanan dan jenis fluida. Kondisi batimetri tiap sumur juga dapat berbeda. Hal ini menyebabkan perbedaan desain suatu *riser* dalam sebuah sistem *riser*.

Perbedaan desain riser dapat disebabkan hal-hal sebagai berikut :

- Kedalaman perairan

Dalamnya perairan sangat mempengaruhi berat riser. Semakin dalam perairan, semakin berat juga fluida yang ditransportasi maka riser akan semakin berat. Hal ini menyebabkan gaya tarik pada riser sehingga akan menambah beban pada vessel. Diameter besar juga dibutuhkan pada perairan yang dalam guna menahan tekanan hidrostatik yang tinggi

- Pergerakan *floater*

Pergerakan *floater* mempengaruhi beban riser dengan merubah departure angle dari riser sehingga merubah panjang bentang riser. Hal ini dapat menambah atau mengurangi berat riser yang terbentang sehingga mempercepatkan kerusakan riser akibat fatigue

- Perubahan komposisi fluida saat operasi

Jenis fluida yang terkandung pada reservoir merupakan salah satu penentu dalam mendesain sebuah sistem riser. Jenis fluida yang ditransportasi oleh sebuah riser dapat berbeda-beda selama operasi dikarenakan kandungan

reservoir yang beragam. Hal ini bisa menyebabkan perubahan diameter pipa untuk memastikan fluida mengalir dengan baik.

- Perbedaan tekanan internal

Dalam satu field, dapat terjadi perbedaan tekanan internal pada well yang ada. Ladang gas dan minyak yang membutuhkan tekanan yang tinggi akan membutuhkan tebal pipa yang lebih tinggi. Penambahan tebal pipa ini akan berakibat pada penambahan berat riser dan gaya tarik yang dibebankan pada vessel.

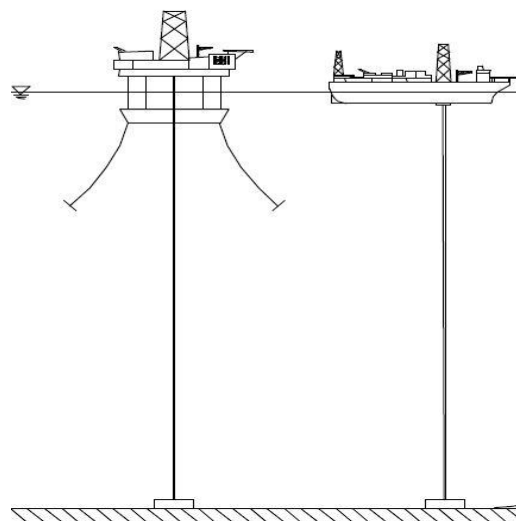
Perilaku dinamis dari *floater* di permukaan merupakan tantangan utama dalam mendesain sistem riser. Maka dari itu sistem riser dapat dikategorikan berdasarkan kemampuan dari riser dalam menanggasi pergerakan vessel (DnV,2001) :

- Top Tensioned Riser (TTRs)
- Compliant riser

Hybrid riser merupakan gabungan dari kedua riser di atas.

2.4 Top Tensioned Riser

Top tensioned riser (TTRs) membutuhkan platform dengan respon gerakan heave yang kecil seperti SPAR atau TLP . TTRs dilengkapi dengan *tensioning system* yang berfungsi untuk menahan gerakan vertikal yang diperbolehkan. Secara umum, TTRs dapat digunakan untuk mengebor, produksi, eksport dan import.



Gambar 2. 2 Top Tensioned Rises (DnV,2010)

TTRs terdiri dari :

- Riser joint
- Blow Out Preventer
- Tensioning System
- Guides
- Keel joint
- Stress joint and tieback connector
- Strakes

Pada laut dalam, TTRs dihadapi oleh masalah yaitu tegangan pada riser akan meningkat, yang mana akan berdampak pada penambahan ukuran *tensioning system* dan *bouyancy can*. Penambahan ukuran ini biasanya membuat konfigurasi TTRs menjadi tidak maksimal dan biaya tidak ekonomis.

2.5 Compliant Riser

Compliant riser merupakan tipe riser laut dalam yang paling banyak digunakan. Riser tipe ini banyak digunakan karena dapat mengakomodir radius kurvatur yang tinggi dan pergerakan dinamis pada *vessel*. Riser ini juga mudah untuk diinstalasi dan dapat digunakan kembali.

Konfigurasi compliant riser adalah sebagai berikut :

- Free Hanging

Free hanging merupakan konfigurasi flexible pipe paling sederhana. Konfigurasi mudah untuk diinstalasi. Namun, konfigurasi ini sangat rentan terhadap pergerakan vessel dan gaya tarik akibat besarnya berat pipa yang terbentang.

- Lazy S dan Steep S

Tipe konfigurasi riser Lazy S dan Steep S dibentuk dengan menambah buoy baik terpasang permanen pada pipa (fixed buoy) ataupun dengan menggunakan rantai(buoyant buoy). Penambahan buoy ini mengurangi permasalahan

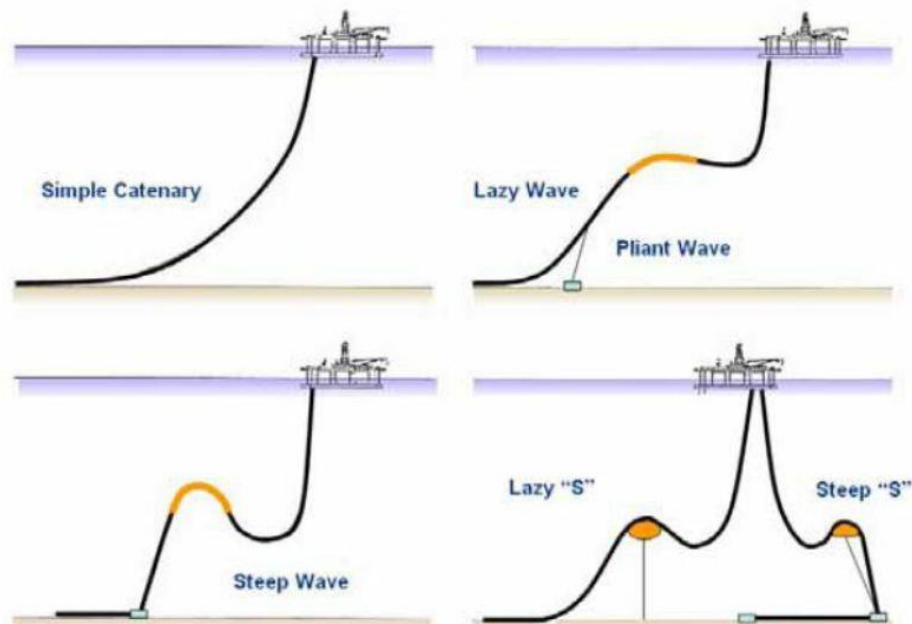
kurvatur dan gaya tarik pada TDP yang disebabkan oleh pergerakan *vessel*. Gaya tarik pada riser juga dapat berkurang dikarenakan berkurangnya berat pipa yang terbentang.

- Lazy Wave dan Steep Wave

Konfigurasi menambahkan beberapa buoy secara berdekatan dalam panjang tertentu. Kelebihan bentuk wave adalah kemudahan dalam mendistribusikan berat dan bentuk riser yang diinginkan.

- Pliant Wave

Pliant wave merupakan konfigurasi riser yang menambahkan anchor pada sistem wave. Anchor ini dihubungkan untuk mengurangi perubahan gaya pada TDP dengan mengkombinasikan anchor dengan konfigurasi lazy wave.



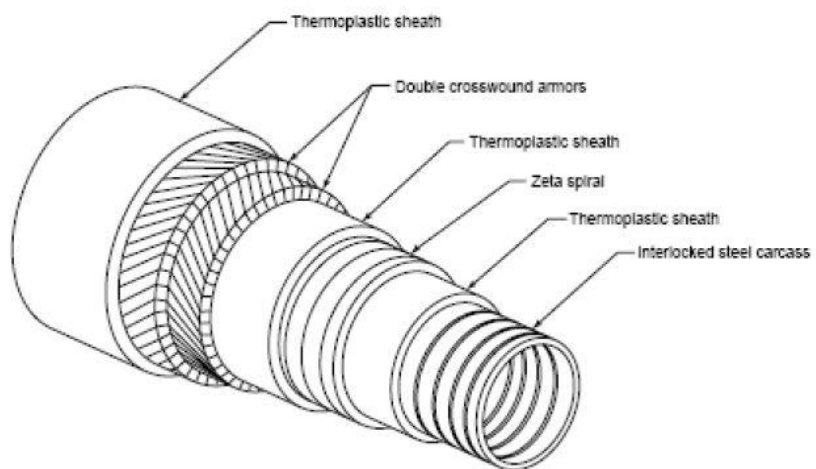
Gambar 2. 3 Konfigurasi pada Compliant Riser (Jayeoung Lee,2007)

Untuk pemilihan material, compliant riser dapat menggunakan material :

- Rigid riser
- Flexible riser

Rigid riser merupakan pipa yang terbuat baja. *Material grades* yang biasanya digunakan adalah X60, X65 atau X70. Titanium merupakan solusi alternatif dari pipa baja karena lebih fleksibel dari baja, yield stress yang lebih tinggi, dan lebih ringan.

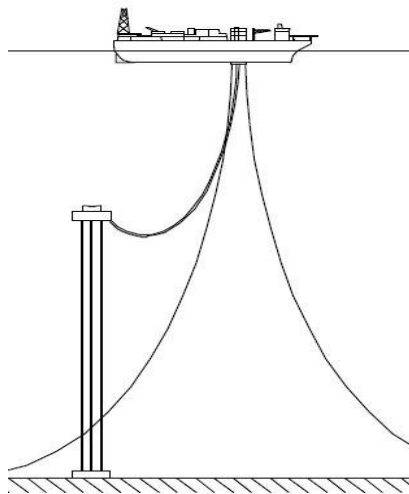
Flexible riser terbuat dari beberapa baja dan lapisan komposit untuk meningkatkan fleksibilitas. Jenis ini yang paling sering digunakan untuk aplikasi riser di dunia.



Gambar 2. 4 Struktur lapisan pada flexible riser (Ruswandi,2009)

2.6 Hybrid Riser

Hybrid riser merupakan gabungan dari tensioned dan flexible riser. Riser ini terdiri dari pipa baja yang diposisikan vertikal dekat dengan bouyancy can, dan terdapat flexible jumper yang menghubungkan ujung riser dengan vessel.



Gambar 2. 5 Hybrid Riser (DnV,2010)

Keunggulan utama dari hybrid riser adalah kemampuan riser untuk mengakomodir gerakan horizontal yang signifikan. Pipa baja vertikal ditempatkan dibawah zona aktifitas gelombang dan arus sehingga gerakan dinamisnya sangatlah kecil. Riser ini juga bisa digunakan pada jarak yang cukup jauh dengan vessel dan sangat sesuai digunakan untuk laut dalam dan laut sangat dalam pada segala kondisi lingkungan. Namun biaya produksi hybrid riser sangat mahal.

2.7 Tantangan Perairan Laut Dalam

Riser merupakan komponen penting pada suatu *vessel* yang sangat dipengaruhi oleh kedalaman air laut. Tantangan yang berhubungan dengan aplikasi riser pada laut dalam antara lain :

- Meningkatnya berat riser

Hal utama yang berhubungan dengan meningkatnya berat riser adalah meningkatnya gaya tarik ke atas (top-tension force).

- Saat kondisi instalasi pipa di laut dalam, sistem *pipelay* harus dapat mengakomodir top-tension force dengan konsekuensi vessel yang sesuai lebih terbatas
- Saat kondisi operasional, bobot riser yang berat akan menambah beban angkut vessel. Menurut studi, beban angkut vessel meningkat menjadi

10-30% saat kondisi normal dan 50-100% saat kondisi ekstrim (Howells dan Hatton,1997)

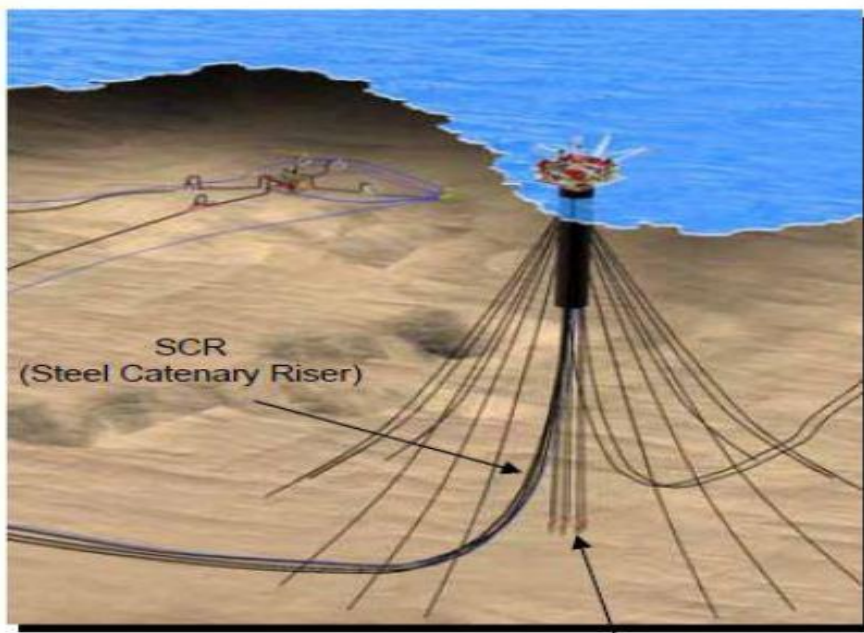
- Meningkatkan biaya produksi riser. Pipa fleksibel ,yang mana lebih mahal dari pipa baja, jika ditambah beratnya makan akan berdampak pada biaya yang tidak ekonomis.
- Tekanan hidrostatik yang tinggi
Semakin dalam perairan maka tekanan eksternal hidrostatiknya akan bertambah.Tekanan eksternal yang tinggi dapat menyebabkan kegagalan pada pipa.Menambah ketebalan pipa dapat mengatasi masalah tersebut, tetapi hal ini akan membuat desain menjadi kompleks
- Arus
Semakin dalam perairan maka arus akan semakin kuat.Arus yang kuat dapat menyebabkan vortex-induced vibration pada bagian belakang riser.Penggunaan strakes dapat menambah *drag force* pada riser sehingga fatigue akibat VIV dapat diminimalisir.
- Pergerakan *Floater / Floater Offset*
Perairan yang dalam membuat beban lingkungan menjadi sebuah tantangan.Pergerakan vessel dapat menyebabkan terbatasnya konfigurasi yang dapat digunakan dan bertambahnya *bending moment* pada *touch down point*.

2.8 Steel Catenary Riser

Steel Catenary Riser (SCR) merupakan riser dengan konfigurasi free hanging yang material pipanya terbuat dari baja. Disebut catenary dikarenakan konfigurasi free hanging pada SCR berbentuk seperti catenary. SCR pertama kali dipasang pada Shell's Auger Tension Leg Platfrom pada tahun 1994 dengan kedalaman 872 meter.

SCR dapat dikatakan riser yang ekonomis dari segi instalasi dan konstruksi, dan jika dibandingkan dengan flexible riser. SCR lebih mudah dan murah

diproduksi untuk pipa yang lebih panjang atau diameter besar. Dalam hal material, SCR dapat menahan tekanan dan temperatur yang tinggi.



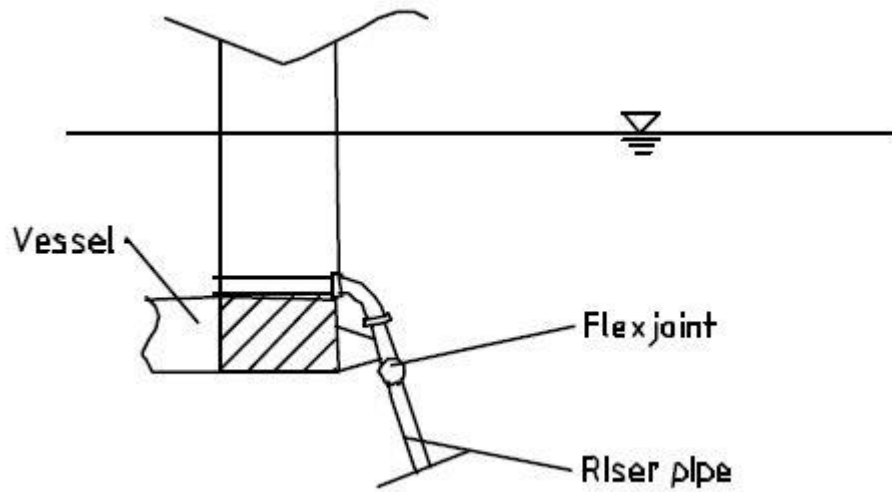
Gambar 2. 6 Steel Catenary Riser (Jaeyoung Lee, 2007)

Permasalahan yang biasanya dihadapi SCR adalah sensivitasnya terhadap pergerakan *vessel*. Pergerakan vessel yang signifikan dapat menyebabkan perubahan kurvatur yang besar pada bagian touch down *point*.

Gaya eksternal dan beban secara konstan mempengaruhi riser, sehingga mengganggu stabilitas riser. Maka dari itu, beberapa komponen telah dikembangkan agar riser dapat menjaga stabilitasnya.

- Flex joint

Flex joint digunakan untuk mengurangi bending moment pada bagian atas SCR (Ruswandi,2009). Komponen ini terdiri dari lapisan-lapisan elastomeric dan metal, yang dapat memungkinkan defleksi angular pada bagian sambungan atas riser. Untuk aplikasi laut dalam, desain flexjoint harus mempertimbangkan pengaruh gaya tarik bagian atas (Bai, 2005).



Gambar 2. 7 Flexjoint tersambung dengan floater (DnV, 2010)

- Stress joint

Stress joint digunakan untuk mempermudah transisi antara bagian pipa yang kaku dengan pipa yang tidak terlalu kaku. Membantu mengurangi local bending stress dan memberikan fleksibilitas pada ujung akhir riser.

Tiga konfigurasi SCR yang paling sering digunakan adalah (Buberg, 2014) :

1. *Free Hanging*
2. *Lazy Wave*

2.9 Konsep Pembebanan

Analisa tegangan merupakan bentuk analisa lokal dari sebuah struktur (Yudhistira,2010). Pembebanan yang bekerja pada analisis ini adalah pembebanan lokal yang diambil dari analisa global suatu struktur secara keseluruhan. Oleh karena itu dibutuhkan pemahaman yang baik pada mengenai pembebanan secara global bangunan lepas pantai. Pada suatu proses perancangan bangunan lepas pantai, untuk menentukan kemampuan kerja suatu struktur akan dipengaruhi oleh beban yang terjadi pada bangunan tersebut. Menurut (Soedjono, 1999) beban-beban yang harus dipertimbangkan dalam perancangan bangunan lepas pantai adalah sebagai berikut:

1. Beban mati (Dead Load)

Beban mati (Dead Load) adalah beban dari komponen-komponen kering serta beban-beban peralatan, perlengkapan dan permesinan yang tidak berubah dari

mode operasi pada suatu struktur, meliputi: berat struktur, berat peralatan dari permesinan yang tidak digunakan untuk pengeboran atau proses pengeboran.

2. Beban hidup (Live Load)

Beban hidup adalah beban yang terjadi pada platform atau bangunan lepas pantai selama dipakai/berfungsi dan tidak berubah dari mode operasi satu ke mode operasi yang lain.Beban akibat kecelakaan (Accidental Load). Beban kecelakaan merupakan beban yang tidak dapat diduga sebelumnya yang terjadi pada suatu bangunan lepas pantai, misalnya tabrakan dengan kapal pemandu operasi, putusnya tali tambat, kebakaran, dan letusan.

3. Beban lingkungan (Environmetal Load)

Beban lingkungan adalah beban yang terjadi karena dipengaruhi oleh lingkungan dimana suatu bangunan lepas pantai dioperasikan atau bekerja. Beban lingkungan yang biasanya digunakan dalam perancangan adalah :

1. Wave Drift Force
2. Beban arus
3. Beban angin

2.10 Beban Gelombang

2.10.1 Gelombang Reguler

Gelombang reguler merupakan gelombang yang memiliki tinggi dan periode yang teratur. Terdapat 2 (dua) teori yang mendefinisikan gelombang reguler, yaitu teori gelombang linier dan teori gelombang non-linier.

a. Teori Gelombang linier (Airy)

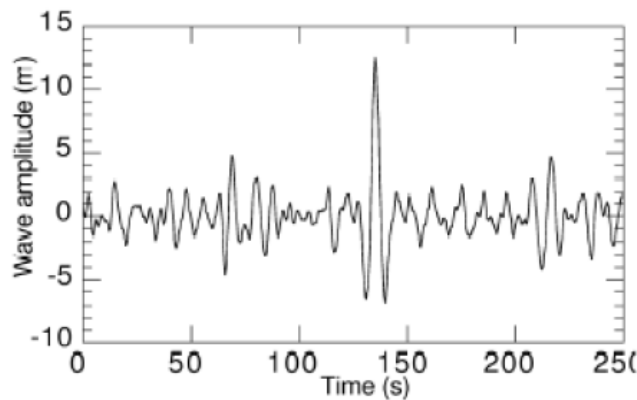
Gelombang linier (*Airy*) dapat didefinisikan sebagai gelombang orde pertama dengan bentuk sinusoidal. Asumsi yang digunakan pada teori gelombang ini adalah bahwa tinggi gelombang jauh lebih kecil dibanding panjang gelombang.

b. Teori Gelombang non-liner (Stokes)

Untuk mendapatkan ketelitian yang lebih baik dalam kecuraman muka gelombang, H/L (H : tinggi gelombang, L : panjang gelombang), Stokes (1847) mengembangkan teori gelombang *Airy* dengan melanjutkan analisis sampai orde ke-3 dan dapat digunakan di laut transisi maupun laut dalam.

2.10.2 Gelombang Acak

Dalam kondisi nyata di laut, gelombang yang terjadi adalah gelombang acak yang tidak berbentuk sinusoidal konstan seperti pada kondisi ideal yang dinyatakan dalam teori gelombang reguler. Ilustrasi gelombang acak dapat dilihat pada Gambar 2.8



Gambar 2. 8 Ilustrasi Gelombang Acak

Gelombang acak memiliki panjang, tinggi dan perioda yang sangat beragam dan tidak tetap sepanjang waktu sehingga tidak dapat dilakukan perhitungan seperti pada perhitungan gelombang linier. Untuk itu untuk gelombang acak terdapat metode penyederhanaan yang dikenal dengan spektrum gelombang acak. Dalam spektrum gelombang diperlihatkan distribusi dari energi gelombang dengan besar frekuensi gelombang yang berbeda-beda.

2.10.3 Spektrum Gelombang

Teori gelombang reguler dapat diaplikasikan pada saat desain metode *single* wave di gunakan. Ini tergantung dari metode yang digunakan pada saat proses pendesainan. Pada gelombang acak, ini di deskripsikan dengan densitas spektrum energi. Spektrum energi gelombang mendeskripsikan energi yang terkandung dari gelombang dan itu didistribusikan keseluruh jangkauan frekuensi pada gelombang acak. Oleh karena itu. Metode gelombang acak mungkin berguna khususnya pada tahap perencanaan bangunan terapung. Pemilihan spektrum energi gelombang didasarkan pada kondisi real laut yang ditinjau. Bila tidak ada maka dapat digunakan model spektrum yang dikeluarkan oleh berbagai institusi dengan mempertimbangkan kesamaan fisik lingkungan.

2.11 Beban Arus

Arus adalah gerakan massa air laut yang berpindah dari satu tempat ke tempat lain. Arus merupakan salah satu komponen beban lingkungan yang diperhitungkan dalam analisis *fatigue* pada *riser*. Arus relatif memiliki pergerakan yang konstan jika dibandingkan dengan gelombang. Arus di permukaan laut terutama disebabkan oleh tiupan angin, sedangkan arus di kedalaman laut disebabkan oleh perbedaan densitas massa air laut. Selain itu, arus di permukaan laut dapat juga disebabkan oleh gerakan pasang surut air laut atau gelombang. Secara umum, persamaan untuk menghitung besar gaya akibat arus dapat dirumuskan sebagai berikut.

$$F_a = \frac{1}{2} \rho C_d A u^2 \quad (2.1)$$

Keterangan:

- F_a : Gaya arus per satuan panjang
 ρ : Massa jenis air
 C_d : Koefisien *drag*
 A : Luas proyeksi penampang struktur
 u : Kecepatan partikel air, tegak lurus terhadap struktur

2.12 Gaya Tarik Efektif (*Effective Tension*)

Gaya tarik efektif (*effective tension*), adalah gaya axial dinding pipa yang dipengaruhi oleh tekanan internal dan eksternal.

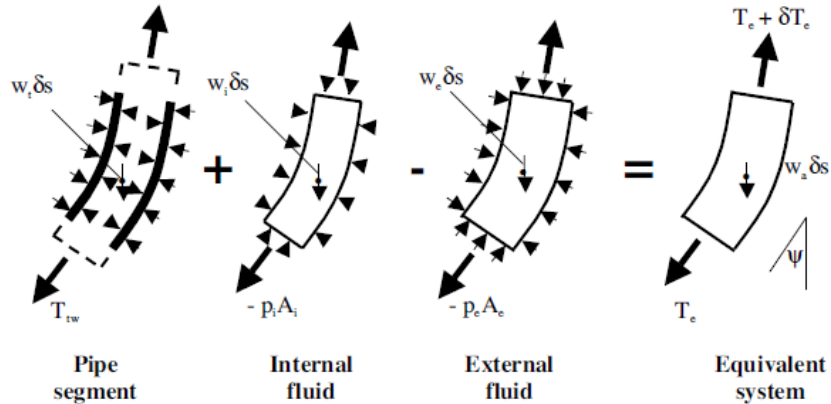
Dari gambar dapat diperoleh persamaan (2.10) untuk menghitung gaya tarik efektif dari *riser*. Penjelasan seperti pada Gambar 2.10

$$T_e = T_{tw} + (-p_i A_i) - (-p_e A_e) \quad (2.2)$$

dimana,

- T_{tw} = tension dinding pipa (tension axial)
 P_i = tekanan internal fluida
 A_i = luas penampang internal
 P_e = tekanan eksternal

A_e = luas penampang eksternal



Gambar 2. 9 Kesetimbangan pipa ketika dikenai fluida (Sparks, 2007)

2.13 Momen Lentur

Menurut penilitian Agusta (2012), persamaan momen lentur untuk SCR diturunkan dari persamaan kurvatur untuk sistem non-linear (mempunyai defleksi yang besar). Persamaan tersebut adalah sebagai berikut :

$$K = \frac{\frac{d^2 z}{dx^2}}{\left[1 + \left(\frac{dz}{dx}\right)^2\right]^{1.5}} \quad (2.3)$$

Nilai *bending moment* didapatkan menggunakan persamaan berikut :

$$M = -\kappa EI = -\frac{m_s g}{T_H \left[\cosh \left(\frac{m_s g x}{T_H} \right) \right]^2} EI \quad (2.4)$$

dengan,

M = *Bending moment* (kN.m)

I = Momen Inersia (m^4)

T_H = Gaya horizontal SCR dan *tension* TDP (kN)

E = Modulus Elastisitas (MPa)

m_s = massa pipa per satuan panjang (kg/m)

2.14 Kode Desain

Ada dua metode untuk menetapkan kriteria SCR yang diizinkan dalam desain struktural. Metode yang digunakan adalah *Working Stress Design* (WSD) dan *Load and Resistance Factor Design* (LRFD), dimana WSD memiliki *Safety Factor* yang digunakan untuk setiap *limit state* untuk memperhitungkan ketidakpastian yang disebabkan oleh respon dan tahanan dan LRFD memiliki *Safety Factor* parsial yang diterapkan dalam setiap beban dan tahanan. Pada desain sistem riser, penggunaan metode WSD terdapat pada API-RP-2RD , sedangkan LRFD terdapat pada DnV-OS-F20

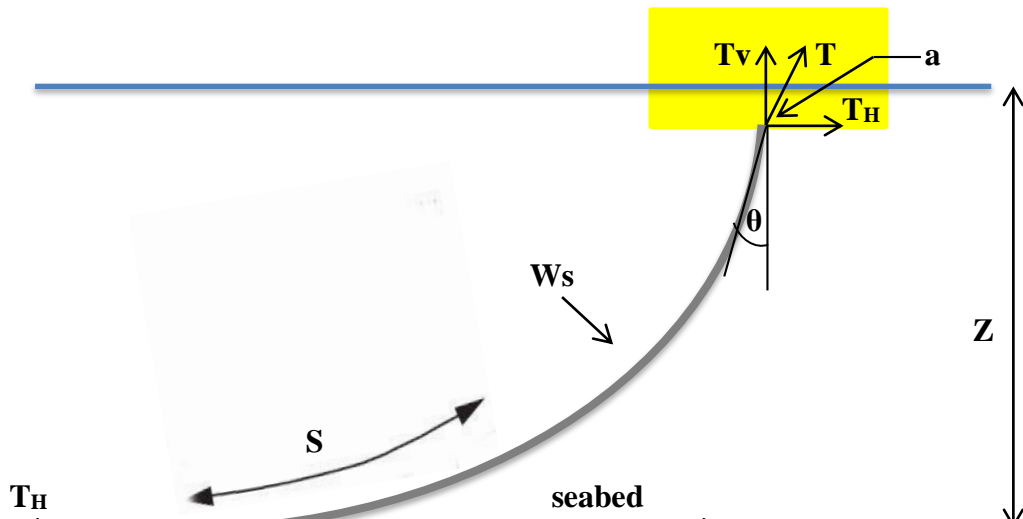
2.15 Persamaan Catenary

Pipa baja bersifat kaku, tetapi jika panjangnya (L) terlalu panjang dan kekakuan elastis (EI) sangat kecil, maka pipa baja dapat dikonfigurasikan sebagai catenary.

Dapat dikatakan sebagai catenary jika

$$\frac{L}{C} > 5 , \quad (2.5)$$

dimana $C = \left(\frac{EI}{W_s} \right)^{1/3}$ = panjang karakteristik.



Gambar 2. 10 Model Catenary (Bai, 2014)

Keterangan:

TDP = Touch Down Point

T_h = Gaya horizontal pada SCR dan gaya tarik pada TDP

W_s = Massa pipa SCR per unit panjang (weight submerged)

S = Panjang bentang bebas SCR

z = Jarak vertikal SCR dari seabed

θ = Sudut atas SCR dari vessel

x = Jarak TDP dari Floater

Persamaannya catenary yang diturunkan oleh Leibniz dan Bernoulli ditunjukkan pada persamaan di bawah ini. Solusi ini mengasumsikan riser tidak memiliki bending stiffness dan axial stiffness tak terhingga.

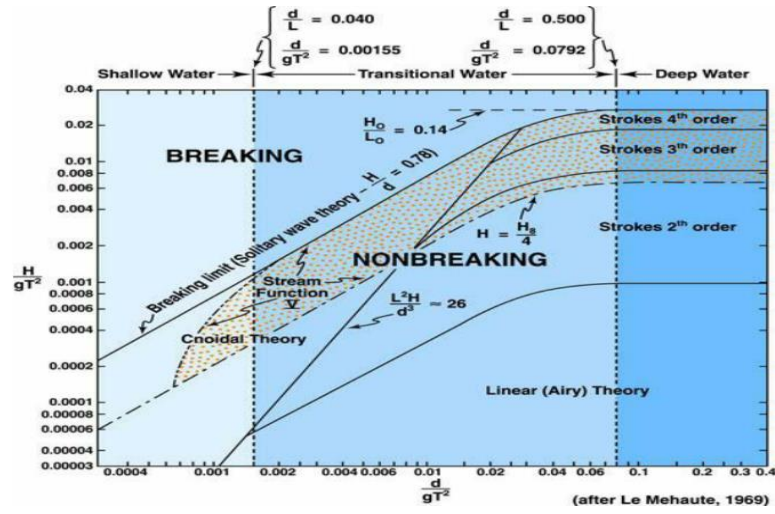
$$T_h \frac{d^2 z}{dx^2} = W_s \left[1 + \left(\frac{dz}{dx} \right)^2 \right]^{1/2} \quad (2.6)$$

Persamaan di atas memiliki solusi yang menghubungkan sumbu vertikal dan horizontal. Solusi ini diturunkan oleh Timoshenko, sehingga formula catenary adalah :

$$z = \frac{T_h}{w_s} \left(\cosh \frac{x w_s}{T_h} - 1 \right) \quad (2.7)$$

2.16 Kedalaman Laut

Dalam menentukan kedalaman laut yang digunakan pada perhitungan salah satu caranya adalah menggunakan *Diagram of Validity*. Seperti pada Gambar 2.11.



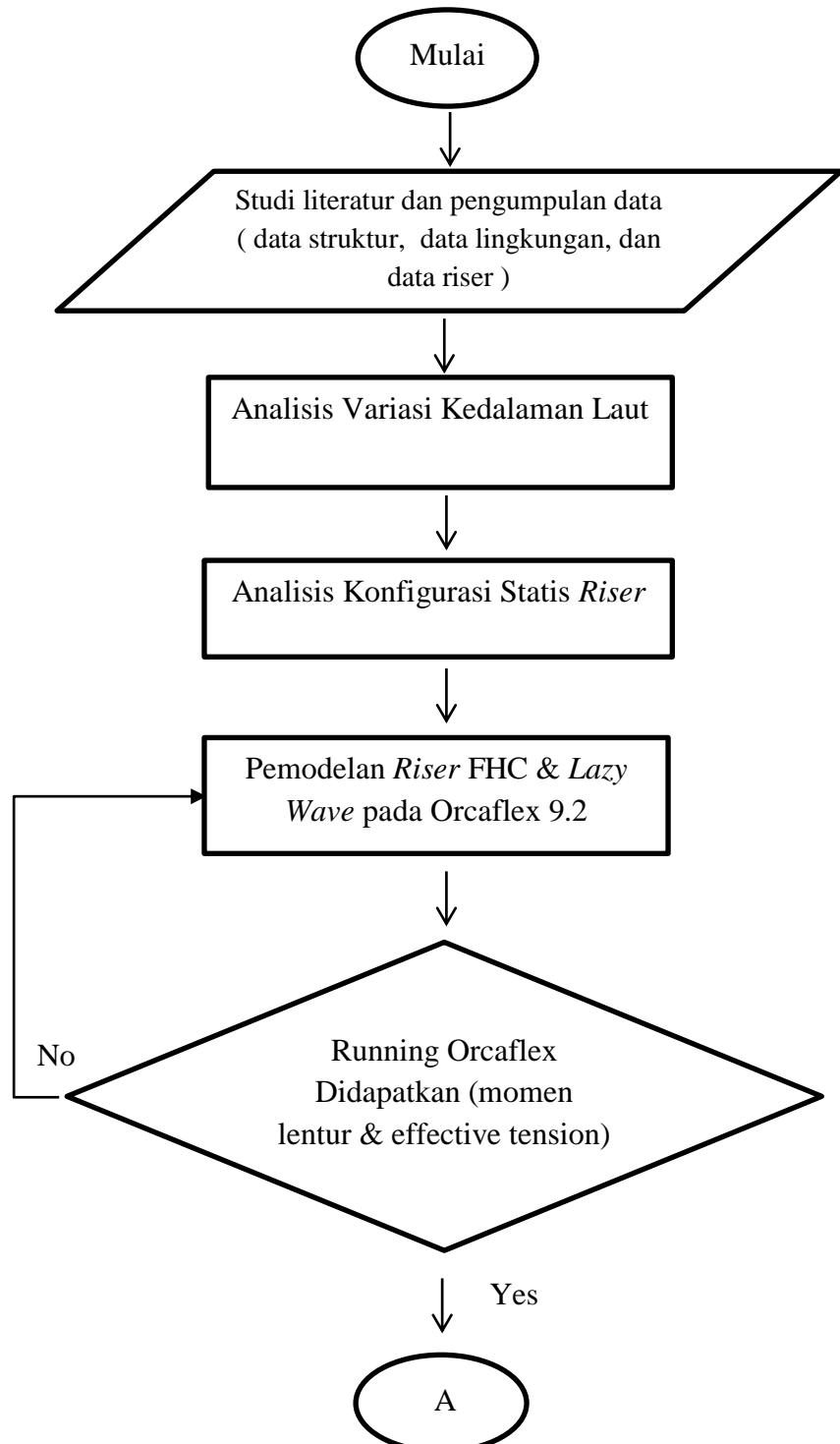
Gambar 2. 11 Diagram of validity

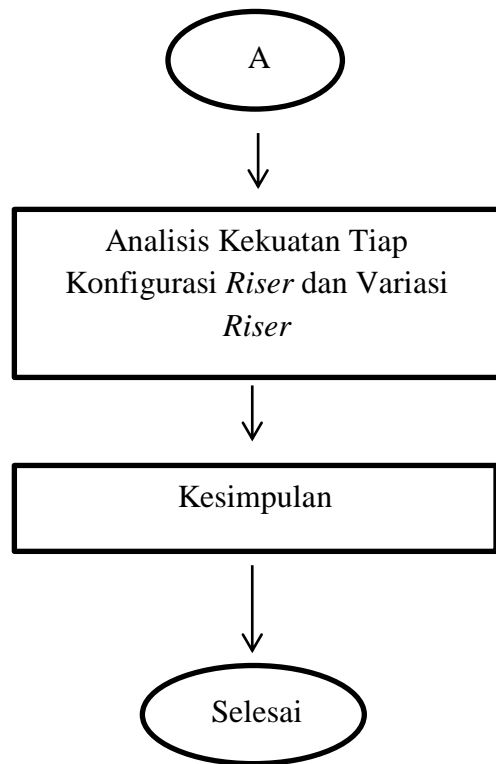
Bab III

Metodologi Penelitian

3.1 Diagram Alir Metodologi Penelitian

Penjelasan mengenai pengerjaan tugas akhir dapat dilihat pada flow chart berikut :





Adapun langkah-langkah dalam penelitian dapat dijelaskan sebagai berikut :

1. Studi literatur dan pengumpulan data

Studi literatur dilakukan untuk menambah wawasan guna menunjang pelaksanaan tugas akhir ini, dengan cara mengumpulkan dan membaca buku, *codes*, jurnal, tesis, dan tugas akhir lainnya yang berhubungan dengan *steel catenary riser*. Data-data yang harus dikumpulkan untuk mengerjakan tugas akhir ini antara lain data lingkungan, data fluida, data *riser*.

Tabel 3. 1 Data Steel Catenary Riser

| Riser Data | | |
|-----------------------|---------|-------------------|
| Material Grade | X65 | |
| Riser Density | 7860 | kg/m ³ |
| Outer Diameter | 20 | in |
| Nominal Thickness | 25.4 | mm |
| Young's Modulus | 210000 | MPa |
| Poisson ratio | 0.3 | |
| SMYS | 448 | MPa |
| SMTS | 535 | MPa |
| Hang-off angle | 15° | |
| Riser Length | 187 | m |
| Submerged Weight | 1798.16 | N/m |
| Internal Fluid | | |
| Fluid | Oil | |
| Oil Density | 800 | kg/m ³ |
| Design Pressure | 200 | bar |
| Temperature | 100 ° | |

2. Analisis varias kedalaman laut

Analisis kedalaman laut dilakukan untuk menentukan karakteristik gelombang berdasarkan data yang telah didapatkan dengan menggunakan *grafik region of validity*.

3. Analisis konfigurasi statis *steel catenary riser*

Menentukan konfigurasi statis pada suatu riser harus dilakukan agar dapat diketahui koordinat dan bentuk statis *riser*. Selain itu juga dapat diketahui panjang bentang dan jarak horizontal riser.

4. Pemodelan *riser* pada Orcaflex

Setelah dilakukan analisis konfigurasi stasis, maka selanjutnya *riser* dimodelkan pada Orcaflex. SCR dimodelkan berdasarkan perhitungan konfigurasi statis.

5. *Running* Orcaflex

Setelah *riser* dimodelkan analisis statis dan dinamis pada Orcaflex dapat dilakukan. Dari simulasi ini didapat *effective tension* dan *bending moment*.

6. Analisis kekuatan *riser*

Analisis yang dilakukan kekuatan *riser* dengan berdasarkan besar *effective tension*, *bending moment* dan *max von mises stress* yang didapatkan setelah dilakukan *running* pada Orcaflex dengan variasi kedalaman laut *shallow water*, *intermediate water*, *deep water* dan variasi diameter pipa sesuai kriteria DNV-OS-F201.

7. Kesimpulan

Dilakukan analisis dari simulasi-simulasi yang dilakukan, lalu ditarik kesimpulan dari hasil analisis tersebut.

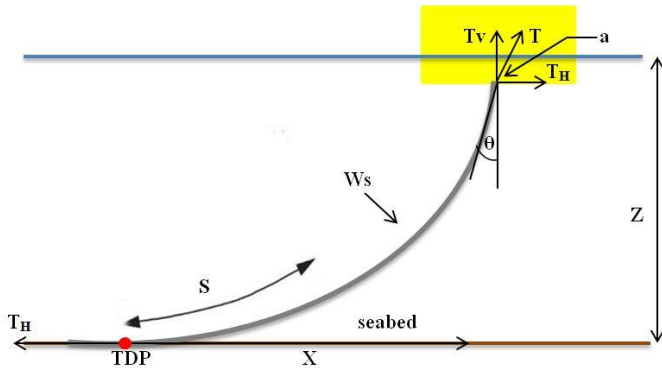
BAB IV

ANALISIS HASIL DAN PEMBAHASAN

4.1 Analisis Konfigurasi Statis Steel Catenary Riser

Perhitungan konfigurasi statis *steel catenary riser* pada tugas akhir ini menggunakan teori *catenary* yang terdapat pada buku *Introduction to Offshore Pipeline and Risers* (Lee, 2007) dan *Subsea Pipeline Design, Analysis, and Installation* (Bai, 2014).

Tujuan dari analisis konfigurasi statis adalah untuk mengetahui panjang bentang *riser* dan juga jarak horizontal dari TDP ke *Hang-off Location*. Deskripsi gambar dan hasil perhitungan konfigurasi statis dapat dilihat pada Gambar 4.3



Gambar 4. 1 Konfigurasi Statis *Steel Catenary Riser*

Tabel 4. 1 Hasil Perhitungan Teori *Catenary* kedalaman 90 meter

| | | | |
|--|---|--------|---|
| Riser Free Span Length to Touchdown | S | 117.29 | m |
| Horizontal Distance from Hang-off Point to Touchdown | X | 63.72 | m |

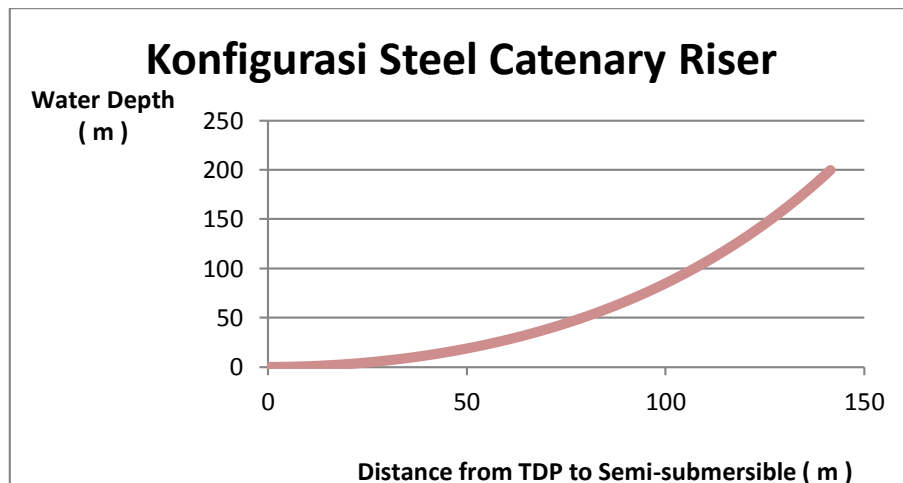
Tabel 4. 2 Hasil Perhitungan Teori *Catenary* kedalaman 200 meter

| | | | |
|--|---|--------|---|
| Riser Free Span Length to Touchdown | S | 260.65 | m |
| Horizontal Distance from Hang-off Point to Touchdown | X | 141.61 | m |

Tabel 4. 3 Hasil Perhitungan Teori Catenary kedalaman 550 meter

| | | | |
|--|---|--------|---|
| Riser Free Span Length to Touchdown | S | 716.77 | m |
| Horizontal Distance from Hang-off Point to Touchdown | X | 389.42 | m |

Konfigurasi SCR dari dasar laut sampai ke *Hang-off Location* dapat ditentukan dengan teori *catenary*, yang mana perhitungan dilakukan dengan mendiskritkan variabel X dengan interval tentu dan dimasukkan pada persamaan *catenary*. Konfigurasi dapat dilihat pada Gambar 4.2



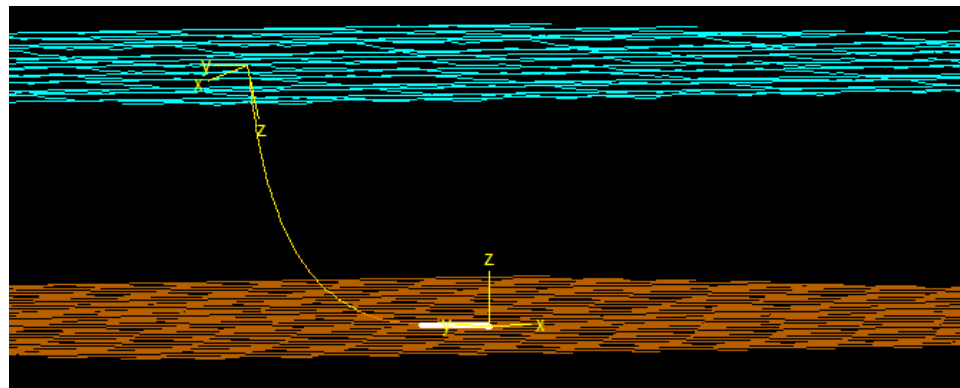
Gambar 4. 2 Konfigurasi Statis *Steel Catenary Riser*

Teori *catenary* juga hanya menghasilkan panjang bentang minimum SCR, yaitu sepanjang 260.65 m, yang mana berbeda dengan *Orcaflex 9.2* yang harus mempertimbangkan panjang *flowline* menuju PLET/PLEM.

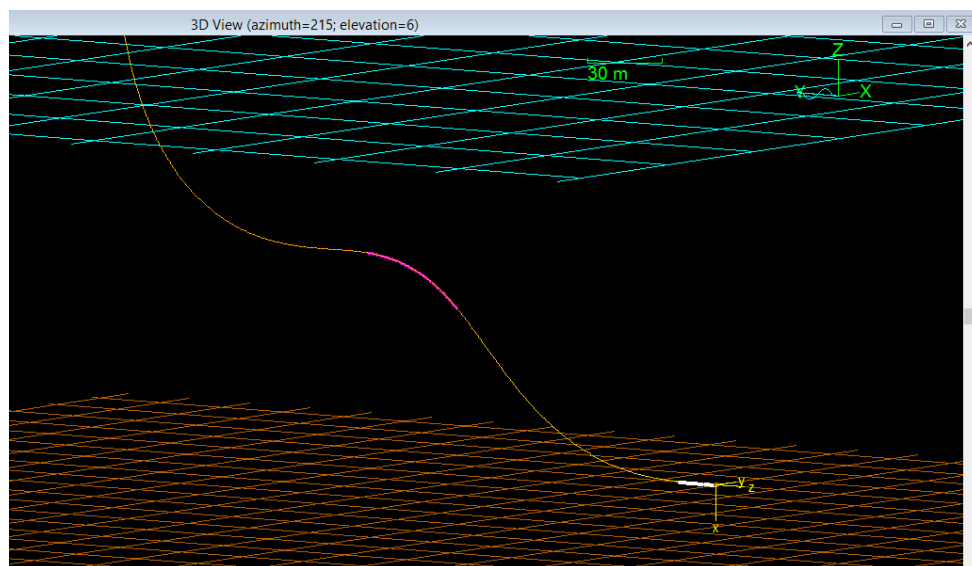
4.2 Pemodelan *Steel Catenary Riser* dengan *Orcaflex 9.2*

- Pemodelan dengan prangkat lunak *Orcaflex 9.2*

Pemodelan dengan *software Orcaflex 9.2* Seperti Gambar 4.3 dan gambar 4.4 dilakukan dengan tujuan untuk memperoleh *effective tension* dan *bending moment* pada *steel catenary riser*. Untuk mengurangi tegangan yang terjadi akibat beban lingkungan dan berat riser dapat digunakan *bouyancy modules* pada titik yang memiliki nilai resultan tegangan terbesar dengan ukuran bouyancy modules menyesuaikan diameter pipa *riser*.



Gambar 4. 3 Pemodelan Steel Catenary Riser Konfigurasi Free Hanging Catenary



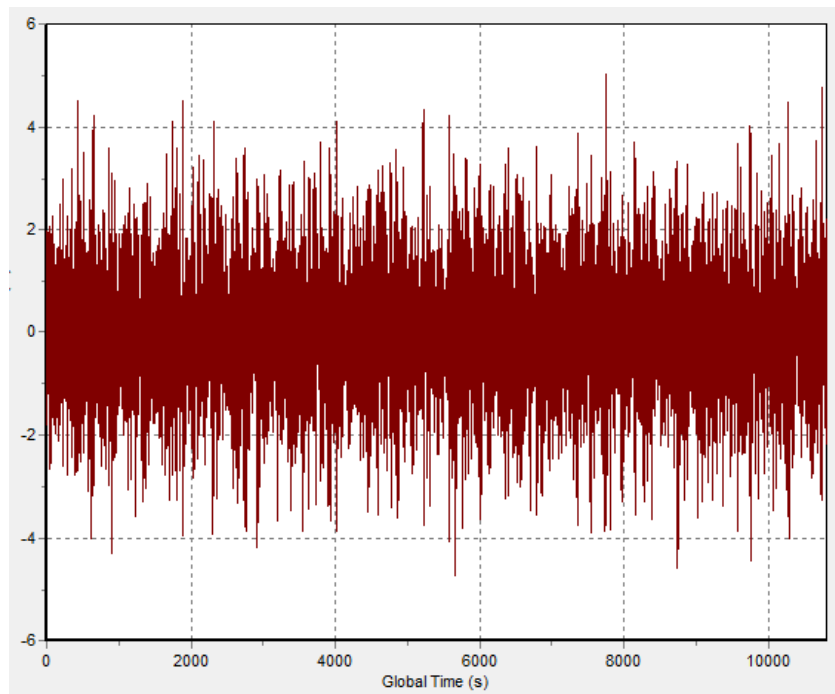
Gambar 4. 4 Pemodelan Steel Catenary Riser Konfigurasi Lazy Wave

4.3 Pemodelan Lingkungan

Parameter kondisi lingkungan yang menjadi input pada pemodelan adalah kondisi perairan, kondisi dasar laut, gelombang, arus dan angin. Data lingkungan yang tersedia di-*input* dan selanjutnya *orcaflex* akan memperhitungkan beban lingkungan pada struktur yang dimodelkan.

Elevasi muka air ditentukan berada di Z=0 dan dasar laut berada di Z=-200 terhadap kordinat global. Dasar laut juga diasumsikan berjenis *flat* atau rata. Gelombang yang dimodelkan merupakan gelombang acak yang dihitung menggunakan spektrum JONSWAP. Pemilihan spektrum JONSWAP didasari pada penelitian yang dilakukan oleh M.s. Liew et al (2015) yang meneliti spektrum

gelombang yang paling cocok digunakan di Perairan Indonesia. Data gelombang yang digunakan dapat dilihat pada Tabel Pemodelan. Input untuk pemodelan gelombang dapat dilihat pada dan profil gelombang yang terbentuk dapat dilihat pada Gambar 4.5 dan Gambar 4.6. Data gelombang yang digunakan memiliki tinggi gelombang signifikan (H_s) sebesar 5,3 m dan periode gelombang (T) sebesar 11,1 m



Gambar 4. 5 Profil Gelombang

| Data for Wave Train: Wave1 | | | | | | |
|----------------------------|--------|--------|-------------------|-------|----------------------|-----------|
| Wave Data: | | | | | | |
| Direction (deg) | Hs (m) | Tz (s) | Wave Origin X (m) | Y (m) | Wave Time Origin (s) | Wave Type |
| 90,00 | 5,30 | 11,10 | 0,00 | 0,00 | 0,000 | JONSWAP |

Gambar 4. 6 Input Profil Gelombang

4.4 Langkah Analisis Effective Tension dan Bending Moment

Pemodelan orcafleX yang dilakukan bertujuan untuk mendapatkan nilai *effective tension* dan *bend moment* pada struktur riser akibat beban yang diberikan

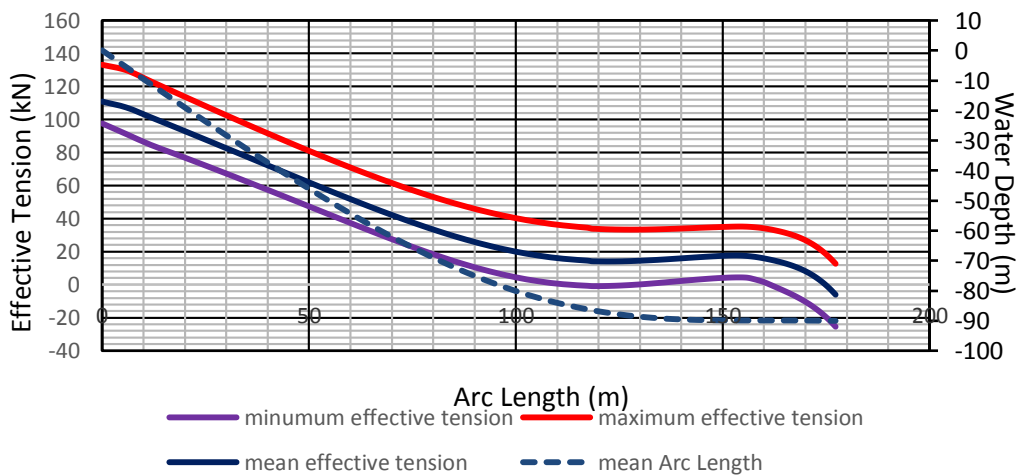
pada riser selama masa operasinya. Pemodelan dilakukan dengan waktu simulasi 8000s detik.

4.4.1 Effective Tension

Untuk analisa pengaruh beban lingkungan terhadap *Effective Tension* dari *Steel Catenary Riser* akan dianalisa pada flex joint. Berdasarkan teori nilai *effective tension* paling besar terjadi pada bagian flex joint, karena pada bagian tersebut menopang beban keseluruhan *riser*.

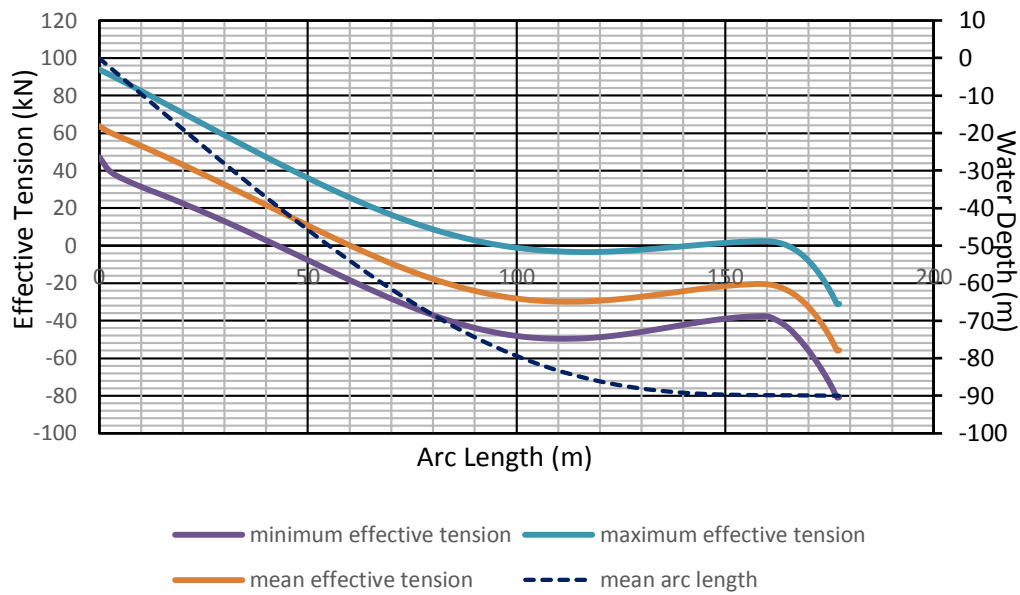
4.4.1.1 Effective Tension Free hanging SCR

Berikut merupakan hasil analisa *Effective tension Steel Catenary Riser* pada masing – masing konfigurasi dan variasi. Simulasi dilakukan dengan Orcaflex 9.2 dengan durasi yang diambil adalah -50s – 8000s *implicit timestep*. Hasil yang ditunjukkan terbagi menjadi 3 hasil besar *effective tension* yaitu : *minimum*, *mean* dan *maximum*.



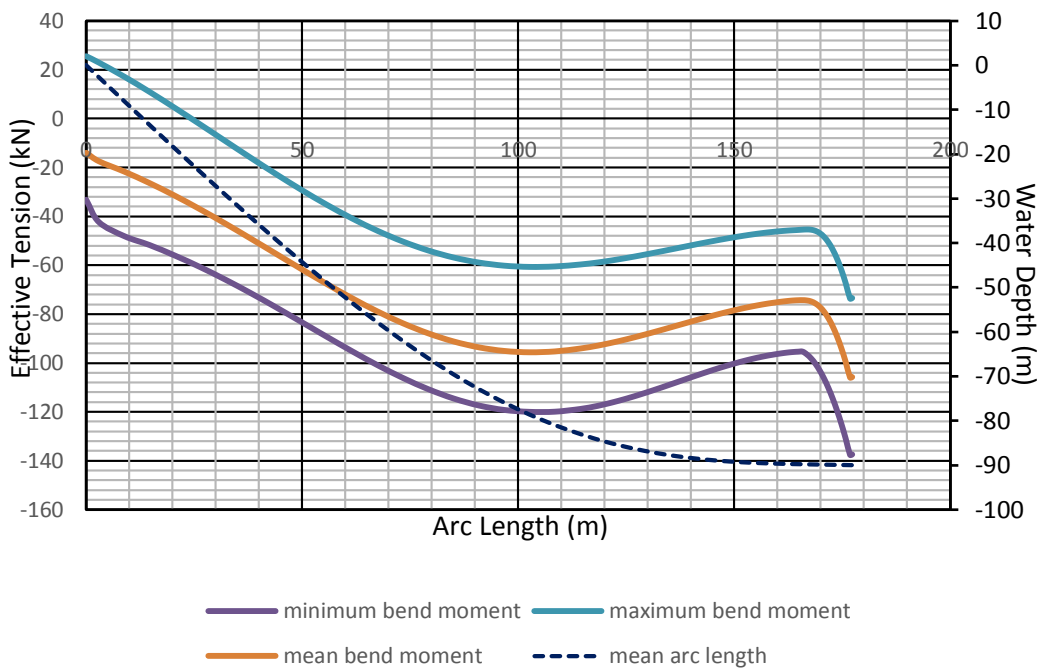
Gambar 4. 7 Grafik *Effective Tension* sepanjang *Riser* (SCR 16in Water Depth 90m)

Dari hasil simulasi beban lingkungan pada *software* Orcaflex 9.2 terlihat pada Gambar 4.7 nilai *effective tension* terbesar terjadi pada titik flex joint (Arc length 0 m). Dengan nilai *effective tension* terbesar yaitu 133.23 kN.



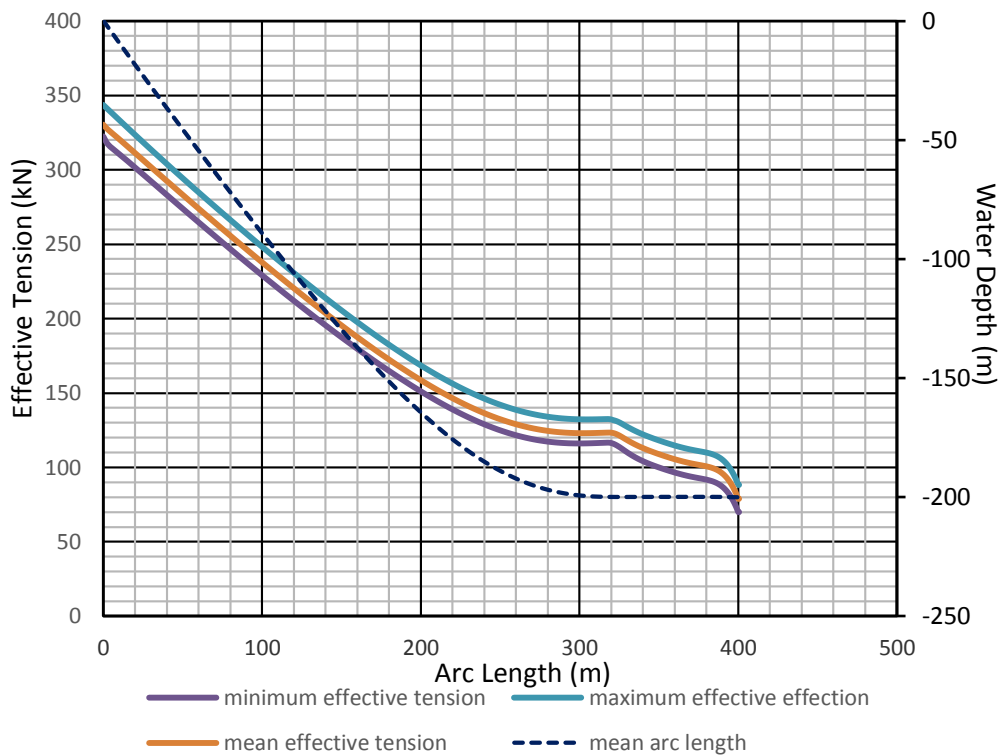
Gambar 4. 8 Grafik Effective Tension sepanjang Riser (SCR 20in Water Depth 90m)

Dari hasil simulasi beban lingkungan pada *software* Orcaflex 9.2 terlihat pada Gambar 4.8 nilai *effective tension* terbesar terjadi pada titik flex joint (Arc length 0 m). Dengan nilai *effective tension* terbesar yaitu 93.92 kN.



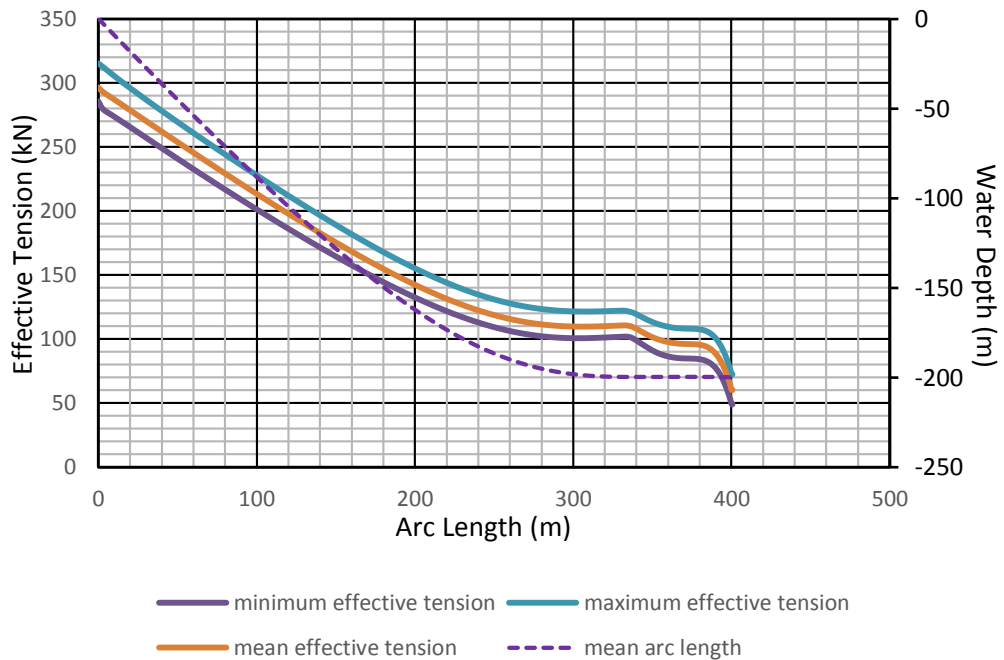
Gambar 4. 9 Grafik Effective Tension sepanjang Riser (SCR 24in Water Depth 90m)

Dari hasil simulasi beban lingkungan pada *software* Orcaflex 9.2 terlihat pada Gambar 4.9 nilai *effective tension* terbesar terjadi pada titik flex joint (Arc length 0 m). Dengan nilai *effective tension* terbesar yaitu 25.59 kN.



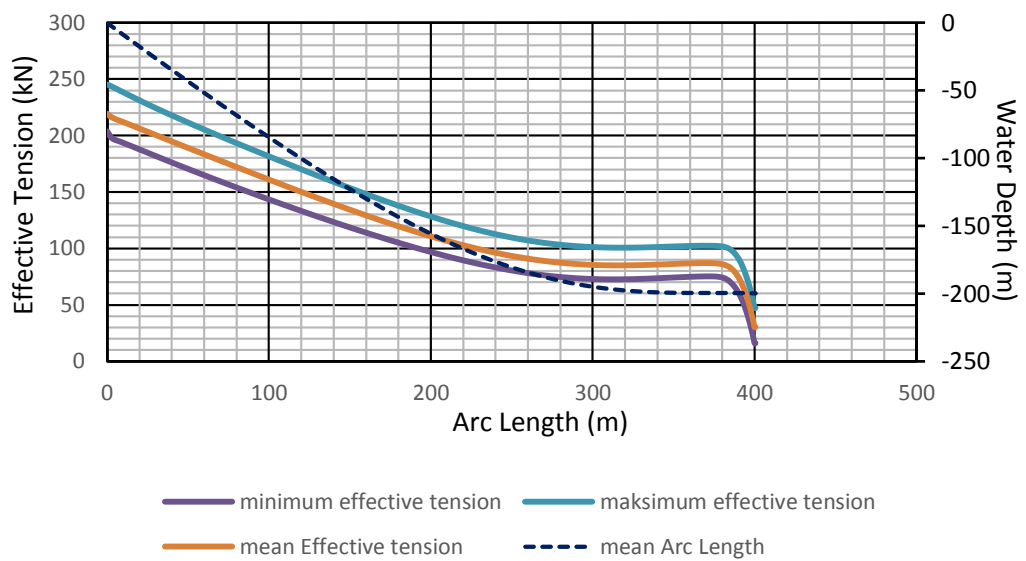
Gambar 4. 10 Grafik Effective Tension sepanjang Riser (SCR 16in Water Depth 200m)

Dari hasil simulasi beban lingkungan pada *software* Orcaflex 9.2 terlihat pada Gambar 4.10 nilai *effective tension* terbesar terjadi pada titik flex joint (Arc length 0 m). Dengan nilai *effective tension* terbesar yaitu 343.71 kN.



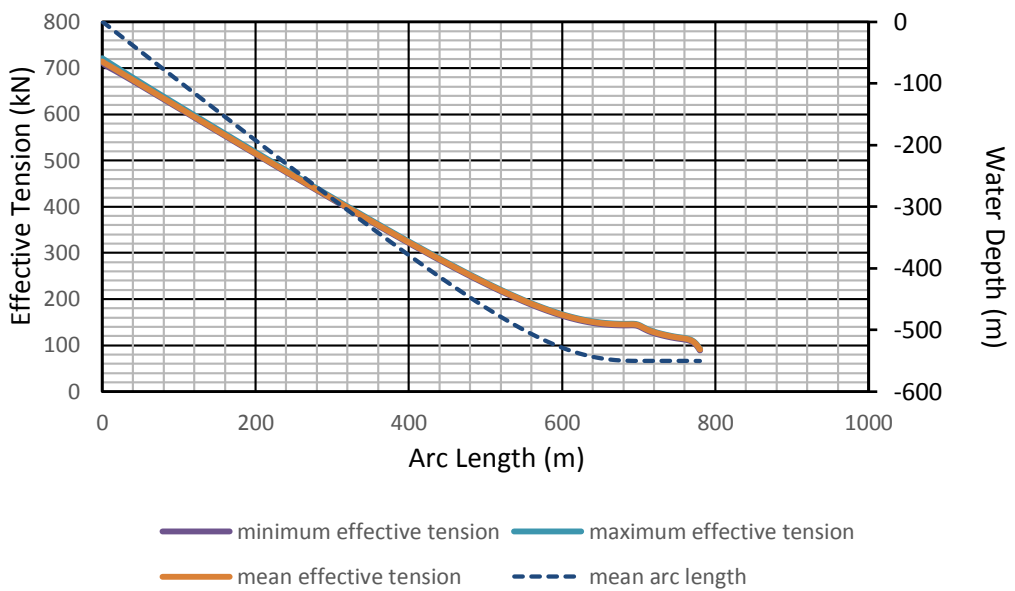
Gambar 4. 11 Grafik Effective Tension sepanjang Riser (SCR 20in Water Depth 200m)

Dari hasil simulasi beban lingkungan pada *software* Orcaflex 9.2 terlihat pada Gambar 4.11 nilai *effective tension* terbesar terjadi pada titik flex joint (Arc length 0 m). Dengan nilai *effective tension* terbesar yaitu 315.44 kN.



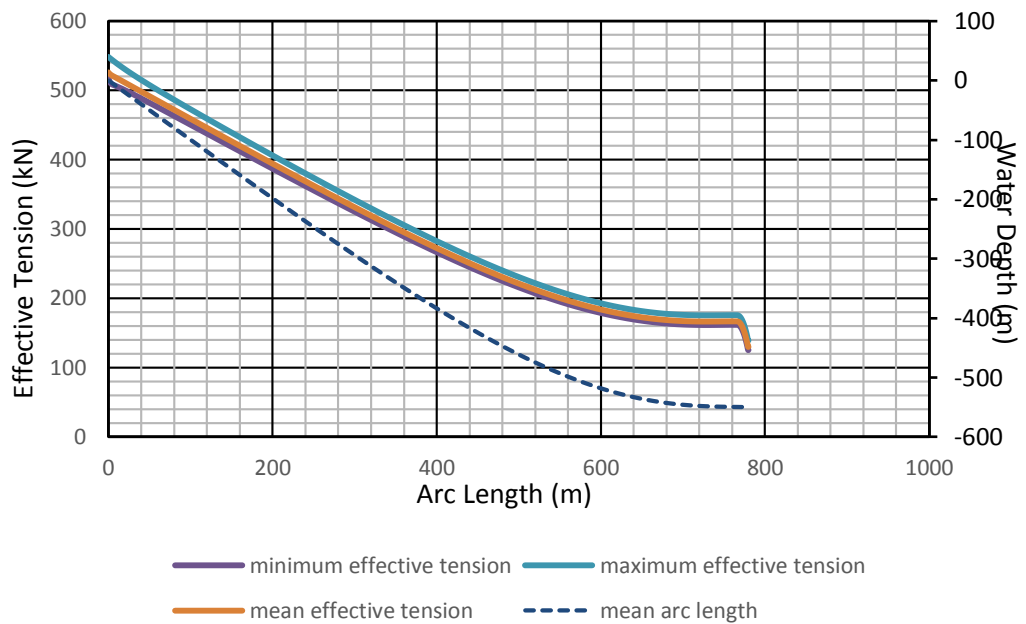
Gambar 4. 12 Grafik Effective Tension sepanjang Riser (SCR 24in Water Depth 200m)

Dari hasil simulasi beban lingkungan pada *software* Orcaflex 9.2 terlihat pada Gambar 4.12 nilai *effective tension* terbesar terjadi pada titik flex joint (Arc length 0 m). Dengan nilai *effective tension* terbesar yaitu 245.27 kN.



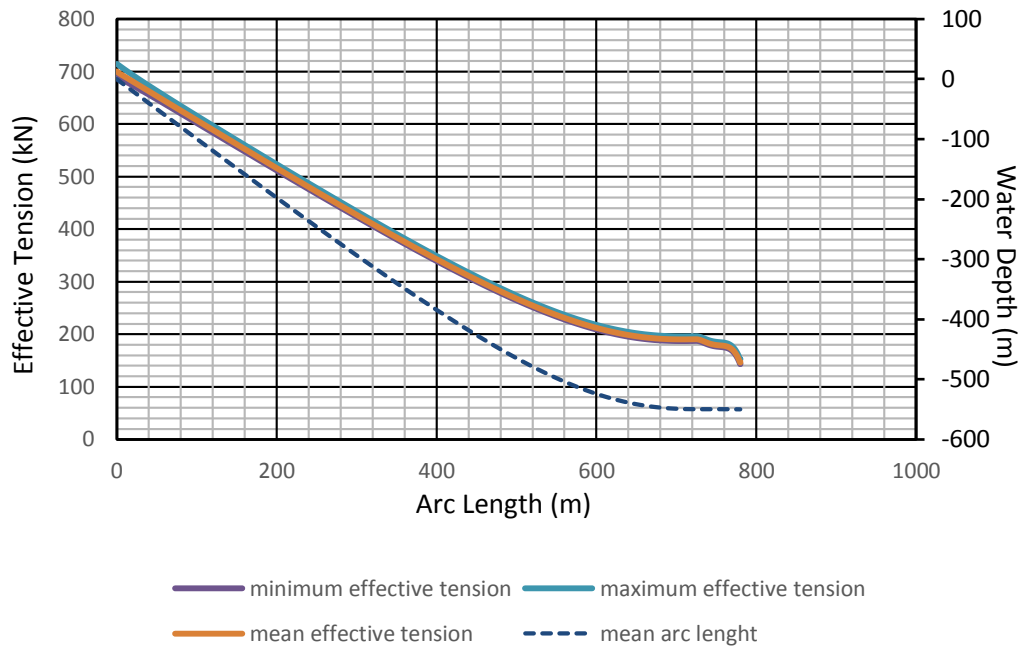
Gambar 4. 13 Grafik Effective Tension sepanjang Riser (SCR 16in Water Depth 550m)

Dari hasil simulasi beban lingkungan pada *software* Orcaflex 9.2 terlihat pada Gambar 4.13 nilai *effective tension* terbesar terjadi pada titik flex joint (Arc length 0 m). Dengan nilai *effective tension* terbesar yaitu 721.14 kN.



Gambar 4. 14 Grafik Effective Tension sepanjang Riser (SCR 20in Water Depth 550m)

Dari hasil simulasi beban lingkungan pada *software* Orcaflex 9.2 terlihat pada Gambar 4.14 nilai *effective tension* terbesar terjadi pada titik flex joint (Arc length 0 m). Dengan nilai *effective tension* terbesar yaitu 548.01 kN.

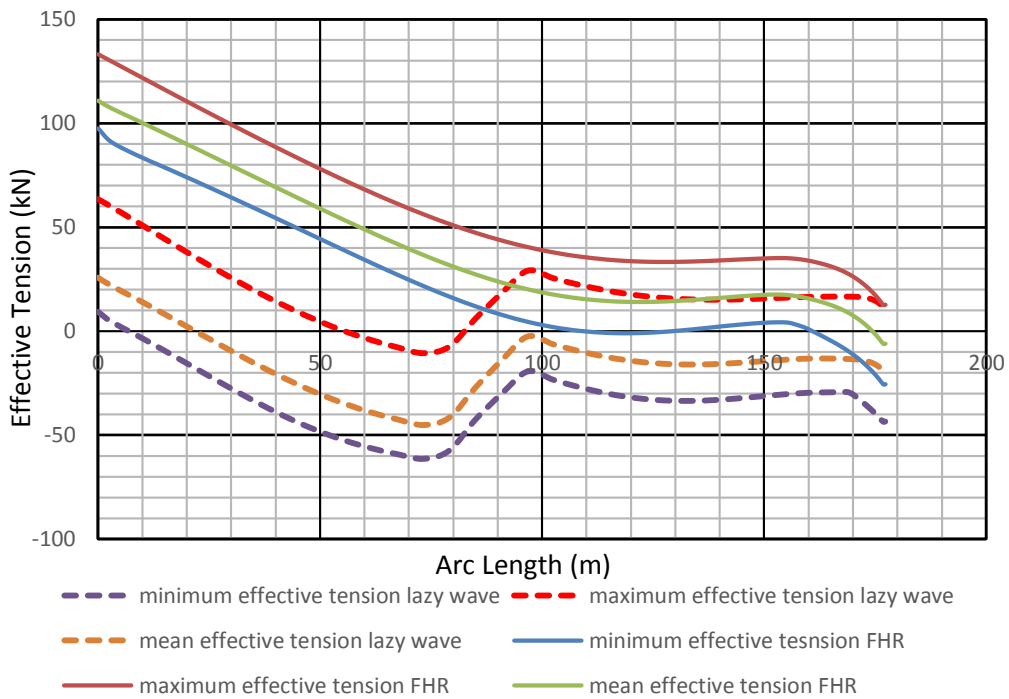


Gambar 4. 15 Grafik Effective Tension sepanjang Riser (SCR 24in Water Depth 550m)

Dari hasil simulasi beban lingkungan pada *software* Orcaflex 9.2 terlihat pada Gambar 4.15 nilai *effective tension* terbesar terjadi pada titik flex joint (Arc length 0 m). Dengan nilai *effective tension* terbesar yaitu 714.26 kN.

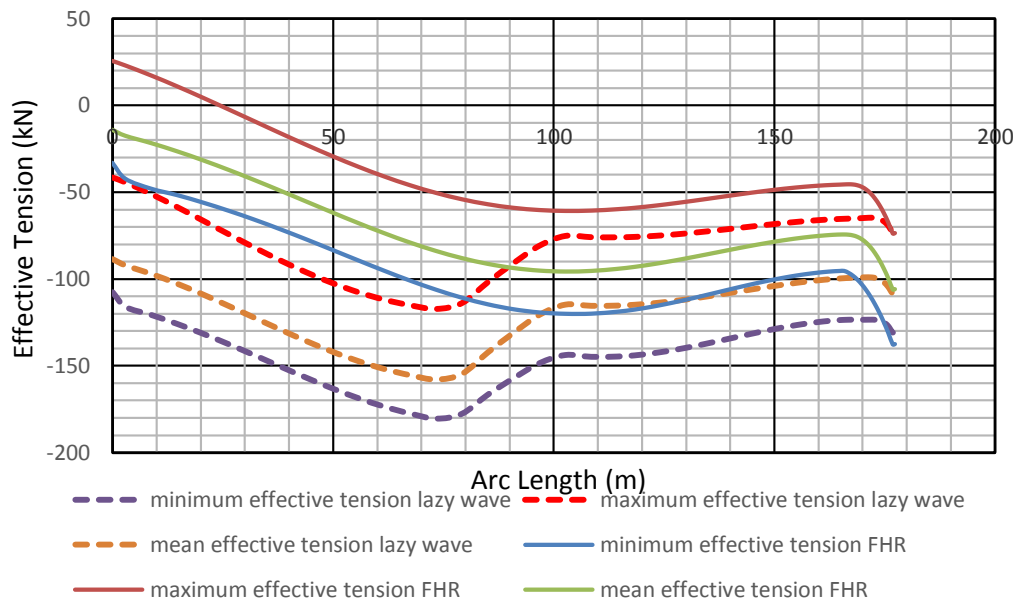
4.4.1.2 Effective Tension Lazy Wave SCR

Untuk mengurangi tegangan tarik atau *effective tension* yang terjadi pada bagian *flex joint* pada *riser* yang tersambung pada *floater* digunakan *bouyancy modules* untuk mengurangi beban keseluruh *riser* yang ditopang oleh bagian *flex joint* tersebut.



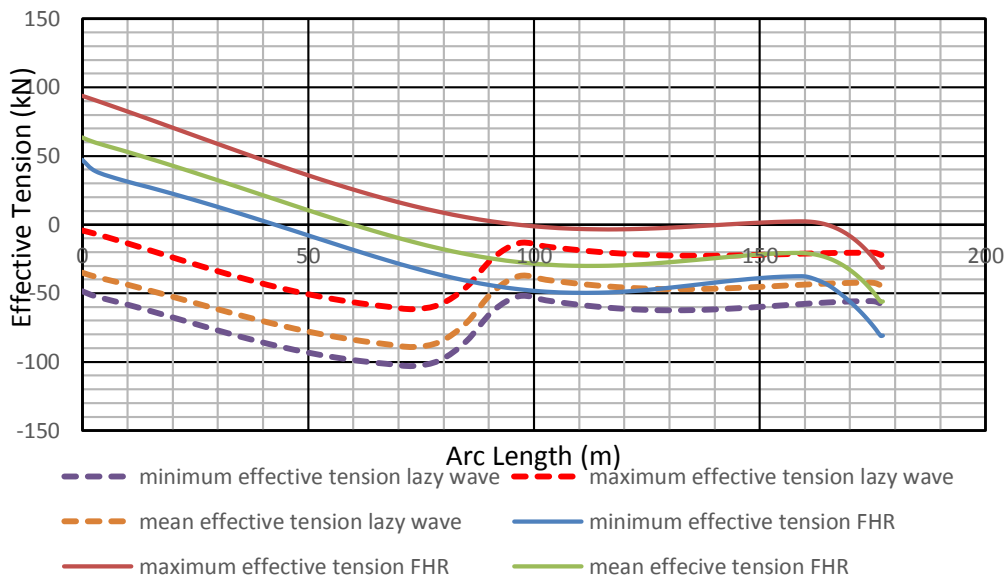
Gambar 4. 16 Grafik perbandingan Effective Tension sepanjang Riser Free hanging catenary dengan Lazy Wave (SCR 16in Water Depth 90m)

Dari hasil simulasi beban lingkungan pada *software* Orcaflex 9.2 terlihat pada Gambar 4.16 nilai *effective tension* terbesar terjadi pada titik flex joint (Arc length 0 m). Dengan nilai *effective tension* terbesar yaitu 63.40 kN. Terdapat penurunan nilai *effective tension* yang terjadi setelah *riser* ditambahkan *bouyancy modules*.



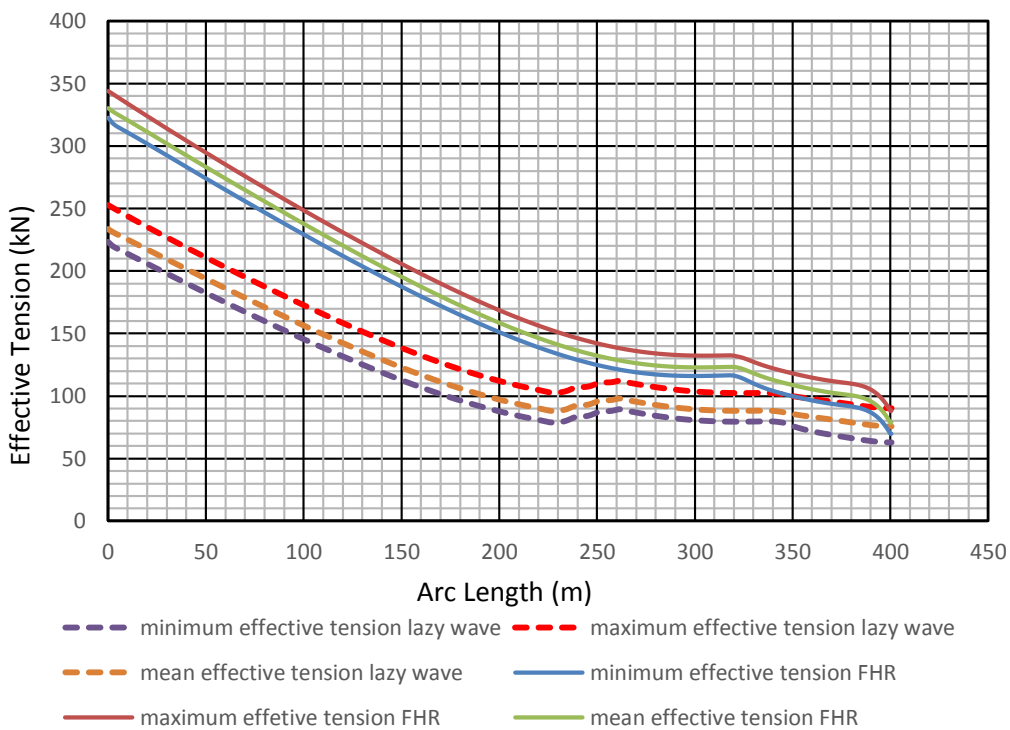
Gambar 4. 17 Grafik perbandingan Effective Tension sepanjang Riser Free hanging catenary dengan Lazy Wave (SCR 20in Water Depth 90m)

Dari hasil simulasi beban lingkungan pada *software* Orcaflex 9.2 terlihat pada Gambar 4.17 nilai *effective tension* terbesar terjadi pada titik flex joint (Arc length 0 m). Dengan nilai *effective tension* terbesar yaitu 41.7 kN. Terdapat penurunan nilai *effective tension* yang terjadi setelah *riser* ditambahkan *bouyancy modules*.



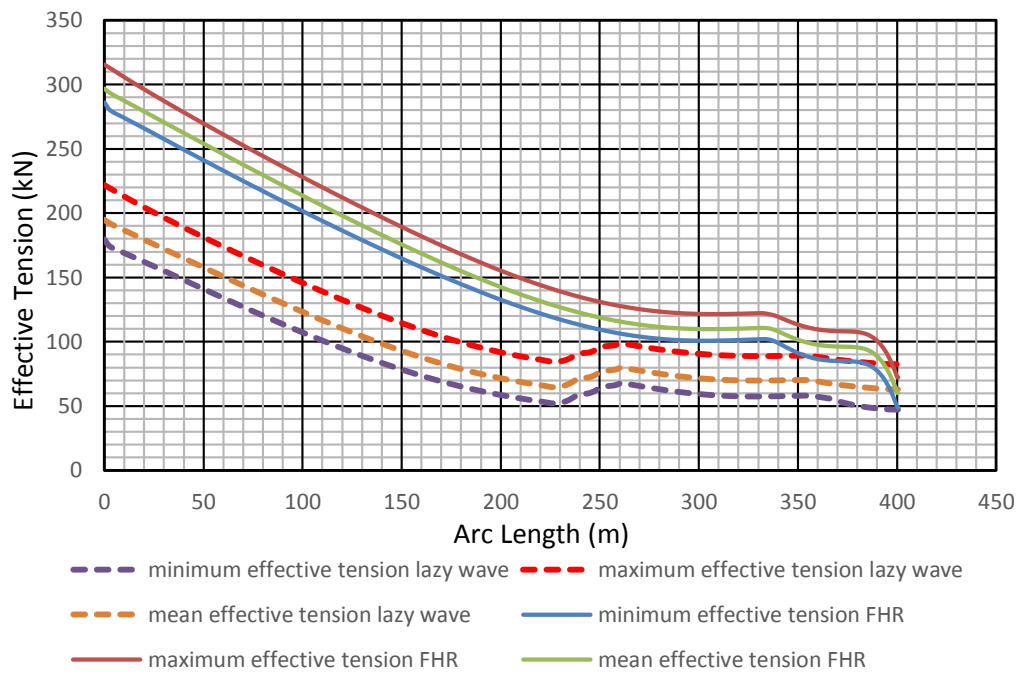
Gambar 4. 18 Grafik perbandingan Effective Tension sepanjang Riser Free hanging catenary dengan Lazy Wave (SCR 24in Water Depth 90m)

Dari hasil simulasi beban lingkungan pada *software* Orcaflex 9.2 terlihat pada Gambar 4.18 nilai *effective tension* terbesar terjadi pada titik flex joint (Arc length 0 m). Dengan nilai *effective tension* terbesar yaitu 4.45 kN. Terdapat penurunan nilai *effective tension* yang terjadi setelah *riser* ditambahkan *bouyancy modules*.



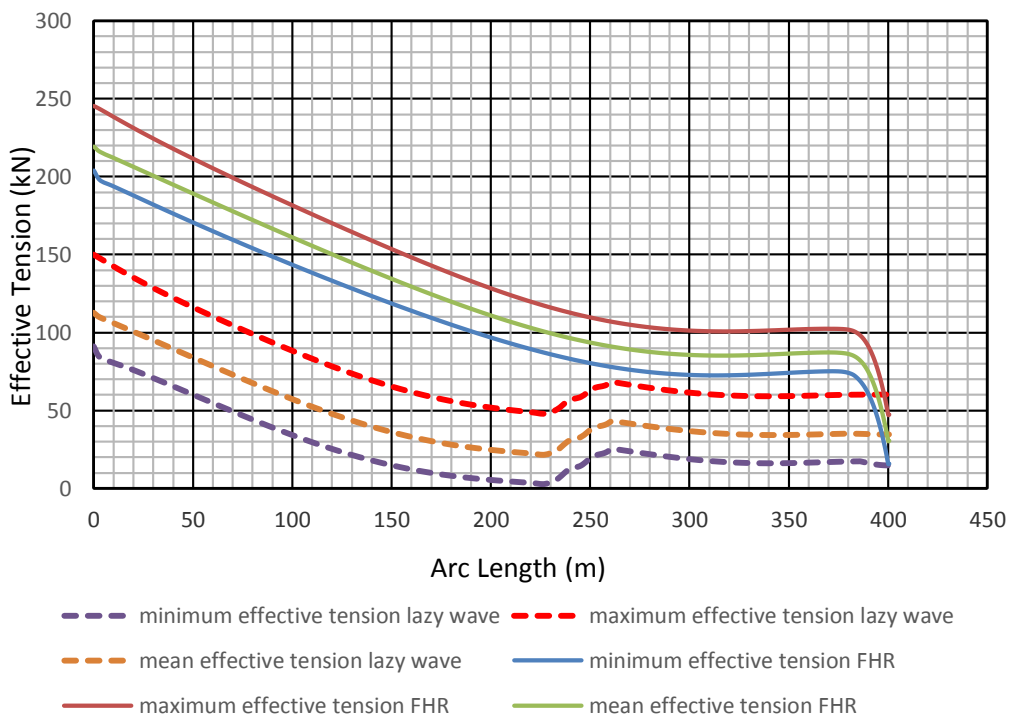
Gambar 4. 19 Grafik perbandingan Effective Tension sepanjang Riser Free hanging catenary dengan Lazy Wave (SCR 16in Water Depth 200m)

Dari hasil simulasi beban lingkungan pada *software* Orcaflex 9.2 terlihat pada Gambar 4.19 nilai *effective tension* terbesar terjadi pada titik flex joint (Arc length 0 m). Dengan nilai *effective tension* terbesar yaitu 253.02 kN. Terdapat penurunan nilai *effective tension* yang terjadi setelah *riser* ditambahkan *bouyancy modules*.



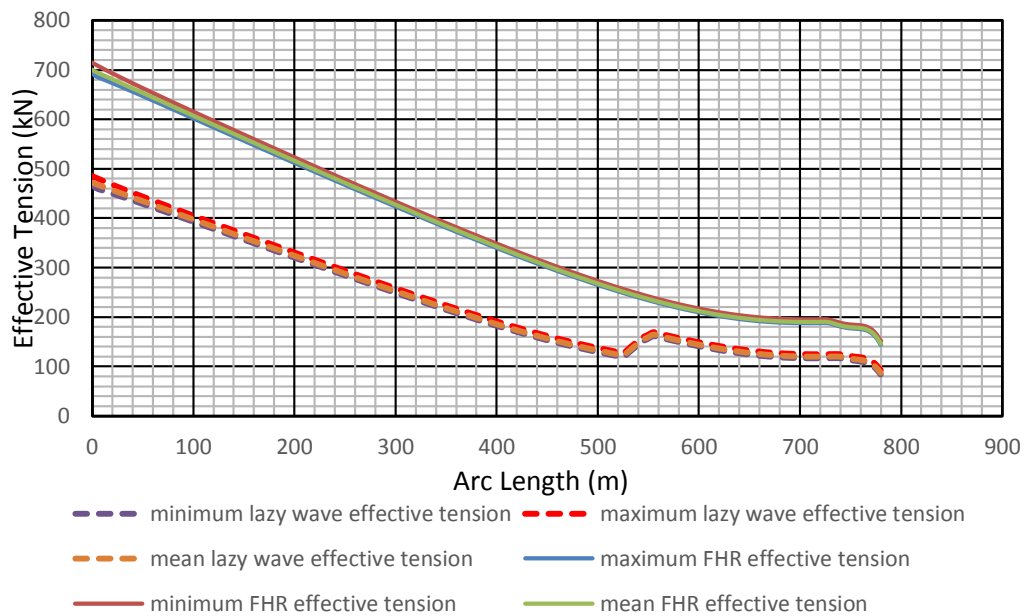
Gambar 4. 20 Grafik perbandingan Effective Tension sepanjang Riser Free hanging catenary dengan Lazy Wave (SCR 20in Water Depth 200m)

Dari hasil simulasi beban lingkungan pada *software* Orcaflex 9.2 terlihat pada Gambar 4.20 nilai *effective tension* terbesar terjadi pada titik flex joint (Arc length 0 m). Dengan nilai *effective tension* terbesar yaitu 221.74 kN. Terdapat penurunan nilai *effective tension* yang terjadi setelah *riser* ditambahkan *bouyancy modules*.



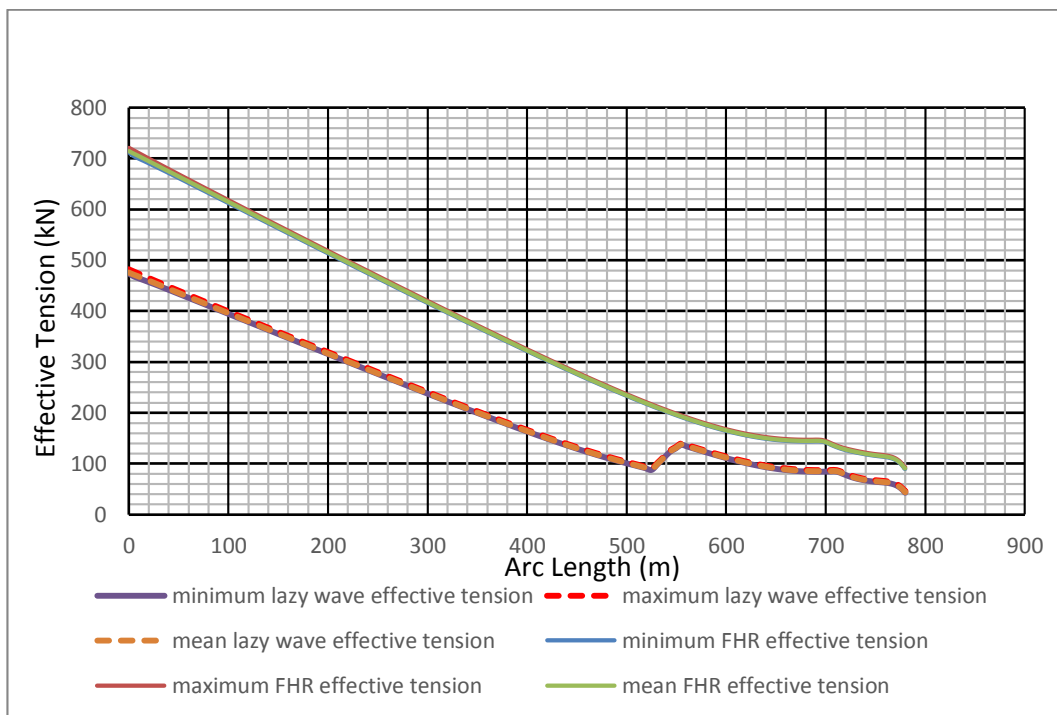
Gambar 4. 21 Grafik perbandingan Effective Tension sepanjang Riser Free hanging catenary dengan Lazy Wave (SCR 24in Water Depth 200m)

Dari hasil simulasi beban lingkungan pada *software* Orcaflex 9.2 terlihat pada Gambar 4.21 nilai *effective tension* terbesar terjadi pada titik flex joint (Arc length 0 m). Dengan nilai *effective tension* terbesar yaitu 150.12 kN. Terdapat penurunan nilai *effective tension* yang terjadi setelah *riser* ditambahkan *bouyancy modules*.



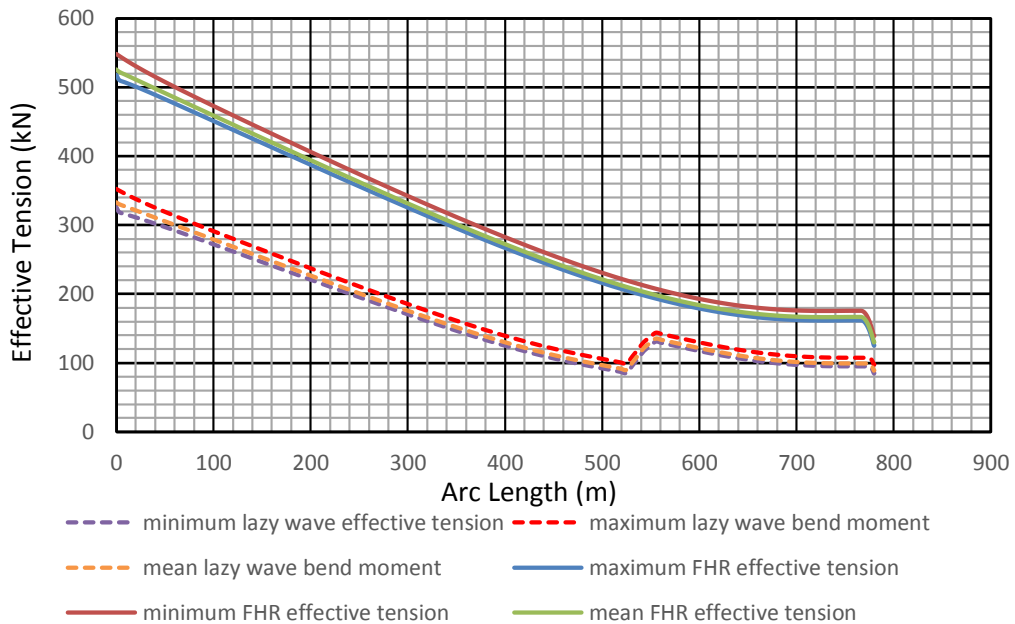
Gambar 4. 22 Grafik perbandingan Effective Tension sepanjang Riser Free hanging catenary dengan Lazy Wave (SCR 16in Water Depth 550m)

Dari hasil simulasi beban lingkungan pada *software* Orcaflex 9.2 terlihat pada Gambar 4.22 nilai *effective tension* terbesar terjadi pada titik flex joint (Arc length 0 m). Dengan nilai *effective tension* terbesar yaitu 485.04 kN. Terdapat penurunan nilai *effective tension* yang terjadi setelah *riser* ditambahkan *bouyancy modules*.



Gambar 4. 23 Grafik perbandingan Effective Tension sepanjang Riser Free hanging catenary dengan Lazy Wave (SCR 20in Water Depth 550m)

Dari hasil simulasi beban lingkungan pada *software* Orcaflex 9.2 terlihat pada Gambar 4.23 nilai *effective tension* terbesar terjadi pada titik flex joint (Arc length 0 m). Dengan nilai *effective tension* terbesar yaitu 481.87 kN. Terdapat penurunan nilai *effective tension* yang terjadi setelah *riser* ditambahkan *bouyancy modules*.



Gambar 4. 24 Grafik perbandingan Effective Tension sepanjang Riser Free hanging catenary dengan Lazy Wave (SCR 24in Water Depth 550m)

Dari hasil simulasi beban lingkungan pada *software* Orcaflex 9.2 terlihat pada Gambar 4.24 nilai *effective tension* terbesar terjadi pada titik flex joint (Arc length 0 m). Dengan nilai *effective tension* terbesar yaitu 352.54 kN. Terdapat penurunan nilai *effective tension* yang terjadi setelah *riser* ditambahkan *bouyancy modules*.

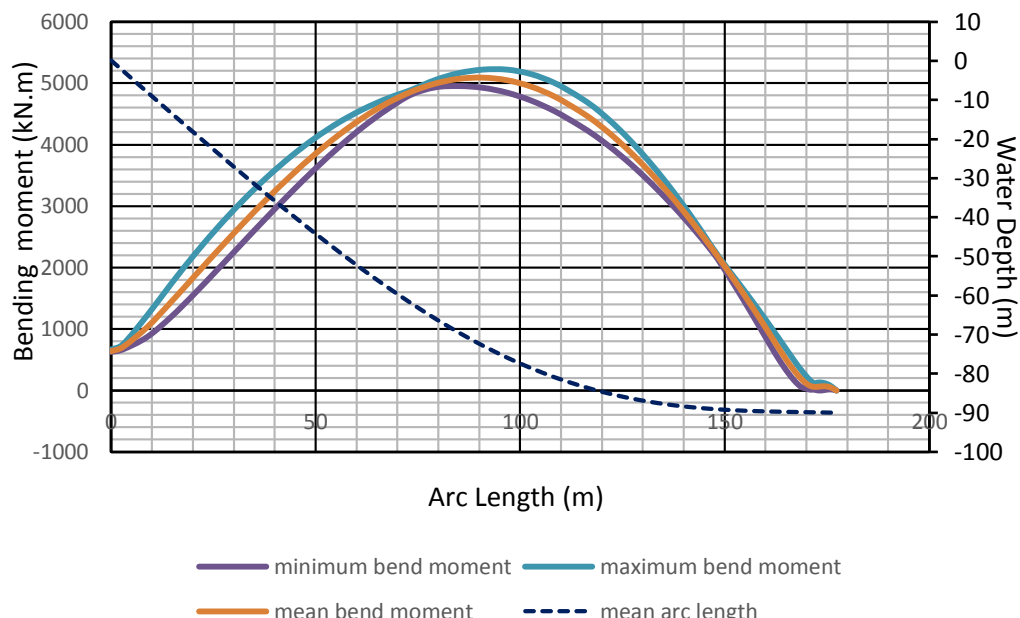
4.4.2 Bend Moment

Untuk analisa pengaruh beban lingkungan terhadap *Bend Moment* dari *Steel Catenary Riser* akan dianalisa nilai *Bend Moment* pada masing – masing kedalaman dan variasi diameter pipa *riser*.

Berikut merupakan hasil analisa *Steel Catenary Riser* akibat. Simulasi dilakukan dengan Orcaflex 9.2 dengan durasi yang diambil -50s – 8000s *implicit timestep*.

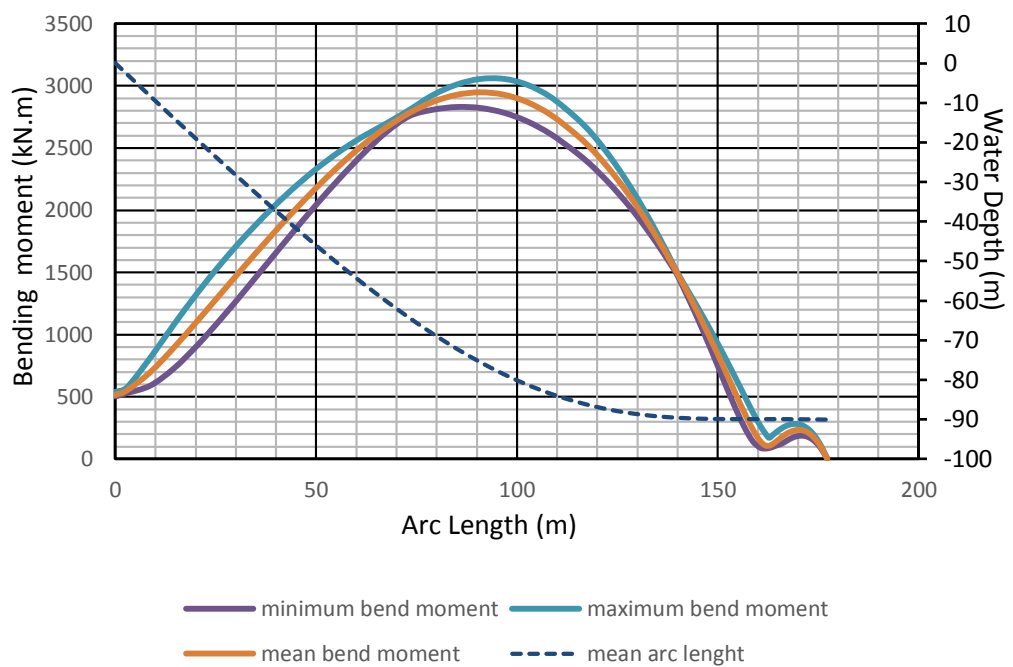
4.4.2.1. Bend Moment pada Free Hanging Catenary Riser

Analisa beban lingkungan terhadap *Bend Moment* pada konfigurasi *riser* tipe *free hanging catenary* sepanjang bentang *riser*.



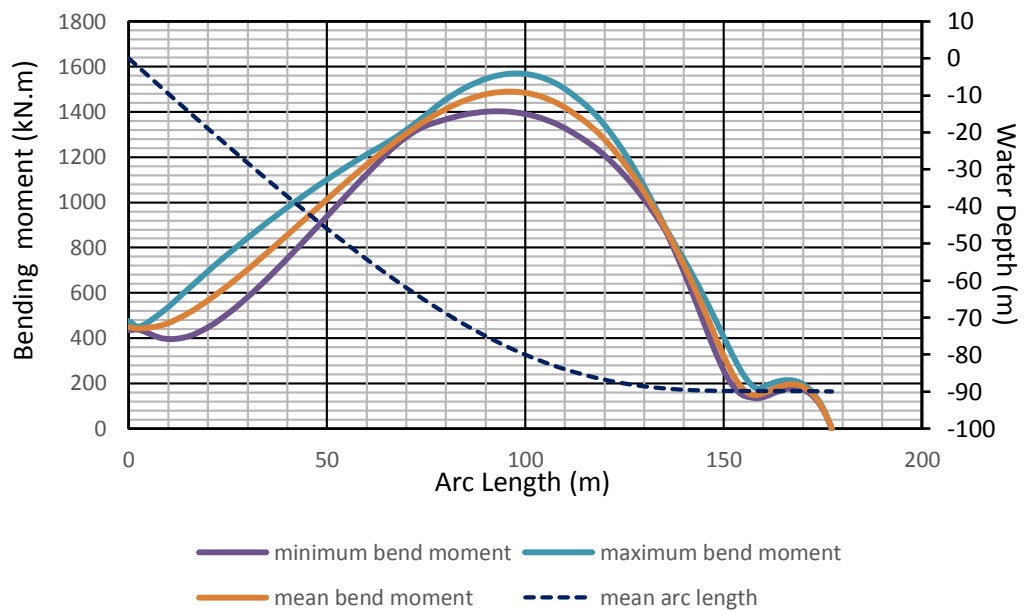
Gambar 4. 25 Grafik Bend Moment sepanjang Riser (SCR 16in Water Depth 90m)

Dari hasil simulasi beban lingkungan pada *software* Orcaflex 9.2 terlihat pada Gambar 4.25 nilai *bending moment* terbesar terjadi pada titik seg bend (Arc length 80-100 m). Dengan nilai *bending moment* terbesar yaitu 5217.8 kN.m.



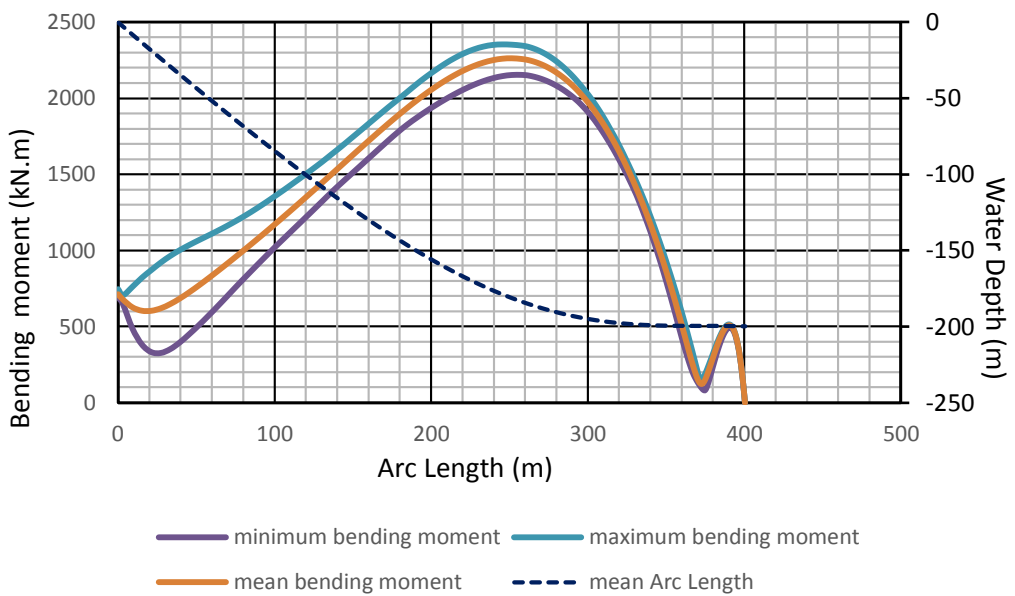
Gambar 4. 26 Grafik Bend Moment sepanjang Riser (SCR 20in Water Depth 90m)

Dari hasil simulasi beban lingkungan pada *software* Orcaflex 9.2 terlihat pada Gambar 4.26 nilai *bending moment* terbesar terjadi pada titik seg bend (Arc length 80-100 m). Dengan nilai *bending moment* terbesar yaitu 3054.15 kN.m.



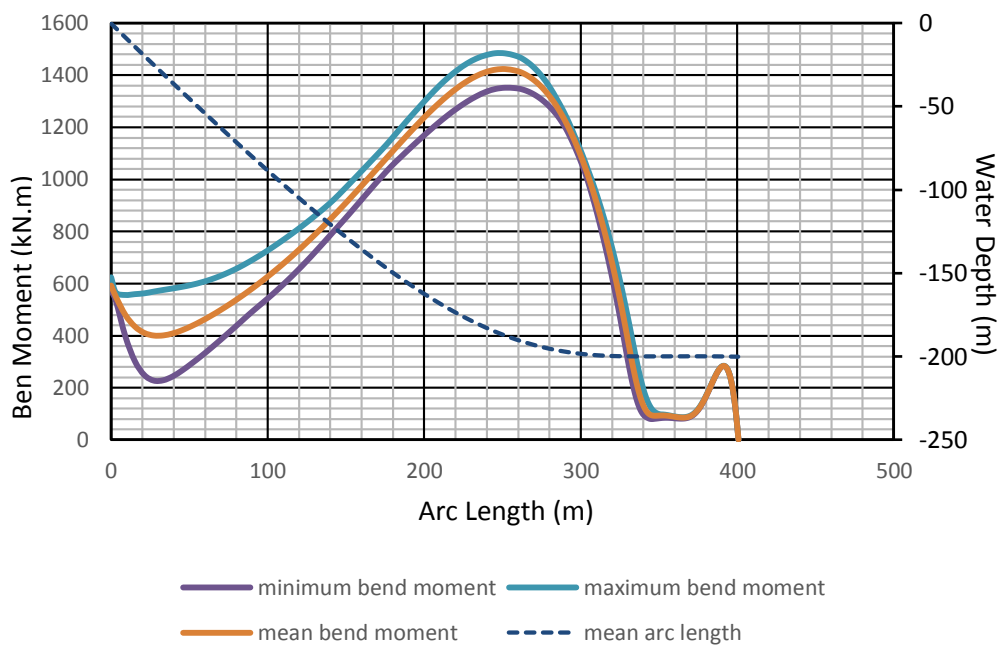
Gambar 4. 27 Grafik Bend Moment sepanjang Riser (SCR 24in Water Depth 90m)

Dari hasil simulasi beban lingkungan pada *software* Orcaflex 9.2 terlihat pada Gambar 4.27 nilai *bending moment* terbesar terjadi pada titik seg bend (Arc length 80-100 m). Dengan nilai *bending moment* terbesar yaitu 1559.45 kN.m.



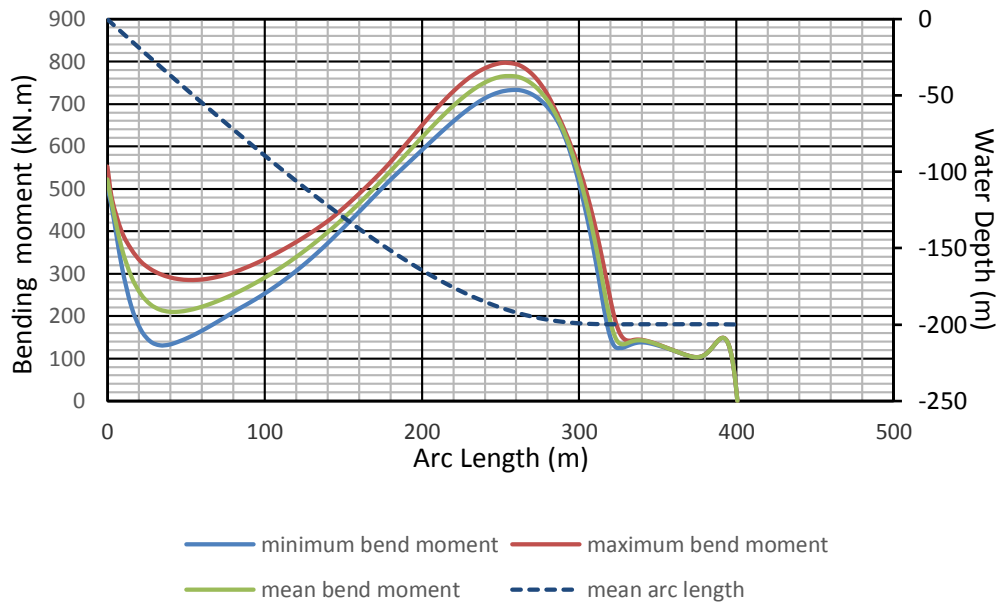
Gambar 4. 28 Grafik Bend Moment sepanjang Riser (SCR 16in Water Depth 200m)

Dari hasil simulasi beban lingkungan pada *software* Orcaflex 9.2 terlihat pada Gambar 4.28 nilai *bending moment* terbesar terjadi pada titik seg bend (Arc length 200-300 m). Dengan nilai *bending moment* terbesar yaitu 2353.2 kN.m.



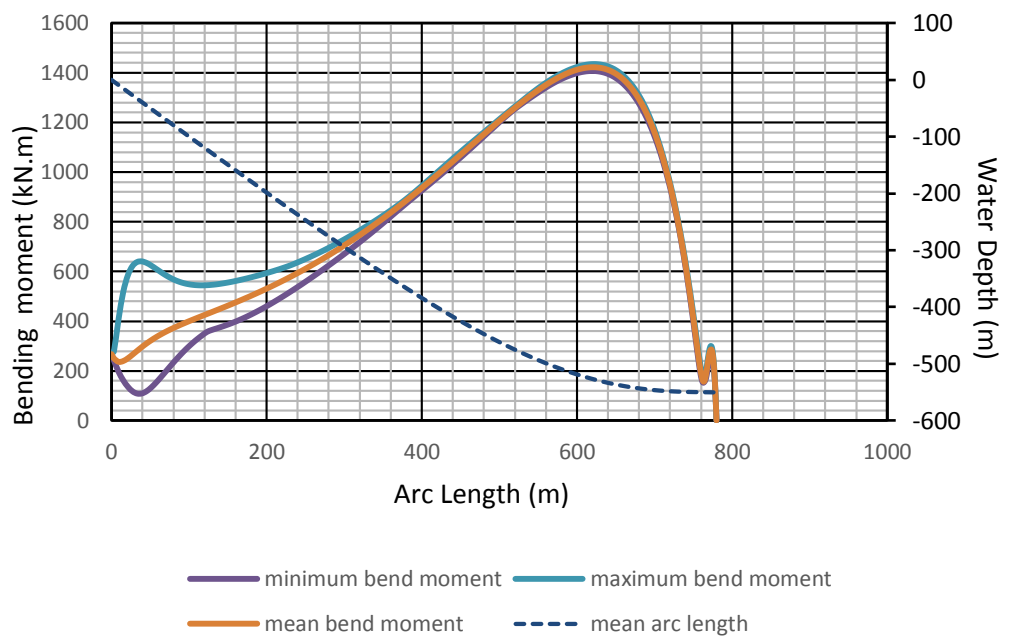
Gambar 4. 29 Grafik Bend Moment sepanjang Riser (SCR 20in Water Depth 200m)

Dari hasil simulasi beban lingkungan pada *software* Orcaflex 9.2 terlihat pada Gambar 4.29 nilai *bending moment* terbesar terjadi pada titik seg bend (Arc length 200-300 m). Dengan nilai *bending moment* terbesar yaitu 1484.37 kN.m.



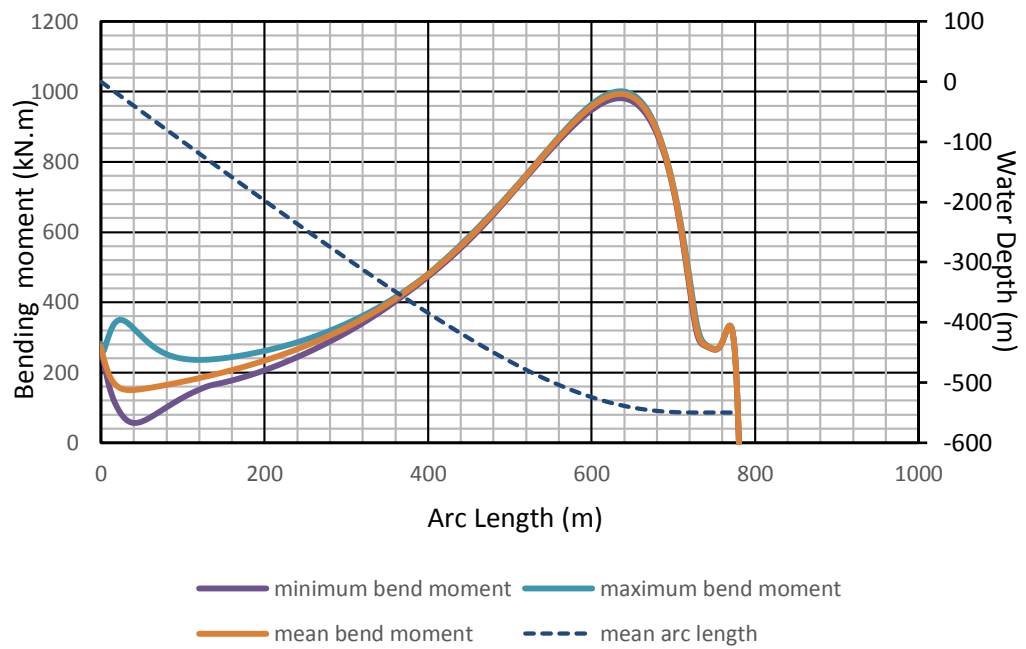
Gambar 4. 30 Grafik Bend Moment sepanjang Riser (SCR 24in Water Depth 200m)

Dari hasil simulasi beban lingkungan pada *software* Orcaflex 9.2 terlihat pada Gambar 4.30 nilai *bending moment* terbesar terjadi pada titik seg bend (Arc length 200-300 m). Dengan nilai *bending moment* terbesar yaitu 797.2 kN.m.



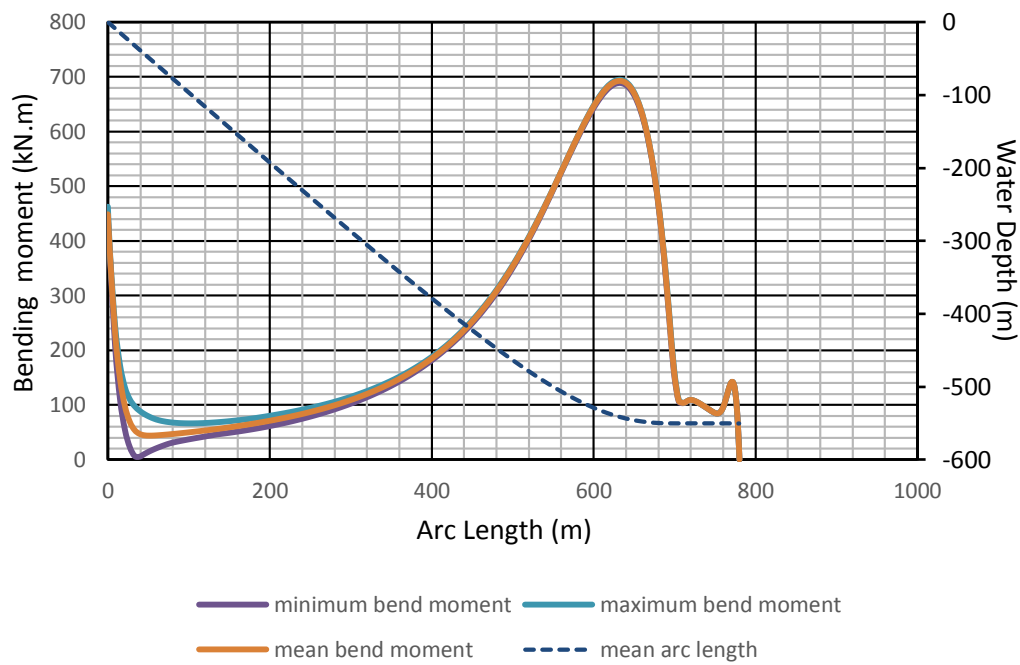
Gambar 4. 31 Grafik Bend Moment sepanjang Riser (SCR 16in Water Depth 550m)

Dari hasil simulasi beban lingkungan pada *software* Orcaflex 9.2 terlihat pada Gambar 4.31 nilai *bending moment* terbesar terjadi pada titik seg bend (*Arc length* 633 m). Dengan nilai *bending moment* terbesar yaitu 1435.03 kN.m.



Gambar 4. 32 Grafik Bend Moment sepanjang Riser (SCR 20in Water Depth 550m)

Dari hasil simulasi beban lingkungan pada *software* Orcaflex 9.2 terlihat pada Gambar 4.32 nilai *bending moment* terbesar terjadi pada titik seg bend (*Arc length* 633 m). Dengan nilai *bending moment* terbesar yaitu 1001.29 kN.m.

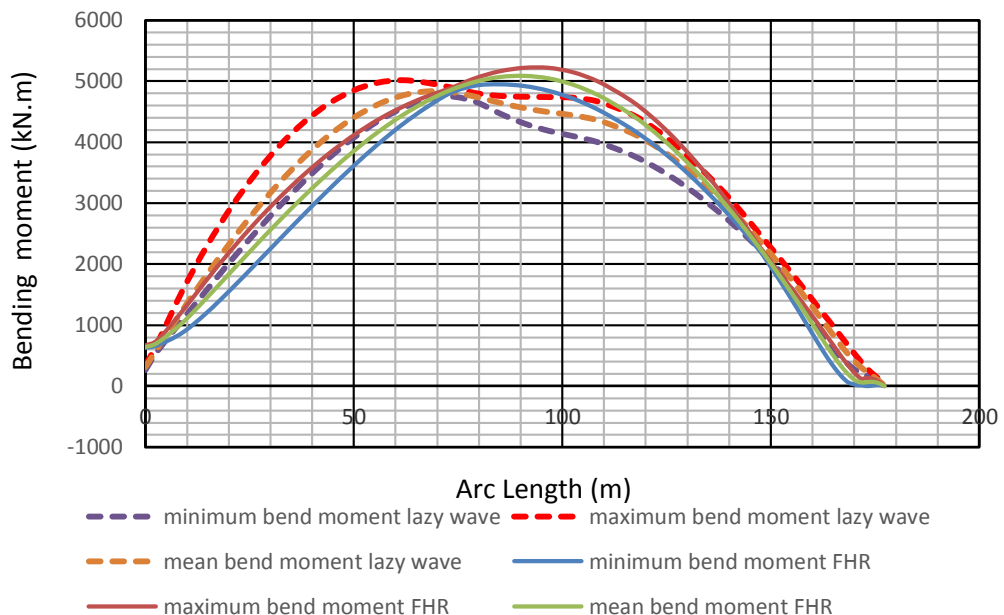


Gambar 4. 33 Grafik Bend Moment sepanjang Riser (SCR 24in Water Depth 550m)

Dari hasil simulasi beban lingkungan pada *software* Orcaflex 9.2 terlihat pada Gambar 4.33 nilai *bending moment* terbesar terjadi pada titik seg bend (*Arc length* 621 m). Dengan nilai *bending moment* terbesar yaitu 695.14 kN.m.

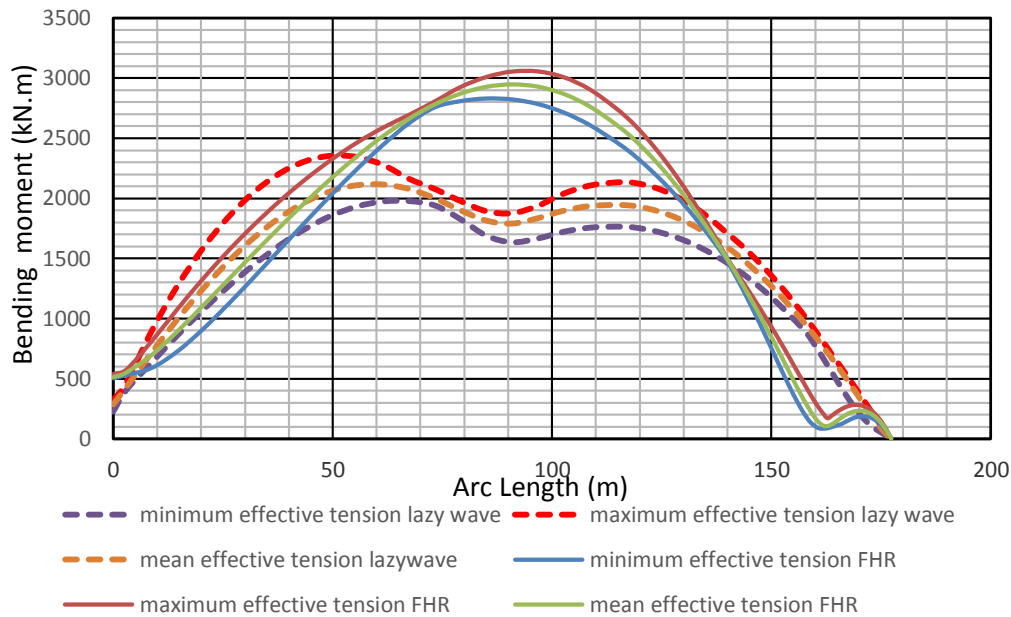
4.4.2.2 Bend Moment pada Lazy Wave

Analisa *Bend Moment* pada konfigurasi *riser* tipe *Lazy Wave* dengan masing-masing variasi kedalaman dan diameter pipa.



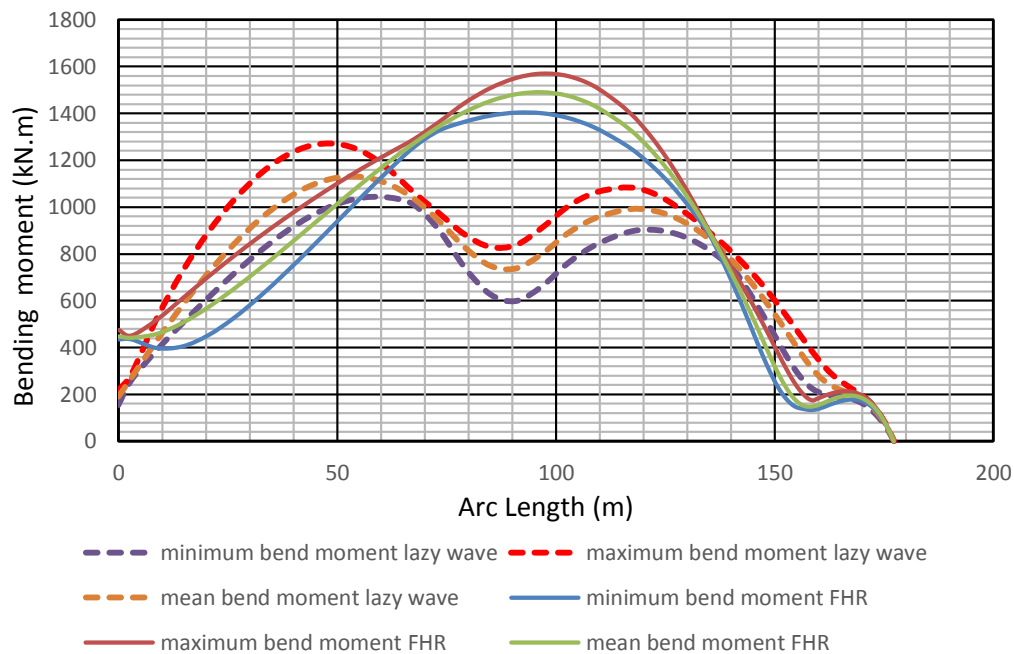
Gambar 4. 34 Grafik Bend Moment sepanjang Riser (SCR 16in Water Depth 90m)

Dari hasil simulasi beban lingkungan pada *software* Orcaflex 9.2 terlihat pada Gambar 4.34 nilai *bending moment* terbesar terjadi pada titik segbend (Arc length 49.84 m). Dengan nilai *bending moment* terbesar yaitu 5020.65 kN.m. Terdapat penurunan nilai *bending moment* yang terjadi setelah *riser* ditambahkan *bouyancy modules* pada titik segbend dimana terletak nilai *bending moment* terbesar pada konfigurasi *free hanging catenary*.



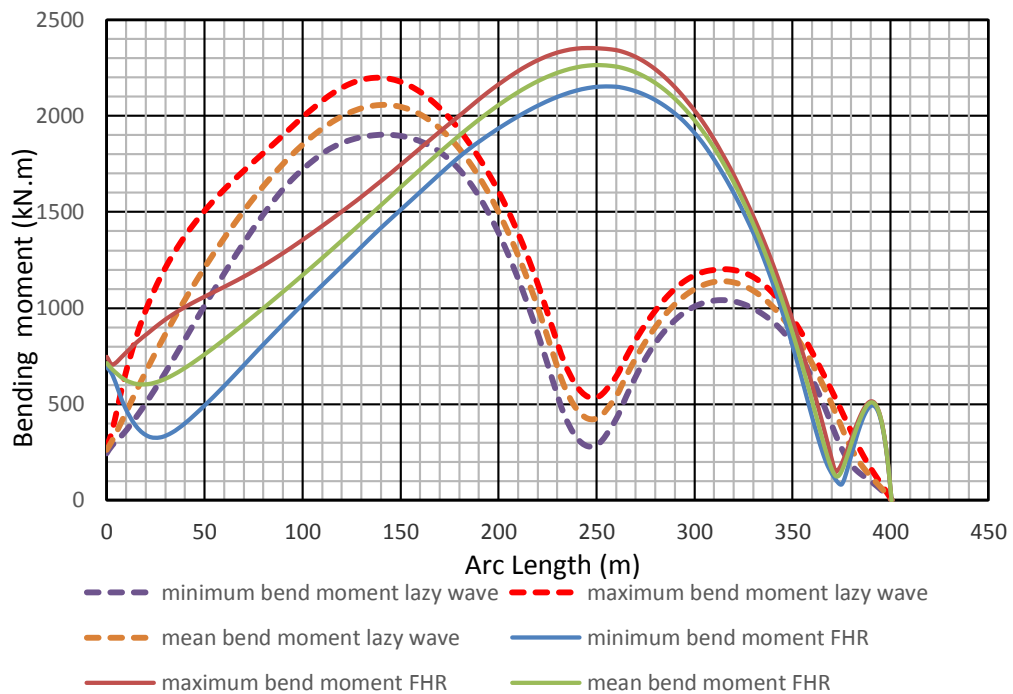
Gambar 4. 35 Grafik Bend Moment sepanjang Riser (SCR 20in Water Depth 90m)

Dari hasil simulasi beban lingkungan pada software Orcaflex 9.2 terlihat pada Gambar 4.35 nilai *bending moment* terbesar terjadi pada titik segbend (Arc length 49.84 m). Dengan nilai *bending moment* terbesar yaitu 2353.3 kN.m. Terdapat penurunan nilai *bending moment* yang terjadi setelah *riser* ditambahkan *bouyancy modules* pada titik segbend dimana terletak nilai *bending moment* terbesar pada konfigurasi *free hanging catenary*.



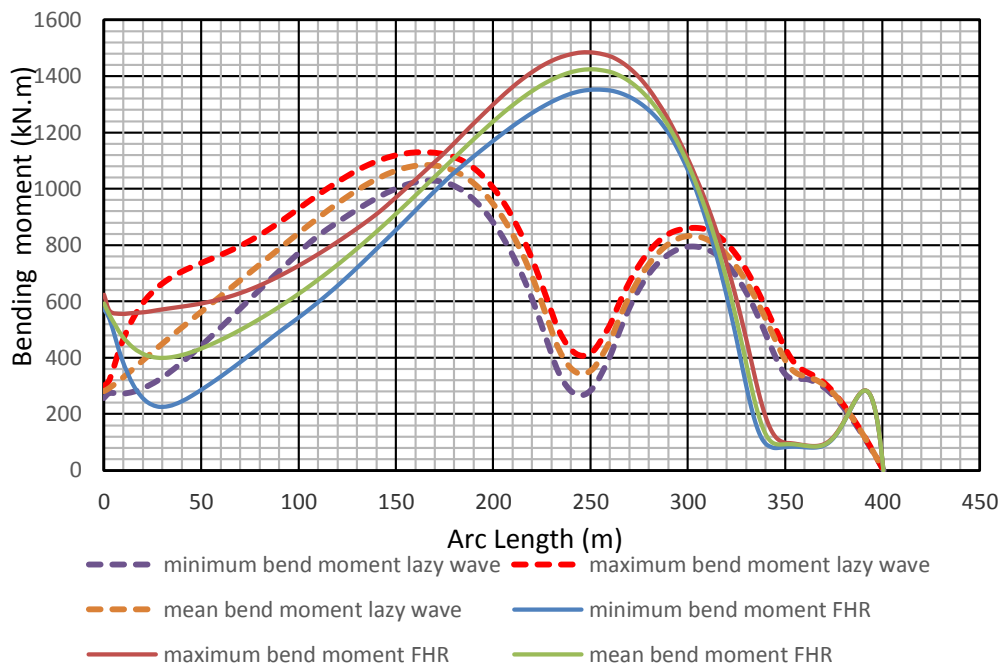
Gambar 4. 36 Grafik Bend Moment sepanjang Riser (SCR 24in Water Depth 90m)

Dari hasil simulasi beban lingkungan pada *software* Orcaflex 9.2 terlihat pada Gambar 4.36 nilai *bending moment* terbesar terjadi pada titik segbend (Arc length 61.57 m). Dengan nilai *bending moment* terbesar yaitu 1270 kN.m. Terdapat penurunan nilai *bending moment* yang terjadi setelah *riser* ditambahkan *bouyancy modules* pada titik segbend dimana terletak nilai *bending moment* terbesar pada konfigurasi *free hanging catenary*.



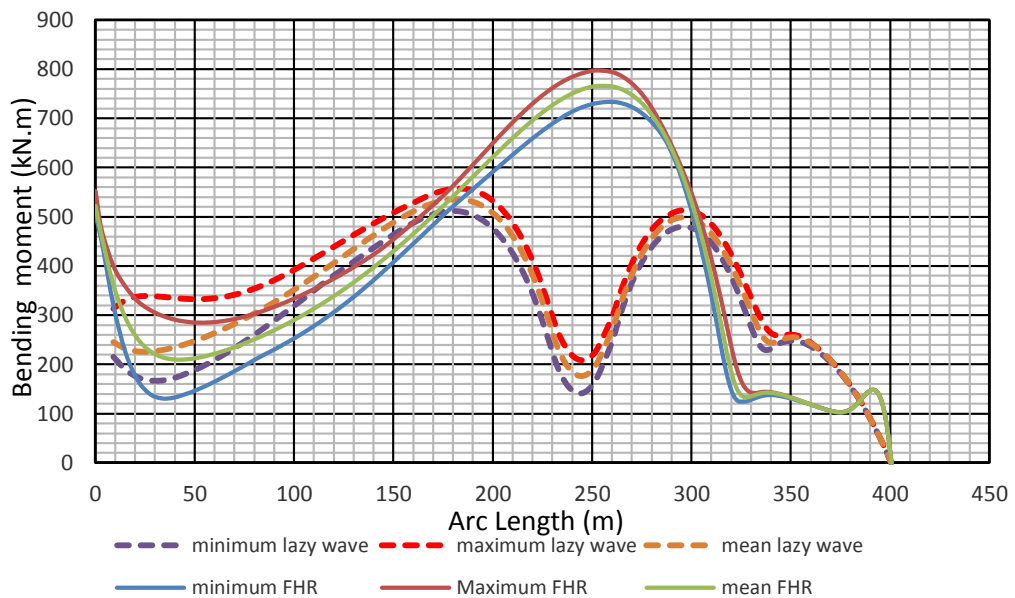
Gambar 4. 37 Grafik Bend Moment sepanjang Riser (SCR 16in Water Depth 200m)

Dari hasil simulasi beban lingkungan pada *software* Orcaflex 9.2 terlihat pada Gambar 4.37 nilai *bending moment* terbesar terjadi pada titik segbend. Dengan nilai *bending moment* terbesar yaitu 2197.25 kN.m. Terdapat penurunan nilai *bending moment* yang terjadi setelah *riser* ditambahkan *bouyancy modules* pada titik segbend dimana terletak nilai *bending moment* terbesar pada konfigurasi *free hanging catenary*.



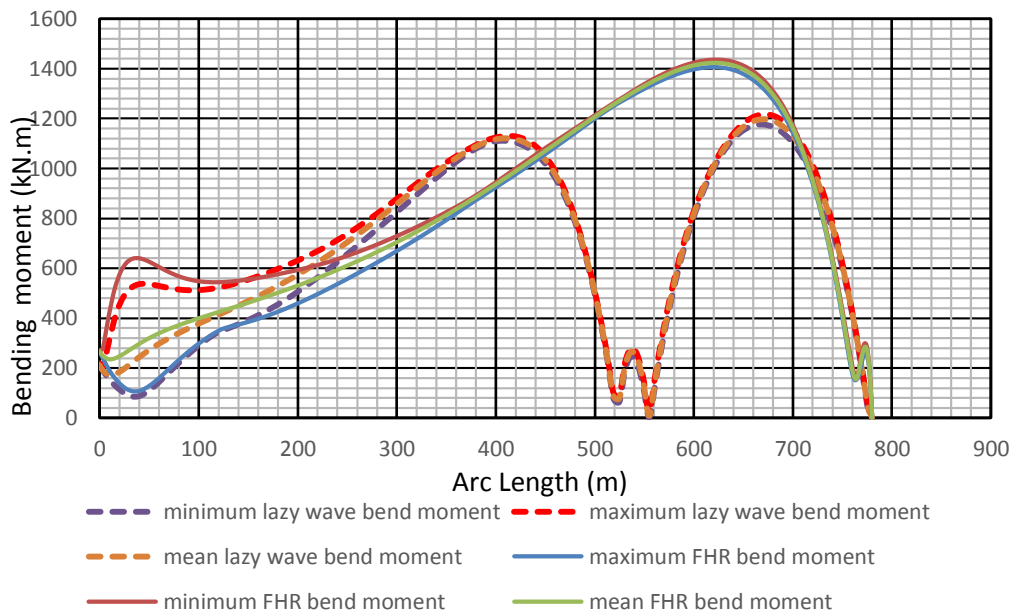
Gambar 4. 38 Grafik Bend Moment sepanjang Riser (SCR 20in Water Depth 200m)

Dari hasil simulasi beban lingkungan pada *software* Orcaflex 9.2 terlihat pada Gambar 4.38 nilai *bending moment* terbesar terjadi pada titik segbend (Arc length 160.60 m). Dengan nilai *bending moment* terbesar yaitu 1129.81 kN.m. Terdapat penurunan nilai *bending moment* yang terjadi setelah *riser* ditambahkan *bouyancy modules* pada titik segbend dimana terletak nilai *bending moment* terbesar pada konfigurasi *free hanging catenary*.



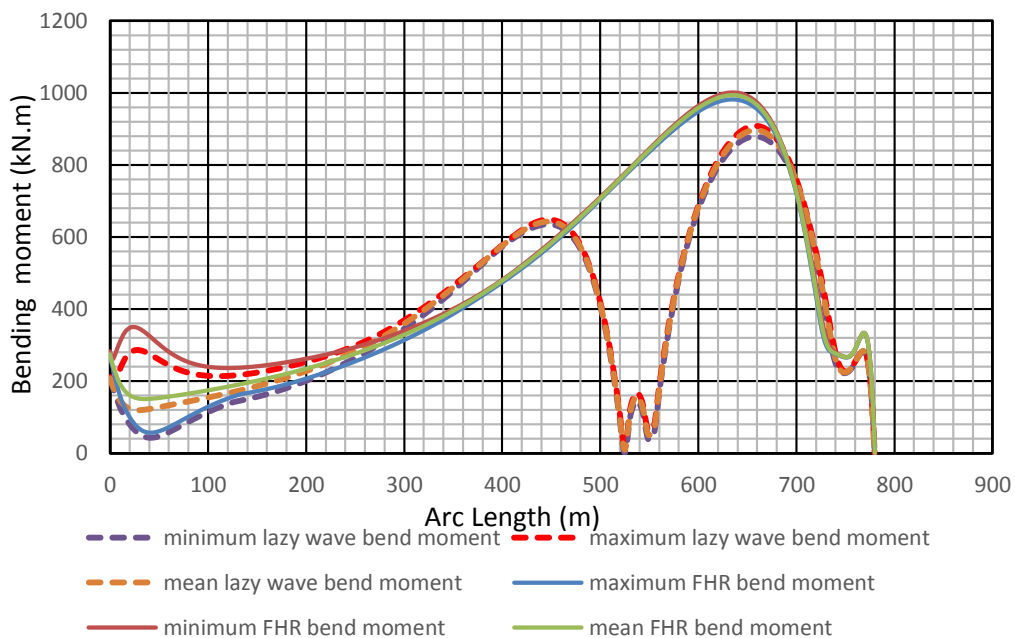
Gambar 4. 39 Grafik Bend Moment sepanjang Riser (SCR 24in Water Depth 200m)

Dari hasil simulasi beban lingkungan pada *software* Orcaflex 9.2 terlihat pada Gambar 4.39 nilai *bending moment* terbesar terjadi pada titik segbend (Arc length 160.60 m). Dengan nilai *bending moment* terbesar yaitu 557.54 kN.m. Terdapat penurunan nilai *bending moment* yang terjadi setelah *riser* ditambahkan *bouyancy modules* pada titik segbend dimana terletak nilai *bending moment* terbesar pada konfigurasi *free hanging catenary*.



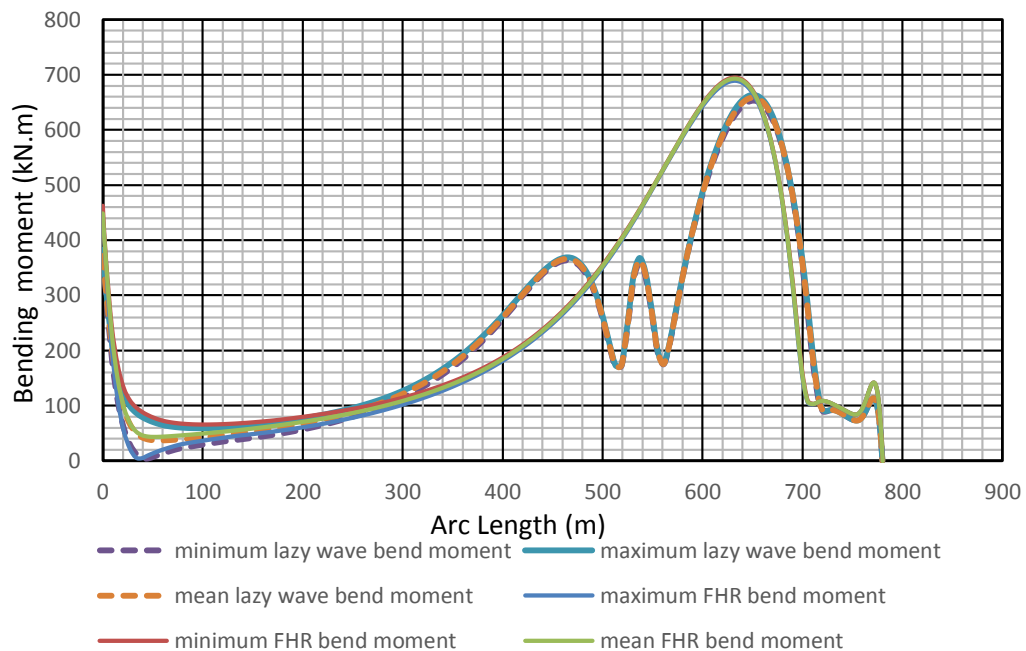
Gambar 4. 40 Grafik Bend Moment sepanjang Riser (SCR 16in Water Depth 550m)

Dari hasil simulasi beban lingkungan pada *software* Orcaflex 9.2 terlihat pada Gambar 4.40 nilai *bending moment* terbesar terjadi pada titik segbend (*Arc length* 651 m). Dengan nilai *bending moment* terbesar yaitu 1216.86 kN.m. Terdapat penurunan nilai *bending moment* yang terjadi setelah *riser* ditambahkan *bouyancy modules* pada titik segbend dimana terletak nilai *bending moment* terbesar pada konfigurasi *free hanging catenary*.



Gambar 4. 41 Grafik Bend Moment sepanjang Riser (SCR 20in Water Depth 550m)

Dari hasil simulasi beban lingkungan pada software Orcaflex 9.2 terlihat pada Gambar 4.41 nilai *bending moment* terbesar terjadi pada titik segbend (*Arc length* 657 m). Dengan nilai *bending moment* terbesar yaitu 908.73 kN.m. Terdapat penurunan nilai *bending moment* yang terjadi setelah *riser* ditambahkan *bouyancy modules* pada titik segbend dimana terletak nilai *bending moment* terbesar pada konfigurasi *free hanging catenary*.



Gambar 4.42 Grafik Bend Moment sepanjang Riser (SCR 24in Water Depth 550m)

Dari hasil simulasi beban lingkungan pada *software* Orcaflex 9.2 terlihat pada Gambar 4.42 nilai *bending moment* terbesar terjadi pada titik segbend (*Arc length* 675 m). Dengan nilai *bending moment* terbesar yaitu 663.35 kN.m. Terdapat penurunan nilai *bending moment* yang terjadi setelah *riser* ditambahkan *bouyancy modules* pada titik segbend dimana terletak nilai *bending moment* terbesar pada konfigurasi *free hanging catenary*.

Tabel 4. 4 Perbandingan hasil analisa pada masing -masing kofigurasi kedalaman 90 meter.

| Free hanging vs Lazy Wave 90 meter | Effective Tension FHR | Effective tension Lazy Wave | Bend Moment FHR | Bend moment Lazy Wave |
|------------------------------------|-----------------------|-----------------------------|-----------------|-----------------------|
| Diameter | 133.23 kN | 63.40 kN | 5217.8 kN.m | 5020.65 kN.m |
| 16 | 93.92 kN | 47.7 kN | 3054.15 kN.m | 2352.3 kN.m |
| 20 | 25.6 kN | 4.45 kN | 1559.45 kN.m | 1270 kN.m |
| 24 | | | | |

Tabel 4. 5 Perbandingan hasil analisa pada masing -masing kofigurasi kedalaman 200 meter.

| Free hanging vs Lazy Wave 200 meter | Effective Tension FHR | Effective tension Lazy Wave | Bend Moment FHR | Bend moment Lazy Wave |
|-------------------------------------|-----------------------|-----------------------------|-----------------|-----------------------|
| Diameter | 343.71 kN | 253.02 kN | 2353.2 kN.m | 2197.25 kN.m |
| 16 in | 315.44 kN | 221.74 kN | 1484.93 kN.m | 1129.81 kN.m |
| 20 in | 245.27 kN | 150.12 kN | 797.2 kN.m | 557.54 kN.m |
| 24 in | | | | |

Tabel 4. 6 Perbandingan hasil analisa pada masing -masing kofigurasi kedalaman 550 meter.

| Free hanging vs Lazy Wave 550 meter | Effective Tension FHR | Effective tension Lazy Wave | Bend Moment FHR | Bend moment Lazy Wave |
|-------------------------------------|-----------------------|-----------------------------|-----------------|-----------------------|
| Diameter | 721.14 kN | 485.04 kN | 1435.03 kN.m | 1216.86 kN.m |
| 16 | 714.26 kN | 481.87 kN | 1001.29 kN.m | 908.73 kN.m |
| 20 | 548.01 kN | 352.54 kN | 695.14 kN.m | 663.35 kN.m |
| 24 | | | | |

Berdasarkan hasil diperoleh dapat dilihat pada Tabel 4.4, Tabel 4.5 dan Tabel 4.6 dengan masing – masing kedalaman (90m, 200m, 550m) bahwa memberikan *bouyancy modules* pada titik dimana nilai tegangan yang paling besar dapat menurunkan nilai gaya yang terjadi pada titik tersebut. Penurunan nilai masing – masing *effective tension* dan *bending moment* setiap konfigurasi dan

variasi menunjukan bahwa bentuk konfigurasi *lazy wave* lebih unggul dibanding *free hanging catenary* untuk menahan beban yang terjadi.

Dapat dilihat pada tabel bahwa perbedaan diameter pada pipa juga memberikan pengaruh terhadap beban yang diteriman oleh *riser* tersebut. Dan dapat dilihat juga pada tabel apabila kedalaman laut semakin dalam maka semakin besar nilai *effective tension*, berbanding terbalik dengan *bend moment* yang semakin menurun. Akan tetapi nilai masing – masing *effective tension* dan *bend moment* yang terjadi mengalami penurunan ketika pada pipa *riser* tersebut ditambahkan *bouyancy modules*.

Sehingga dapat disimpulkan bahwa pemberian *bouyancy modules* pada *steel catenary riser* membantu untuk mengurangi gaya yang diteriman oleh *steel catenary riser*.

4.5 Analisis Kekuatan

Analisis kekuatan dilakukan untuk mengetahui respon dan perilaku dinamis masing – masing konfigurasi *steel catenary riser* terhadap beban fungsional dan lingkungan yang terjadi. Simulasi *time domain* dilakukan dengan periode ulang gelombang dan arus 100 tahunan pada kedalaman 90m, 200 m dan 550m.

Pengecekan tegangan harus dilakukan dalam menganalisis kekuatan SCR untuk mengetahui apakah kekuatan SCR sudah memenuhi kriteria apa belum. Analisa Kekuatan SCR pada tugas akhir ini mengacu pada tugas akhir sebelumnya dengan yaitu analisa kekuatan *steel catenary riser* (Cesarian, 2016). Pengecekan menggunakan metode LRFD berdasarkan kriteria ULS pada DNV-OS-F201 (*Dynamic Riser*).

Tegangan yang diambil dari hasil pemodelan adalah berupa *von mises stress* merupakan resultan dari semua tegangan yang terjadi pada riser (Hibatullah, 2018). Untuk memenuhi syarat kekuatan *riser* maka *von mises stress* harus kurang dari 90% SMYS atau 405 Mpa.

Tabel 4. 7 Kriteria Kekuatan FHR SCR

| Max Von Mises stress FHR | | | | | | |
|--------------------------|---------------|-------|----------------|-------|----------------|-------|
| Diameter | Kedalaman 90m | Check | Kedalaman 200m | check | Kedalaman 550m | check |
| 16in | 800.72 mpa | fail | 362.6 mpa | ok | 261.7 mpa | ok |
| 20in | 691.23 mpa | fail | 338.78 mpa | ok | 234.8 mpa | ok |
| 24in | 575.7 mpa | fail | 296.7 mpa | ok | 228.6 mpa | ok |

Tabel 4. 8 Kriteria Kekuatan Lazy Wave SCR

| Max Von Mises stress Lazy Wave | | | | | | |
|--------------------------------|---------------|-------|----------------|-------|----------------|-------|
| Diameter | Kedalaman 90m | Check | Kedalaman 200m | check | kedalaman 550m | check |
| 16in | 764.5 mpa | fail | 336.5 mpa | ok | 247.44 mpa | ok |
| 20in | 533.82 mpa | fail | 257.6 mpa | ok | 210.97 mpa | ok |
| 24in | 466.6 mpa | fail | 208.05 mpa | ok | 191.89 mpa | ok |

Berdasarkan hasil pengecekan kekuatan *riser* dengan gaya lingkungan dapat dilihat pada Tabel 4.7 dan Tabel 4.8 bahwa *riser* pada kedalaman 200 meter dan 550 meter cukup kuat untuk menahan beban-beban yang diberikan yang ditunjukkan dengan terpenuhinya syarat kekuatan *riser*. Tetapi untuk *riser* pada kedalaman 90 meter tidak memenuhi syarat kekuatan yang sesuai dengan DNV-OS-F201 dikarenakan nilai *bending stress* yang begitu besar dan SCR memang dirancang untuk beroperasi pada kedalaman laut dalam pada kasus ini laut dangkal memiliki kedalaman kurang dari 100m. Dan untuk pengaruh dari masing – masing variasi memberikan dampak terhadap ketahanan *riser*. Semakin besar diameter *riser* akan semakin besar nilai tegangan pada *riser* tersebut. *Bouyancy modules* untuk variasi konfigurasi *lazy wave* memberikan dampak mengurangi nilai dari *max von mises stress* pada pipa *riser*. Akan tetapi pada kedalaman 90 m tetap tidak memenuhi syarat kekuatan maksimum tegangan yang terjadi pada *riser*.

Simulasi ini membuktikan bahwa *steel catenary riser* tidak mampu beroperasi pada laut dangkal atau *shallow water*. Terbukti juga bahwa *steel catenary riser* pertama yang dipasang pada tahun 1994 dilaut dengan kedalaman 872 meter (Buberg, 2014) dan *steel catenary risers* (SCRs) adalah solusi yang lebih disukai untuk *wet-tree production* pada air dalam, injeksi air/gas dan ekspor minyak/gas (Bai et al., 2004).

Berdasarkan resultan tegangan yang terjadi dapat dilihat pada tabel bahwa semakin dangkal kedalaman air laut semakin besar nilai *max von mises stress* pada *riser* tersebut. Semakin besar diameter pipa semakin kecil nilai *max von mises stress* pipa tersebut.

Dapat disimpulkan bahwa untuk kedalaman air laut dangkal atau *shallow water* (90 meter), kedalaman air laut tengah atau *intermediate water* dan kedalaman laut dalam pada konfigurasi *free hanging catenary* dan *Lazy Wave* diameter pipa yang paling kuat adalah 24in.

BAB V

KESIMPULAN DAN SARAN

5.1 Kesimpulan

Dari analisis yang telah dilakukan, dapat diambil kesimpulan yang menjawab rumusan masalah di atas. Berikut adalah kesimpulan yang dapat diambil dari penggerjaan tugas akhir ini :

- a) Gaya tarik efektif (*effective tension*), adalah gaya axial dinding pipa yang dipengaruhi oleh tekanan internal dan eksternal. *Bending moment* adalah tekukan yang terjadi karena suatu batang atau struktur elemen menerima momen atau gaya luar yang tegak lurus (bisa juga kombinasi momen dan gaya luar). Konfigurasi dari bentuk *riser* memberikan dampak terhadap besar nilai *effective tension* dan *bending moment*. Terdapat perbedaan besar kedua gaya tersebut pada masing – masing konfigurasi. Pada kedalaman air laut yang sama dan diameter pipa yang sama, konfigurasi *lazy wave* memiliki besar nilai *effective tension* dan *bending moment* yang lebih kecil dibandingkan konfigurasi *free hanging catenary*. Pada konfigurasi *lazy wave* diameter pipa 16in dengan kedalaman 200 meter yaitu masing masing sebesar 253.02 kN dan 2197.25 kN.m. Dan untuk konfigurasi *free hanging catenary* sebesar 343.71 kN dan 2353.2 kN.m. Dapat disimpulkan bahwa penambahan *boyancy modules* pada konfigurasi *lazy wave* membantu untuk mengurangi besar nilai gaya dan tegangan pada pipa tersebut.
- b) Diketahui bahwa *effective tension* terbesar terjadi pada bagian *top riser* atau *hang-off location (Flex Joint)* pada setiap variasi. Untuk *Bending moment* terbesar terjadi pada area dekat *touchdown point* atau bagian segbend. Variasi diameter pipa berpengaruh pada besar nilai *effective tension* dan *bending moment* dan tegangan von mises pada pipa tersebut. Terbukti pada studi ini dengan kedalaman dan konfigurasi yang sama menghasilkan besar gaya yang berbeda dengan diameter pipa yang berbeda. Pada konfigurasi *free hanging catenary* dengan kedalaman laut 90 meter atau *shallow water* menghasilkan *effective tension* sebesar 133.23 kN dengan diameter pipa 16in, 93.92 kN 20in, 25.6 24in dan *bending moment* sebesar 5217.8 kN.m dengan diameter pipa 16in,

3054.15 kN.m 20in dan 1559.45 kN.m 24in. Dapat disimpulkan bahwa semakin besar diameter pipa maka semakin kecil nilai *effective tension* dan nilai *bending moment* pipa tersebut.

- c) Berdasarkan hasil studi ini perbedaan kedalaman air laut juga memiliki pengaruh terhadap besar *effective tension*, *bending moment*, dan *max von mises stress* pada pipa. Dalam penentuan kedalaman air laut menggunakan diagram validitas. Dengan perbedaan kedalaman laut juga mempengaruhi panjang bentang total *riser* dari bagian *top riser* hingga *touchdown point* pada *seabed*. Untuk menentukan total panjang bentang *riser* tersebut pada studi ini menggunakan teori *catenary*. Panjang bentang *riser* yang didapatkan sebesar 117.29 meter pada kedalaman 90 meter, 260.65 meter 200 meter dan 716.77 meter untuk kedalaman 550 meter. Hasil pada studi ini menunjukkan bahwa semakin dalam kedalaman air laut semakin kecil nilai *effective tension*, *bending moment*, dan tegangan *max von mises* yang terjadi pada *riser*.
- d) Untuk bisa beroperasi *riser* harus memenuhi syarat kekuatan *riser* mengacu pada DNV-OS-F201 “*Dynamic Riser*”. Pada kasus studi ini syarat ketentuan kekuatan harus memenuhi 90 % SMYS sebesar 405 Mpa. Berdasarkan hasil perhitungan pada studi ini *steel catenary riser* tidak dapat beroperasi pada kedalaman air laut dangkal atau *shallow water* pada studi ini 90 meter dengan beban lingkungan yang sama termasuk tinggi gelombang signifikan (*Hs*), periode gelombang (*T*) dan beban arus (*Fa*) yang sama pada kedalaman *intermediate water* (200m) dan *deep water* (550m). Sedangkan untuk kedalaman air laut tengah dan dalam kekuatan *riser* memenuhi syarat untuk setiap variasi konfigurasi *riser* dan diameter pipa *riser*. Dan dapat disimpulkan bahwa penambahan *bouyancy modules* pada konfigurasi *lazy wave* berguna untuk mengurangi beban dan tegangan yang terjadi pada pipa *riser*, sehingga konfigurasi *lazy wave* lebih unggul dibandingkan dengan konfigurasi *free hanging catenary*.

5.2 Saran

Saran yang diberikan untuk penelitian lebih lanjut adalah

1. Perlu dilakukan analisis dengan penambahan beban akibat gerakan *floating structure*.
2. Perlu dilakukan analisis parameter *Vortex Induced Vibration* dan menghitung pengaruh VIV di sepanjang riser
3. Perlu dilakukan analisis sensitivitas dengan merubah parameter lain (misal : sensitivitas kekuatan *riser* terhadap perubahan *offset* dengan kondisi *near*, *mean*, dan *far*).
4. Perlu dilakukan analisis umur fatigue pada masing – masing variasi *riser*.

(Halaman ini sengaja dikosongkan)

DAFTAR PUSTAKA

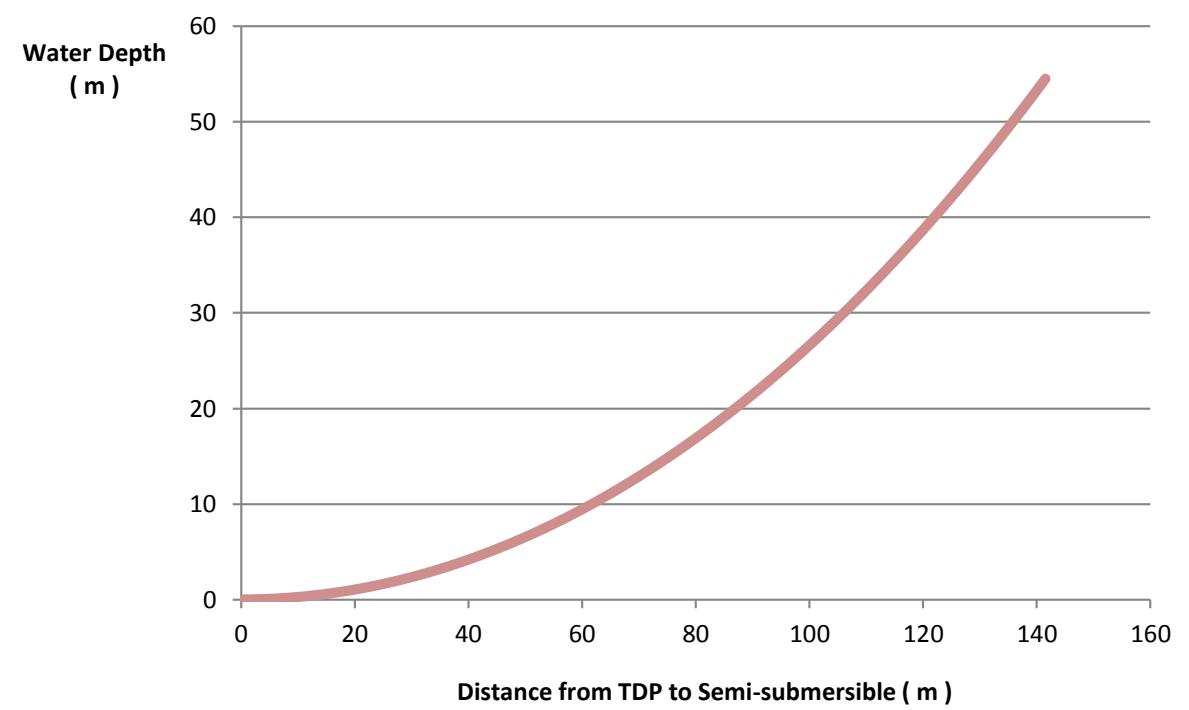
- Agusta,Arifian.2012. “Analisis Ketebalan dan Konfigurasi Steel Catenary Riser di Laut Dalam”.Bandung : Fakultas Teknik Sipil dan Lingkungan
- Agusta,Arifian.2014. “Structural Design of Steel Catenary Riser with the Environmental Contour Line Method for Operation in Indonesian Water”.Trondheim : Norwegian University of Science and Technology.
- API Recommended Practice 2rd Edition (1998): Design of Risers for Floating Production Systems (FPSs) and Tension-Leg Platforms (TLPs).USA : American Petroleum Institute
- Bai, Y. dan Bai, Q. 2014. *Subsea Pipeline Design, Analysis, and Installation*. Houston : Elsevier.
- Buberg,Thomas. 2014. “Design and Analysis of Steel Catenary Riser Systems for Deep Waters” .Trondheim : Norwegian University of Science and Technology.
- Cesarian, R. 2016. “Analisis Kekuatan dan Sensitivitas Steel Catenary Riser Akibat Pergerakan Semi-Submmesible”. Surabaya : Fakultas Teknologi Kelautan.
- Det Norske Veritas (DNV), “Offshore Standard DNV-OS-F201:Dynamic Risers”, Hovik, 2010.
- Gilang, Muhammad. 2012. “Analisis Riser Interference Konfigurasi Steel Catenary Riser pada Laut Dalam”.Bandung : Fakultas Teknik Sipil dan Lingkungan
- Hibatullah,M.2018. “Analisis Kelelahan Struktur Steel Catenary Riser Akibat Vortex Induced Vibration dan Pergerakan Semi-Submersible”.Surabaya : Fakultas Teknologi Kelautan.
- Howells,Hugh.1995.”Advances in Steel Catenary Riser Design”.Aberdeen : 2H Offshore Engineering Limited.
- Keprate,Arvind.2014.”Appraisal of Riser Concept for FPSO in Deepwater”.Stavanger : University of Stavanger.
- Lee, Jaeyoung. 2007. “Introduction to Offshore Pipeline and Risers”. Houston: Technip USA.

LAMPIRAN A
ANALISA KONFIGURASI STATIS

Riser Data

| | | | |
|------------------|----------|--------|--------|
| Water Depth | z | 550 | m |
| Outside Diameter | D | 406.4 | mm |
| Wall Thickness | t | 25.4 | mm |
| Weight Submerged | Ws | 927.34 | N/m |
| Elasticity | E | 207000 | mpa |
| Hang-off Point | Θ | 15 | degree |

Konfigurasi Steel Catenary Riser



Top Tension

$$T = T_H + W_s Y = T \sin\alpha + W_s Y = \frac{W_s Y}{1 - \sin\alpha}$$

$$\begin{aligned} T &= 688141 \text{ N} \\ &= 688.141 \text{ kN} \end{aligned}$$

Riser Free Span Length to Touchdown

$$S = Y \sqrt{1 + 2 \frac{a}{Y}}$$

$$S = 716.7739551 \text{ m}$$

Bottom Tension

$$T_H = T \sin\alpha$$

$$\begin{aligned} T_H &= 178104 \text{ N} \\ &= 178.104 \text{ kN} \end{aligned}$$

Catenary Constant

$$a = \frac{T_H}{W_s}$$

$$a = 192.059$$

Horizontal Distance to Touchdown

$$X = a * \sinh^{-1}\left(\frac{S}{a}\right)$$

$$X = 389.4168017 \text{ m}$$

Plot Konfigurasi

| z | x |
|------------|----------|
| 0.00065084 | 0.5 |
| 0.00260337 | 1 |
| 0.0058576 | 1.5 |
| 0.01041356 | 2 |
| 0.01627127 | 2.5 |
| 0.02343078 | 3 |
| 0.03189212 | 3.5 |
| 0.04165537 | 4 |
| 0.05272059 | 4.5 |
| 0.06508784 | 5 |
| 0.07875722 | 5.5 |
| 0.09372882 | 6 |
| 0.11000274 | 6.5 |
| 0.12757909 | 7 |
| 0.14645798 | 7.5 |
| 0.16663956 | 8 |
| 0.18812394 | 8.5 |
| 0.21091129 | 9 |
| 0.23500175 | 9.5 |

| | |
|------------|------|
| 0.26039548 | 10 |
| 0.28709267 | 10.5 |
| 0.31509348 | 11 |
| 0.34439812 | 11.5 |
| 0.37500677 | 12 |
| 0.40691965 | 12.5 |
| 0.44013697 | 13 |
| 0.47465896 | 13.5 |
| 0.51048584 | 14 |
| 0.54761788 | 14.5 |
| 0.5860553 | 15 |
| 0.62579839 | 15.5 |
| 0.6668474 | 16 |
| 0.70920261 | 16.5 |
| 0.75286431 | 17 |
| 0.7978328 | 17.5 |
| 0.84410838 | 18 |
| 0.89169137 | 18.5 |
| 0.94058208 | 19 |
| 0.99078086 | 19.5 |
| 1.04228803 | 20 |
| 1.09510395 | 20.5 |
| 1.14922898 | 21 |
| 1.20466348 | 21.5 |
| 1.26140782 | 22 |
| 1.3194624 | 22.5 |
| 1.37882761 | 23 |
| 1.43950385 | 23.5 |
| 1.50149153 | 24 |
| 1.56479106 | 24.5 |
| 1.62940289 | 25 |
| 1.69532745 | 25.5 |
| 1.76256518 | 26 |
| 1.83111653 | 26.5 |
| 1.90098199 | 27 |
| 1.97216201 | 27.5 |
| 2.04465708 | 28 |
| 2.11846769 | 28.5 |
| 2.19359435 | 29 |
| 2.27003756 | 29.5 |
| 2.34779783 | 30 |
| 2.4268757 | 30.5 |
| 2.50727171 | 31 |

| | |
|------------|------|
| 2.58898639 | 31.5 |
| 2.6720203 | 32 |
| 2.75637401 | 32.5 |
| 2.84204808 | 33 |
| 2.9290431 | 33.5 |
| 3.01735965 | 34 |
| 3.10699834 | 34.5 |
| 3.19795977 | 35 |
| 3.29024456 | 35.5 |
| 3.38385333 | 36 |
| 3.47878672 | 36.5 |
| 3.57504537 | 37 |
| 3.67262994 | 37.5 |
| 3.77154108 | 38 |
| 3.87177946 | 38.5 |
| 3.97334577 | 39 |
| 4.0762407 | 39.5 |
| 4.18046494 | 40 |
| 4.28601919 | 40.5 |
| 4.39290418 | 41 |
| 4.50112062 | 41.5 |
| 4.61066925 | 42 |
| 4.72155082 | 42.5 |
| 4.83376607 | 43 |
| 4.94731577 | 43.5 |
| 5.06220068 | 44 |
| 5.17842158 | 44.5 |
| 5.29597926 | 45 |
| 5.41487453 | 45.5 |
| 5.53510817 | 46 |
| 5.65668102 | 46.5 |
| 5.77959388 | 47 |
| 5.90384761 | 47.5 |
| 6.02944303 | 48 |
| 6.15638099 | 48.5 |
| 6.28466237 | 49 |
| 6.41428803 | 49.5 |
| 6.54525884 | 50 |
| 6.6775757 | 50.5 |
| 6.8112395 | 51 |
| 6.94625114 | 51.5 |

| | |
|------------|------|
| 7.08261155 | 52 |
| 7.22032165 | 52.5 |
| 7.35938236 | 53 |
| 7.49979464 | 53.5 |
| 7.64155943 | 54 |
| 7.7846777 | 54.5 |
| 7.92915041 | 55 |
| 8.07497855 | 55.5 |
| 8.22216309 | 56 |
| 8.37070505 | 56.5 |
| 8.52060543 | 57 |
| 8.67186523 | 57.5 |
| 8.8244855 | 58 |
| 8.97846726 | 58.5 |
| 9.13381155 | 59 |
| 9.29051943 | 59.5 |
| 9.44859196 | 60 |
| 9.60803022 | 60.5 |
| 9.76883528 | 61 |
| 9.93100823 | 61.5 |
| 10.0945502 | 62 |
| 10.2594622 | 62.5 |
| 10.4257455 | 63 |
| 10.5934011 | 63.5 |
| 10.7624302 | 64 |
| 10.9328339 | 64.5 |
| 11.1046134 | 65 |
| 11.2777698 | 65.5 |
| 11.4523044 | 66 |
| 11.6282182 | 66.5 |
| 11.8055126 | 67 |
| 11.9841886 | 67.5 |
| 12.1642476 | 68 |
| 12.3456907 | 68.5 |
| 12.5285191 | 69 |
| 12.7127342 | 69.5 |
| 12.898337 | 70 |
| 13.085329 | 70.5 |
| 13.2737114 | 71 |
| 13.4634854 | 71.5 |
| 13.6546523 | 72 |

| | |
|------------|------|
| 13.8472135 | 72.5 |
| 14.0411702 | 73 |
| 14.2365237 | 73.5 |
| 14.4332755 | 74 |
| 14.6314267 | 74.5 |
| 14.8309788 | 75 |
| 15.0319331 | 75.5 |
| 15.2342909 | 76 |
| 15.4380537 | 76.5 |
| 15.6432228 | 77 |
| 15.8497996 | 77.5 |
| 16.0577855 | 78 |
| 16.2671819 | 78.5 |
| 16.4779902 | 79 |
| 16.690212 | 79.5 |
| 16.9038485 | 80 |
| 17.1189012 | 80.5 |
| 17.3353717 | 81 |
| 17.5532614 | 81.5 |
| 17.7725717 | 82 |
| 17.9933041 | 82.5 |
| 18.2154602 | 83 |
| 18.4390414 | 83.5 |
| 18.6640493 | 84 |
| 18.8904854 | 84.5 |
| 19.1183511 | 85 |
| 19.3476482 | 85.5 |
| 19.578378 | 86 |
| 19.8105422 | 86.5 |
| 20.0441424 | 87 |
| 20.2791801 | 87.5 |
| 20.5156569 | 88 |
| 20.7535745 | 88.5 |
| 20.9929344 | 89 |
| 21.2337382 | 89.5 |
| 21.4759877 | 90 |
| 21.7196844 | 90.5 |
| 21.96483 | 91 |
| 22.2114261 | 91.5 |
| 22.4594745 | 92 |
| 22.7089767 | 92.5 |

| | |
|------------|-------|
| 22.9599346 | 93 |
| 23.2123497 | 93.5 |
| 23.4662239 | 94 |
| 23.7215588 | 94.5 |
| 23.9783561 | 95 |
| 24.2366177 | 95.5 |
| 24.4963452 | 96 |
| 24.7575404 | 96.5 |
| 25.0202051 | 97 |
| 25.284341 | 97.5 |
| 25.54995 | 98 |
| 25.8170338 | 98.5 |
| 26.0855943 | 99 |
| 26.3556333 | 99.5 |
| 26.6271526 | 100 |
| 26.900154 | 100.5 |
| 27.1746394 | 101 |
| 27.4506107 | 101.5 |
| 27.7280698 | 102 |
| 28.0070184 | 102.5 |
| 28.2874585 | 103 |
| 28.5693921 | 103.5 |
| 28.852821 | 104 |
| 29.137747 | 104.5 |
| 29.4241723 | 105 |
| 29.7120987 | 105.5 |
| 30.0015281 | 106 |
| 30.2924625 | 106.5 |
| 30.584904 | 107 |
| 30.8788544 | 107.5 |
| 31.1743158 | 108 |
| 31.4712901 | 108.5 |
| 31.7697794 | 109 |
| 32.0697858 | 109.5 |
| 32.3713111 | 110 |
| 32.6743576 | 110.5 |
| 32.9789272 | 111 |
| 33.285022 | 111.5 |
| 33.592644 | 112 |
| 33.9017954 | 112.5 |
| 34.2124783 | 113 |

| | |
|------------|-------|
| 34.5246947 | 113.5 |
| 34.8384468 | 114 |
| 35.1537368 | 114.5 |
| 35.4705666 | 115 |
| 35.7889385 | 115.5 |
| 36.1088547 | 116 |
| 36.4303173 | 116.5 |
| 36.7533285 | 117 |
| 37.0778905 | 117.5 |
| 37.4040054 | 118 |
| 37.7316755 | 118.5 |
| 38.0609031 | 119 |
| 38.3916903 | 119.5 |
| 38.7240394 | 120 |
| 39.0579526 | 120.5 |
| 39.3934322 | 121 |
| 39.7304805 | 121.5 |
| 40.0690997 | 122 |
| 40.4092922 | 122.5 |
| 40.7510603 | 123 |
| 41.0944062 | 123.5 |
| 41.4393323 | 124 |
| 41.785841 | 124.5 |
| 42.1339346 | 125 |
| 42.4836154 | 125.5 |
| 42.8348858 | 126 |
| 43.1877482 | 126.5 |
| 43.542205 | 127 |
| 43.8982586 | 127.5 |
| 44.2559115 | 128 |
| 44.6151659 | 128.5 |
| 44.9760244 | 129 |
| 45.3384894 | 129.5 |
| 45.7025634 | 130 |
| 46.0682488 | 130.5 |
| 46.4355482 | 131 |
| 46.8044639 | 131.5 |
| 47.1749985 | 132 |
| 47.5471546 | 132.5 |
| 47.9209346 | 133 |
| 48.296341 | 133.5 |

| | |
|------------|-------|
| 48.6733765 | 134 |
| 49.0520435 | 134.5 |
| 49.4323447 | 135 |
| 49.8142826 | 135.5 |
| 50.1978598 | 136 |
| 50.5830788 | 136.5 |
| 50.9699424 | 137 |
| 51.3584532 | 137.5 |
| 51.7486137 | 138 |
| 52.1404266 | 138.5 |
| 52.5338946 | 139 |
| 52.9290203 | 139.5 |
| 53.3258064 | 140 |
| 53.7242556 | 140.5 |
| 54.1243706 | 141 |
| 54.5261542 | 141.5 |

LAMPIRAN B
INPUT ORCAFLEX

```
OrcaFlex 9.2a: riser 16 90 8000 lazy wave.sim (modified 20:21 on 20/06/2019 by  
OrcaFlex 9.2a)
```

_____ General Data _____

Comments:

Units:

| | | | | | | |
|-------------------------------|--------|------|-------|------|-------------|---|
| System (m/s ²) | Length | Mass | Force | Time | Temperature | g |
| SI | m | te | kN | s | °C | |
| 9,80665 | | | | | | |

Statics

Statics Method Whole System statics

Buoy degrees of freedom included in Static Analysis:

Individually Specified

Starting Velocity:

| | |
|-------------|-----------------|
| Speed (m/s) | Direction (deg) |
| 0,00 | 0,00 |

Statics Convergence Parameters:

| | | | | | |
|------------|-----|-----------|-----|---------|--------|
| Iterations | Max | Tolerance | Min | Damping | Max |
| | 400 | 1,0E-6 | | 1,000 | 10,000 |

Dynamics

| | | | |
|----------------------|----------------------------------|----------------------------------|-----------|
| Stages: | 2 | Logging: | |
| Target Sample Number | Stage Duration Actual Sample (s) | Simulation Time at stage end (s) | Precision |
| Interval (s) | Interval (s) | | |
| 0,1000 | 0 50,000 | 0,000 | Single |
| | 1 0,1000 | 16,000 | |
| | 2 16,000 | 8000,000 | |
| | | 8016,000 | |

Integration & Time Steps

Integration Method Implicit

Use variable time step: No

Parameters:

| | | |
|---------------|------------------------------|-----------|
| Time step (s) | Maximum number of iterations | Tolerance |
| 0,1000 | 100 | 25E-6 |

_____ Environment Data _____

Sea

Surface Z (m):

0,000

Kinematic Viscosity (m^2/s):

3.5% Salinity

Temperature ($^{\circ}C$):

10,000

Reynolds Number Calculation: Flow Direction

Sea Density

Horizontal Density Variation

Horizontal Water Density Factor:

~

Vertical Density Variation

Vertical Density Variation:

Water Density:

Constant

Density

(te/ m^3)

1,025

Seabed

Shape:

Seabed Origin (m)

| Direction Type (deg) | Slope (deg) | X | Y | Z | Depth |
|----------------------------|----------------|------|------|--------|-------|
| Flat 0,00 | 0,000 | 0,00 | 0,00 | -90,00 | 90,00 |

Stiffness & Damping:

Stiffness ($kN/m/m^2$) Damping

Normal Shear (% Critical)

100,000 ~ 0,000

Current

Multiple sets of current data can be defined: No

Ramp during build-up: No

Horizontal Current Variation

Horizontal Variation Factor:

~

Vertical Current Variation

Current Method:

Power Law

Current Data:

Current Speeds (m/s) Direction
Surface Seabed (deg)

Exponent

1,000 0,800 180,000 7,000

Wind

Include wind loads on:

Vertical Wind Variation

Vessels: Yes

Vertical Variation Factor:

Lines: Yes

~

6D Buoy Wings: Yes

Air Density (te/m^3):
0,0013

Air Kinematic Viscosity (m^2/s):
15E-6

Wind Type:
Constant

Wind Data:

| Speed (m/s) | Direction (deg) |
|----------------|--------------------|
| 0,000 | 0,000 |

Waves

Simulation Time Origin (s):

0,000

Kinematic Stretching Method:

Vertical Stretching

User specified seeds: No

Data for Wave Train: Wave1

| Wave | Direction (deg) | Hs (m) | Tz (s) | Wave Origin | Number of wave directions | Time Origin |
|------------------|--------------------|-----------|-----------|---------------|------------------------------|-------------|
| Wave Type (s) | 90,00 | 5,30 | 11,10 | X (m) 0,00 | Y (m) 0,00 | |
| JONSWAP | 0,000 | | | | | 1 |

Automatic

Spectral Parameters:
Components:

| Tp (s) | g | a | s1 | s2 | fm (Hz) |
|-----------|--------|--------|----------------|-----------------|------------|
| 15,6869 | 0,9389 | 0,0024 | Seed 0,0700 | Number 12345 | 0,0637 |
| | | | 0,0900 | 100 | |

_____ Variable Data _____

Data for 3.5% Salinity

55

Number of rows:

Temperature (°C)

Kinematic Viscosity (m^2/s)

| | |
|--------|----------|
| 0,000 | 1,828E-6 |
| 0,556 | 1,795E-6 |
| 1,111 | 1,763E-6 |
| 1,667 | 1,731E-6 |
| 2,222 | 1,701E-6 |
| 2,778 | 1,671E-6 |
| 3,333 | 1,643E-6 |
| 3,889 | 1,615E-6 |
| 4,444 | 1,588E-6 |
| 5,000 | 1,561E-6 |
| 5,556 | 1,536E-6 |
| 6,111 | 1,511E-6 |
| 6,667 | 1,487E-6 |
| 7,222 | 1,463E-6 |
| 7,778 | 1,440E-6 |
| 8,333 | 1,418E-6 |
| 8,889 | 1,396E-6 |
| 9,444 | 1,375E-6 |
| 10,000 | 1,354E-6 |
| 10,556 | 1,334E-6 |
| 11,111 | 1,314E-6 |
| 11,667 | 1,295E-6 |
| 12,222 | 1,276E-6 |
| 12,778 | 1,257E-6 |
| 13,333 | 1,240E-6 |
| 13,889 | 1,222E-6 |
| 14,444 | 1,205E-6 |
| 15,000 | 1,188E-6 |
| 15,556 | 1,172E-6 |
| 16,111 | 1,156E-6 |
| 16,667 | 1,140E-6 |
| 17,222 | 1,125E-6 |
| 17,778 | 1,110E-6 |
| 18,333 | 1,096E-6 |
| 18,889 | 1,081E-6 |
| 19,444 | 1,067E-6 |
| 20,000 | 1,054E-6 |
| 20,556 | 1,040E-6 |
| 21,111 | 1,027E-6 |
| 21,667 | 1,014E-6 |
| 22,222 | 1,002E-6 |
| 22,778 | 989E-9 |
| 23,333 | 977E-9 |
| 23,889 | 965E-9 |
| 24,444 | 954E-9 |
| 25,000 | 943E-9 |
| 25,556 | 931E-9 |
| 26,111 | 920E-9 |
| 26,667 | 910E-9 |
| 27,222 | 899E-9 |
| 27,778 | 889E-9 |
| 28,333 | 879E-9 |
| 28,889 | 869E-9 |
| 29,444 | 859E-9 |
| 30,000 | 849E-9 |

Data for Freshwater

55

Number of rows:

| Temperature (°C) | Kinematic Viscosity (m^2/s) |
|------------------|-----------------------------|
| 0,000 | 1,787E-6 |
| 0,556 | 1,753E-6 |
| 1,111 | 1,721E-6 |
| 1,667 | 1,689E-6 |
| 2,222 | 1,658E-6 |
| 2,778 | 1,628E-6 |
| 3,333 | 1,599E-6 |
| 3,889 | 1,571E-6 |
| 4,444 | 1,544E-6 |
| 5,000 | 1,517E-6 |
| 5,556 | 1,491E-6 |
| 6,111 | 1,466E-6 |
| 6,667 | 1,441E-6 |

| | |
|--------|----------|
| 7,222 | 1,417E-6 |
| 7,778 | 1,394E-6 |
| 8,333 | 1,371E-6 |
| 8,889 | 1,349E-6 |
| 9,444 | 1,327E-6 |
| 10,000 | 1,306E-6 |
| 10,556 | 1,286E-6 |
| 11,111 | 1,266E-6 |
| 11,667 | 1,246E-6 |
| 12,222 | 1,227E-6 |
| 12,778 | 1,209E-6 |
| 13,333 | 1,191E-6 |
| 13,889 | 1,173E-6 |
| 14,444 | 1,156E-6 |
| 15,000 | 1,139E-6 |
| 15,556 | 1,123E-6 |
| 16,111 | 1,106E-6 |
| 16,667 | 1,091E-6 |
| 17,222 | 1,075E-6 |
| 17,778 | 1,060E-6 |
| 18,333 | 1,046E-6 |
| 18,889 | 1,032E-6 |
| 19,444 | 1,017E-6 |
| 20,000 | 1,004E-6 |
| 20,556 | 990E-9 |
| 21,111 | 977E-9 |
| 21,667 | 964E-9 |
| 22,222 | 952E-9 |
| 22,778 | 940E-9 |
| 23,333 | 928E-9 |
| 23,889 | 916E-9 |
| 24,444 | 904E-9 |
| 25,000 | 893E-9 |
| 25,556 | 882E-9 |
| 26,111 | 871E-9 |
| 26,667 | 860E-9 |
| 27,222 | 850E-9 |
| 27,778 | 840E-9 |
| 28,333 | 830E-9 |
| 28,889 | 820E-9 |
| 29,444 | 810E-9 |
| 30,000 | 801E-9 |

_____ Solid Friction Coefficients _____

_____ Line Types _____

View Mode All

Category

| Name | Category |
|------------------|------------------|
| 1 diameter 16 in | Homogeneous Pipe |

Geometry & Mass

| Diameters Material | Mass per | | CG Offset | Bulk | |
|---------------------------|--------------|--------------|-------------------|-------------------|------------------|
| | x | y | | Modulus | Outer Density |
| Inner Length (m) | | | | | |
| 1 diameter 16 in 0,356 | (m) 0,000 | (m) 0,000 | (kPa) Infinity | (te/m^3) 0,406 | (te/m) 7,850 |

0,239

Limits

| Maximum | Minimum | Compression |
|---------------|-------------------------------|-------------|
| Tension | Bend Radii (m) | is limited |
| (kN) x ~ ~ | Name 1 diameter 16 in ~ | y ~ |

Structure

| Bending | Axial | Young's Modulus | Torsional |
|---------------------------------|-------------------------------------|------------------------------|---|
| Stiffness (kN.m^2) Stiffness | Stiffness | Poisson | |
| y ~ | Name 1 diameter 16 in 6,445E6 | (kPa) x 212,00E6 0,293 | Ratio (kN.m^2) 117,471E3 90,851E3 |

Drag, Lift & Added Mass

| Lift | Drag / Lift Diameters | Added Mass Coefficients | Drag Coefficients |
|----------------------------|---|-------------------------|---------------------------|
| Axial Coefficient Axial | Normal | Axial | Normal |
| z 0,0080 0,000 0,000 | Name 1 diameter 16 in (m) 1,200 ~ | x ~ | y ~ z 1,000 ~ |

Contact

| Clashing | Contact | Line |
|--------------------|--------------------------|-----------|
| Damping | Diameter | Stiffness |
| kN/ (m/s) 0,000 | Name 1 diameter 16 in | (m) ~ |

Stress

| Allowable | Stress | Diameters (m) | |
|-----------|---|---------------|-------|
| Stress | Stress Loading Factors | Outer | Inner |
| (kPa) | Name Tensile Bending Shear 1 diameter 16 in | ~ | ~ |

~ 1,000 1,000 1,000 1,000

Friction

| Name | Seabed Friction Coefficients | Axial |
|------------------|------------------------------|-------|
| 1 diameter 16 in | Normal 0,500 | ~ |

Structural Damping

| Name | Rayleigh damping coefficients |
|------------------|-------------------------------|
| 1 diameter 16 in | (no damping) |

Line

Name:
Include Torsion: Top End:
riser scr
No End A

Connection:

| Connect to | | Height above | End Orientation (deg) | Object |
|-----------------------|------------|--------------|-----------------------|-------------|
| Relative Position (m) | Release at | | | |
| y Stage | End Object | x | | |
| 30,000 ~ | A Fixed | seabed (m) | Azimuth | Declination |
| 0,000 | 0,000 | 0,00 | 165,00 | 0,00 |
| | B Anchored | -0,203 | 0,00 | 0,00 |
| | -100,00 ~ | 0,000 | 0,00 | 0,00 |

Connection Stiffness:

Statics:

| Included As Laid | Statics Step 1 | Methods | Stiffness (kN.m/deg) | Include Seabed | Lay Azimuth |
|------------------|----------------|--------------|----------------------|----------------|-------------|
| | Tension (kN) | x bending | y bending | Twisting | |
| | A 18,75 | Step 1 | Step 2 | Friction | (deg) |
| yes | Catenary | Full Statics | yes | ~ | 0,00 set |
| 0,000 | 0,00 | ~ | | | ~ |

Structure

2 Sections: Line Total length = 177,290m

| Expansion Cumulative Values | No. Type | Segments | Check | Length (m) | Length (m) Factor | Section Clash |
|-----------------------------|------------------|----------|-------|------------|-------------------|---------------|
| Length (m) | 1 diameter 16 in | 20 | no | 117,290 | 117,290 ~ | Segments |
| 6,000 | | | | | | 20 |

| | | | | | |
|-------|------------------------|----|---------|----|----------|
| 1,000 | 2 diameter 16 in 60 | no | 177,290 | 80 | 60,000 ~ |
|-------|------------------------|----|---------|----|----------|

Pre-bend

Sections:

| | Line | Cumulative Values | Section |
|----------------------------|------------------|-------------------|------------|
| Pre-bent Curvature (rad/m) | No. | Length (m) | Length (m) |
| x | y | Segments | |
| | 1 diameter 16 in | | 117,290 |
| 0,00000 | 0,00000 | 117,290 | |
| | 2 diameter 16 in | | 60,000 |
| 0,00000 | 0,00000 | 177,290 | 80 |

Attachments

0

Attachments:

Contents

Contents:

| Density (te/m^3) | Reference Z level (m) | Pressure at Reference Z level (kPa) | Flow Rate (te/s) |
|---------------------|--------------------------|--|---------------------|
| 0,000 | ~ | 0,00 | 0,00 |

Catenary Convergence

Parameters:

| BackTrack | Max Mag. of Iterations | Mag. of Delta | Min | Shooting Factor |
|-----------|------------------------|---------------|---------|-----------------|
| Factor | Std. Error | Std. Change | Damping | |
| 2,000 | 100 | -5,0E-9 | 50E-9 | 1,000 |
| | 0,200 | | 0,600 | 1,500 |

Full Statics Convergence

Convergence Control Method: Line Search

Parameters:

| Max Iterations | Delta | Tolerance | Min Damping | Max Damping |
|----------------|-------|-----------|-------------|-------------|
| 400 | | 1,00E-6 | 1,000 | 10,000 |

Drag & Wake

Drag Formulation:

Standard

Wake Interference:

| Clash | Section | Line | Section |
|-------|---------|------|-------------------|
| | React | Wake | Cumulative Values |
| | number | Type | Length (m) |

| Check Segments | to wake | Generated | Length (m) |
|----------------|---------|--------------------------|------------|
| no 20 | no | 1 diameter 16 in None | 117,290 |
| no 80 | no | 2 diameter 16 in None | 177,290 |
| | | | 60,000 |

VIV

| Statics VIV: | Dynamics VIV: |
|--------------|---------------|
| None | None |

Results

Log Results: Yes

Range graphs:

Arc length axis: Horizontal Arc length axis inverted: No

Value axis inverted: No

LAMPIRAN C
**OUTPUT MAX VON MISES (1 VARIASI KEDALAMAN
DENGAN KONFIGURASI FREE HANGING CATENARY)**

OrcaFlex 9.2a: riser 24 200 8000.sim (modified 0:06 on 23/03/2019 by OrcaFlex 9.2a)

Column A: Arc Length (m)

Other columns: riser scr Max von Mises Stress (kPa)

Period: t = -50,000 to 8016,000s

| Arc Length (m) | Minimum | Maximum | Mean | Std. Dev. | Allowable Stress |
|----------------|-------------|-------------|-------------|-------------|------------------|
| 0 | 195450.1977 | 213470.8493 | 202436.071 | 2340.799769 | ~ |
| 3.030232558 | 176129.388 | 184667.5751 | 179956.7144 | 1080.03748 | ~ |
| 9.090697674 | 127149.164 | 157118.4325 | 142769.0447 | 3282.396329 | ~ |
| 15.15116279 | 92210.18205 | 141663.1361 | 118178.9306 | 5480.529237 | ~ |
| 21.21162791 | 71671.16508 | 131014.4395 | 102659.3591 | 6880.674168 | ~ |
| 27.27209302 | 61340.9292 | 124363.99 | 93523.67756 | 7584.782483 | ~ |
| 33.33255814 | 57779.80133 | 119829.8975 | 88721.36623 | 7751.689462 | ~ |
| 39.39302326 | 58192.33775 | 116764.0475 | 86756.62971 | 7565.750953 | ~ |
| 45.45348837 | 60705.26984 | 114861.4182 | 86617.15723 | 7186.628911 | ~ |
| 51.51395349 | 63920.12624 | 113945.3594 | 87665.08474 | 6725.559768 | ~ |
| 57.5744186 | 67852.9247 | 113859.5679 | 89518.03687 | 6250.024564 | ~ |
| 63.63488372 | 72219.4317 | 114539.8265 | 91953.12555 | 5797.160261 | ~ |
| 69.69534884 | 76860.41027 | 115911.2977 | 94842.34049 | 5385.017094 | ~ |
| 75.75581395 | 81686.86861 | 117842.2746 | 98113.14869 | 5019.784284 | ~ |
| 81.81627907 | 86669.73864 | 120328.6854 | 101725.5605 | 4700.135703 | ~ |
| 87.87674419 | 91138.3106 | 123303.8232 | 105658.9604 | 4420.023144 | ~ |
| 93.9372093 | 95772.59983 | 126634.436 | 109904.4732 | 4170.722145 | ~ |
| 99.99767442 | 100732.9647 | 130309.7288 | 114460.4053 | 3942.478466 | ~ |
| 106.0581395 | 106028.9476 | 134300.3193 | 119329.3841 | 3725.843769 | ~ |
| 112.1186047 | 111734.5736 | 138595.8302 | 124516.4336 | 3512.707239 | ~ |
| 118.1790698 | 117834.5843 | 143142.2139 | 130027.5555 | 3297.056515 | ~ |
| 124.2395349 | 124321.4427 | 147964.5276 | 135868.5756 | 3075.553 | ~ |
| 130.3 | 131231.8761 | 153100.0659 | 142044.1143 | 2848.052508 | ~ |
| 136.3604651 | 138548.59 | 158570.2182 | 148556.5967 | 2618.214779 | ~ |
| 142.4209302 | 146221.693 | 164556.8199 | 155405.2514 | 2394.314884 | ~ |
| 148.4813953 | 154264.1604 | 171323.6043 | 162585.0675 | 2190.186437 | ~ |
| 154.5418605 | 162487.1415 | 178528.6393 | 170085.6957 | 2025.640846 | ~ |
| 160.6023256 | 170712.4737 | 186050.8301 | 177890.2838 | 1924.522391 | ~ |
| 166.6627907 | 179041.3145 | 193846.2457 | 185974.2518 | 1908.009457 | ~ |
| 172.7232558 | 187350.3802 | 201898.097 | 194304.0148 | 1984.62273 | ~ |
| 178.7837209 | 195565.6231 | 210375.2695 | 202835.668 | 2145.214223 | ~ |
| 184.844186 | 203197.3835 | 219744.278 | 211513.6544 | 2368.072413 | ~ |
| 190.9046512 | 210749.3544 | 229168.4316 | 220269.4372 | 2627.90172 | ~ |
| 196.9651163 | 218366.1633 | 238760.3292 | 229020.1994 | 2901.411488 | ~ |
| 203.0255814 | 226012.1805 | 248337.0787 | 237667.5893 | 3168.874122 | ~ |
| 209.0860465 | 233595.1533 | 257548.0527 | 246096.525 | 3413.828033 | ~ |
| 215.1465116 | 240997.102 | 266233.4179 | 254174.0538 | 3622.405233 | ~ |
| 221.2069767 | 248092.0217 | 274214.9923 | 261748.2462 | 3782.793023 | ~ |
| 227.2674419 | 254732.4594 | 281298.6719 | 268647.0732 | 3884.896006 | ~ |
| 233.327907 | 260741.8739 | 287271.5564 | 274677.1781 | 3920.14166 | ~ |
| 239.3883721 | 265919.8269 | 291901.3382 | 279622.4121 | 3881.359446 | ~ |
| 245.4488372 | 269814.1214 | 295015.2375 | 283241.9409 | 3762.680424 | ~ |
| 251.5093023 | 272358.456 | 296733.3624 | 285267.6719 | 3559.429593 | ~ |
| 257.5697674 | 273360.4269 | 296204.9004 | 285400.6815 | 3268.01954 | ~ |
| 261.1 | 273358.3212 | 295063.8964 | 284770.7403 | 3069.280757 | ~ |

| | | | | | |
|-------|-------------|-------------|-------------|-------------|---|
| 262.1 | 273166.5342 | 294474.687 | 284365.081 | 3003.7841 | ~ |
| 263.1 | 272917.5938 | 293808.0953 | 283891.3246 | 2935.783281 | ~ |
| 264.1 | 272608.5111 | 293060.4337 | 283347.7053 | 2865.277021 | ~ |
| 265.1 | 272238.3055 | 292232.218 | 282732.424 | 2792.258354 | ~ |
| 266.1 | 271803.7107 | 291318.3659 | 282043.6398 | 2716.731644 | ~ |
| 267.1 | 271304.1278 | 290317.7623 | 281279.4725 | 2638.704264 | ~ |
| 268.1 | 270740.5447 | 289229.0322 | 280438.002 | 2558.184941 | ~ |
| 269.1 | 270105.5182 | 288049.6648 | 279517.265 | 2475.182673 | ~ |
| 270.1 | 269401.4245 | 286778.1509 | 278515.2524 | 2389.711362 | ~ |
| 271.1 | 268625.5132 | 285411.2106 | 277429.9118 | 2301.804822 | ~ |
| 272.1 | 267774.4846 | 283947.4164 | 276259.142 | 2211.493645 | ~ |
| 273.1 | 266848.1073 | 282385.0911 | 275000.794 | 2118.819479 | ~ |
| 274.1 | 265841.076 | 280720.8282 | 273652.67 | 2023.846224 | ~ |
| 275.1 | 264754.1279 | 278953.2969 | 272212.5131 | 1926.651853 | ~ |
| 276.1 | 263582.7179 | 277080.5647 | 270678.0212 | 1827.346412 | ~ |
| 277.1 | 262327.0181 | 275100.6692 | 269046.8336 | 1726.072575 | ~ |
| 278.1 | 260984.0785 | 273007.3969 | 267316.5263 | 1623.024343 | ~ |
| 279.1 | 259551.4541 | 270801.88 | 265484.6243 | 1518.467552 | ~ |
| 280.1 | 258026.7082 | 268480.9142 | 263548.5884 | 1412.766385 | ~ |
| 281.1 | 256406.6343 | 266039.334 | 261505.8143 | 1306.436251 | ~ |
| 282.1 | 254688.6652 | 263478.1922 | 259353.6333 | 1200.203823 | ~ |
| 283.1 | 252872.0633 | 260793.1918 | 257089.3129 | 1095.11843 | ~ |
| 284.1 | 250951.7465 | 258047.4357 | 254710.0513 | 992.7257318 | ~ |
| 285.1 | 248802.8634 | 255369.0279 | 252212.9741 | 895.3174711 | ~ |
| 286.1 | 246515.5773 | 252562.6243 | 249595.1402 | 806.2810641 | ~ |
| 287.1 | 244110.9978 | 249631.6075 | 246853.5326 | 730.5185833 | ~ |
| 288.1 | 241290.4378 | 246565.5722 | 243985.0615 | 674.597926 | ~ |
| 289.1 | 238219.8449 | 243488.0512 | 240986.5658 | 645.968632 | ~ |
| 290.1 | 235015.2616 | 240417.5296 | 237854.8069 | 650.6046607 | ~ |
| 291.1 | 231665.0638 | 237289.3147 | 234586.4743 | 690.1527991 | ~ |
| 292.1 | 228177.1194 | 234094.8396 | 231178.1841 | 761.3803705 | ~ |
| 293.1 | 224321.6136 | 230757.4356 | 227626.4818 | 858.4682676 | ~ |
| 294.1 | 220215.3606 | 227274.2383 | 223927.8467 | 975.6051733 | ~ |
| 295.1 | 215901.6041 | 223694.1319 | 220078.6927 | 1108.19164 | ~ |
| 296.1 | 211372.9098 | 220245.9211 | 216075.3786 | 1252.949321 | ~ |
| 297.1 | 206652.9262 | 216659.2189 | 211914.2139 | 1407.644515 | ~ |
| 298.1 | 201759.1884 | 212934.6058 | 207591.472 | 1570.770744 | ~ |
| 299.1 | 196687.9241 | 209066.9601 | 203103.4054 | 1741.310095 | ~ |
| 300.1 | 191436.1673 | 205049.2316 | 198446.2638 | 1918.570814 | ~ |
| 301.1 | 185998.9632 | 200880.2028 | 193616.3223 | 2102.078594 | ~ |
| 302.1 | 180372.8803 | 196551.0698 | 188609.9154 | 2291.504991 | ~ |
| 303.1 | 174553.9979 | 192061.6315 | 183423.4819 | 2486.617037 | ~ |
| 304.1 | 168539.1579 | 187405.5978 | 178053.623 | 2687.239863 | ~ |
| 305.1 | 162323.7141 | 182582.2059 | 172497.1829 | 2893.233086 | ~ |
| 306.1 | 155905.6676 | 177586.6634 | 166751.3508 | 3104.461839 | ~ |
| 307.1 | 149283.2397 | 172416.4254 | 160813.8013 | 3320.773204 | ~ |
| 308.1 | 142455.5567 | 167071.7765 | 154682.8826 | 3541.96555 | ~ |
| 309.1 | 135422.9273 | 161548.465 | 148357.8753 | 3767.747891 | ~ |
| 310.1 | 128187.9215 | 155846.5486 | 141839.3472 | 3997.685354 | ~ |
| 311.1 | 120755.45 | 149967.2501 | 135129.6561 | 4231.11517 | ~ |
| 312.1 | 113135.1957 | 143912.6272 | 128233.6638 | 4467.017595 | ~ |
| 313.1 | 105342.4429 | 137687.639 | 121159.7722 | 4703.81455 | ~ |

| | | | | | |
|-------|-------------|-------------|-------------|-------------|---|
| 314.1 | 97459.45146 | 131301.2921 | 113921.6728 | 4938.422922 | ~ |
| 315.1 | 89670.72483 | 124764.2427 | 106546.3705 | 5155.46857 | ~ |
| 316.1 | 82184.01675 | 118093.1859 | 99107.78788 | 5306.709037 | ~ |
| 317.1 | 75193.09987 | 111312.902 | 91759.49353 | 5338.995789 | ~ |
| 318.1 | 68885.97166 | 104459.0002 | 84707.76433 | 5236.60096 | ~ |
| 319.1 | 63432.62262 | 97621.53267 | 78154.1075 | 5008.42843 | ~ |
| 320.1 | 58953.06559 | 90969.75699 | 72262.45305 | 4668.569657 | ~ |
| 321.1 | 55507.6824 | 84689.5034 | 67157.63861 | 4234.402024 | ~ |
| 322.1 | 53090.31593 | 78933.47682 | 62922.94605 | 3728.505975 | ~ |
| 323.1 | 51622.21979 | 73819.13093 | 59591.13127 | 3179.930579 | ~ |
| 324.1 | 50961.92227 | 69425.0664 | 57138.83904 | 2622.817336 | ~ |
| 325.1 | 50779.69132 | 65787.48904 | 55488.80135 | 2092.060589 | ~ |
| 326.1 | 50893.95418 | 62898.39367 | 54521.54192 | 1617.685796 | ~ |
| 327.1 | 50835.31 | 60707.93607 | 54094.34832 | 1220.621519 | ~ |
| 328.1 | 51106.74478 | 59137.54344 | 54065.30941 | 911.5391324 | ~ |
| 329.1 | 51586.71929 | 58090.92017 | 54307.55992 | 692.0982197 | ~ |
| 330.1 | 52088.83678 | 57462.23228 | 54713.53448 | 555.0855183 | ~ |
| 331.1 | 52612.99504 | 57169.3317 | 55197.29754 | 482.8112073 | ~ |
| 332.1 | 53133.47925 | 57102.69813 | 55694.16691 | 450.5686761 | ~ |
| 333.1 | 53641.59133 | 57159.67197 | 56158.22257 | 436.5960242 | ~ |
| 334.1 | 54102.35314 | 57364.99026 | 56559.02076 | 427.9033906 | ~ |
| 335.1 | 54494.06577 | 57618.97131 | 56878.28105 | 418.8489921 | ~ |
| 336.1 | 54805.07922 | 57789.20997 | 57106.91655 | 407.7920819 | ~ |
| 337.1 | 55030.66215 | 57864.21261 | 57242.54092 | 394.768865 | ~ |
| 338.1 | 55171.11245 | 57855.70384 | 57287.46055 | 380.3176628 | ~ |
| 339.1 | 55230.16528 | 57771.75842 | 57247.1007 | 364.9856679 | ~ |
| 340.1 | 55213.72985 | 57631.40115 | 57128.79909 | 349.171591 | ~ |
| 341.1 | 55128.94295 | 57430.88279 | 56940.90063 | 333.115692 | ~ |
| 342.1 | 54983.46224 | 57169.90835 | 56692.09082 | 316.9431281 | ~ |
| 343.1 | 54784.94762 | 56857.06848 | 56390.92425 | 300.7193498 | ~ |
| 344.1 | 54540.7492 | 56501.39502 | 56045.49797 | 284.4898106 | ~ |
| 345.1 | 54257.65086 | 56110.40439 | 55663.23971 | 268.3027633 | ~ |
| 346.1 | 53941.77116 | 55688.37415 | 55250.79376 | 252.2246402 | ~ |
| 347.1 | 53598.48128 | 55241.27834 | 54813.96779 | 236.3395901 | ~ |
| 348.1 | 53232.43138 | 54774.50396 | 54357.72805 | 220.742636 | ~ |
| 349.1 | 52847.5264 | 54292.14297 | 53886.2475 | 205.5441402 | ~ |
| 350.1 | 52447.00533 | 53797.83763 | 53402.96346 | 190.8623299 | ~ |
| 351.1 | 52033.54704 | 53294.59584 | 52910.667 | 176.8062646 | ~ |
| 352.1 | 51609.26998 | 52784.83275 | 52411.61385 | 163.4655711 | ~ |
| 353.1 | 51175.90262 | 52270.43485 | 51907.64651 | 150.9254708 | ~ |
| 354.1 | 50731.44263 | 51753.60382 | 51400.2459 | 139.2805652 | ~ |
| 355.1 | 50276.66708 | 51235.44691 | 50890.54084 | 128.611303 | ~ |
| 356.1 | 49816.71391 | 50716.39761 | 50379.40202 | 118.9704458 | ~ |
| 357.1 | 49352.24537 | 50197.22721 | 49867.5356 | 110.3871146 | ~ |
| 358.1 | 48883.76609 | 49678.54537 | 49355.50746 | 102.8615089 | ~ |
| 359.1 | 48411.79417 | 49160.88764 | 48843.83415 | 96.36911363 | ~ |
| 360.1 | 47936.89333 | 48644.77924 | 48333.04593 | 90.86222569 | ~ |
| 361.1 | 47449.41251 | 48130.80571 | 47823.74858 | 86.26982633 | ~ |
| 362.1 | 46959.77992 | 47619.71669 | 47316.72735 | 82.50387708 | ~ |
| 363.1 | 46471.44309 | 47112.7221 | 46813.06473 | 79.46588044 | ~ |
| 364.1 | 45986.03549 | 46611.22905 | 46314.26346 | 77.05162898 | ~ |
| 365.1 | 45505.78411 | 46117.11444 | 45822.39639 | 75.15637086 | ~ |

| | | | | | |
|-------|-------------|-------------|-------------|-------------|---|
| 366.1 | 45033.69024 | 45633.13282 | 45340.29434 | 73.68016905 | ~ |
| 367.1 | 44573.74424 | 45163.00843 | 44871.76478 | 72.53148077 | ~ |
| 368.1 | 44131.16625 | 44711.69308 | 44421.84146 | 71.62893604 | ~ |
| 369.1 | 43712.67671 | 44285.64051 | 43997.05772 | 70.90179771 | ~ |
| 370.1 | 43326.77499 | 43893.0693 | 43605.72787 | 70.28947058 | ~ |
| 371.1 | 42984.00666 | 43544.25037 | 43258.21317 | 69.74062002 | ~ |
| 372.1 | 42697.16743 | 43251.71349 | 42967.13348 | 69.21216269 | ~ |
| 373.1 | 42481.40444 | 43030.33521 | 42747.46696 | 68.66823925 | ~ |
| 374.1 | 42354.12873 | 42897.27221 | 42616.46532 | 68.07940484 | ~ |
| 375.1 | 42334.65577 | 42871.6051 | 42593.30022 | 67.4220955 | ~ |
| 376.1 | 42443.49973 | 42973.65307 | 42698.36133 | 66.67894026 | ~ |
| 377.1 | 42701.24848 | 43224.00517 | 42952.14206 | 65.83928762 | ~ |
| 378.1 | 43127.01986 | 43641.55893 | 43373.69392 | 64.89858025 | ~ |
| 379.1 | 43736.54482 | 44242.02341 | 43978.71544 | 63.85790704 | ~ |
| 380.1 | 44540.02798 | 45035.6416 | 44777.41196 | 62.72424362 | ~ |
| 381.1 | 45539.9719 | 46025.02748 | 45772.32206 | 61.51071909 | ~ |
| 382.1 | 46729.18276 | 47203.53874 | 46956.32319 | 60.23675348 | ~ |
| 383.1 | 48089.12602 | 48552.72828 | 48310.98194 | 58.92822503 | ~ |
| 384.1 | 49588.7005 | 50041.50909 | 49805.32651 | 57.61751608 | ~ |
| 385.1 | 51183.41494 | 51625.71428 | 51395.01879 | 56.34330019 | ~ |
| 386.1 | 52814.86773 | 53247.30974 | 53021.83072 | 55.15004321 | ~ |
| 387.1 | 54410.40857 | 54834.03279 | 54613.30034 | 54.08726448 | ~ |
| 388.1 | 55882.86423 | 56299.12775 | 56082.45405 | 53.2084089 | ~ |
| 389.1 | 57130.25962 | 57541.04296 | 57327.52329 | 52.56924401 | ~ |
| 390.1 | 58035.52564 | 58443.12383 | 58231.64287 | 52.22589505 | ~ |
| 391.1 | 58466.22494 | 58873.33404 | 58662.56955 | 52.23236672 | ~ |
| 392.1 | 58274.35442 | 58684.06124 | 58472.51354 | 52.63727012 | ~ |
| 393.1 | 57296.58123 | 57712.21899 | 57498.2494 | 53.47923946 | ~ |
| 394.1 | 55354.88304 | 55779.90891 | 55561.80236 | 54.780082 | ~ |
| 395.1 | 52258.43853 | 52696.2417 | 52472.31844 | 56.53297998 | ~ |
| 396.1 | 47808.28188 | 48261.7824 | 48030.59856 | 58.67803202 | ~ |
| 397.1 | 41809.11545 | 42279.87112 | 42040.66651 | 61.03785096 | ~ |
| 398.1 | 34104.96439 | 34590.91541 | 34344.55373 | 63.09273638 | ~ |
| 399.1 | 24723.06325 | 25206.72237 | 24961.81613 | 62.85129461 | ~ |
| 400.1 | 17181.5133 | 17470.2666 | 17322.75181 | 37.51109057 | ~ |
| 400.6 | 15214.545 | 15315.02398 | 15261.69008 | 13.01464204 | ~ |

OrcaFlex 9.2a: riser 20 200 1.dat (modified 21:04 on 14/02/2019 by OrcaFlex 9.2a)

Column A: Arc Length (m)

Other columns: riser scr Max von Mises Stress (kPa)

Period: t = -50,000 to 8016,000s

| Arc Length (m) | Minimum | Maximum | Mean | Std. Dev. | Allowable Stress |
|----------------|-------------|-------------|-------------|-------------|------------------|
| 0 | 137248.483 | 148692.0953 | 141586.5734 | 1509.372807 | ~ |
| 3.030232558 | 128021.8111 | 135507.148 | 131680.0725 | 970.7070485 | ~ |
| 9.090697674 | 97034.40069 | 133272.3448 | 115752.0929 | 4073.991742 | ~ |
| 15.15116279 | 75421.6005 | 133824.3682 | 105594.6855 | 6713.600483 | ~ |
| 21.21162791 | 63235.19408 | 134595.0068 | 99905.98001 | 8545.199549 | ~ |
| 27.27209302 | 58332.68801 | 135941.5828 | 97540.57124 | 9610.364927 | ~ |
| 33.33255814 | 58531.40516 | 137179.5395 | 97539.99622 | 10050.1639 | ~ |
| 39.39302326 | 61838.93681 | 138347.4995 | 99164.78766 | 10042.7843 | ~ |
| 45.45348837 | 66913.06996 | 139600.6683 | 101892.7049 | 9750.058329 | ~ |
| 51.51395349 | 72839.946 | 141156.6252 | 105381.5746 | 9295.617567 | ~ |
| 57.5744186 | 79124.89273 | 143099.5142 | 109419.8065 | 8765.481272 | ~ |
| 63.63488372 | 85822.3857 | 145469.9225 | 113882.6228 | 8216.207448 | ~ |
| 69.69534884 | 92779.81848 | 148364.2117 | 118699.9326 | 7682.983567 | ~ |
| 75.75581395 | 99929.59651 | 151758.003 | 123834.8927 | 7185.661377 | ~ |
| 81.81627907 | 107245.7106 | 155639.787 | 129270.2695 | 6732.972138 | ~ |
| 87.87674419 | 114643.7255 | 160015.5818 | 134999.9407 | 6325.628627 | ~ |
| 93.9372093 | 121576.1712 | 164749.7336 | 141023.6093 | 5958.878721 | ~ |
| 99.99767442 | 128447.4273 | 169806.5948 | 147343.4649 | 5624.788357 | ~ |
| 106.0581395 | 135657.9747 | 175201.888 | 153962.0058 | 5314.297998 | ~ |
| 112.1186047 | 143241.4303 | 180849.2683 | 160880.5383 | 5018.984155 | ~ |
| 118.1790698 | 151193.4795 | 186750.636 | 168098.0621 | 4732.457348 | ~ |
| 124.2395349 | 159541.3971 | 192940.5063 | 175610.3714 | 4451.395991 | ~ |
| 130.3 | 168285.6731 | 199422.9612 | 183409.2694 | 4176.272104 | ~ |
| 136.3604651 | 177281.5105 | 206164.3784 | 191481.8399 | 3911.824791 | ~ |
| 142.4209302 | 186528.9393 | 213483.8437 | 199809.7478 | 3667.249902 | ~ |
| 148.4813953 | 195597.9065 | 221655.6533 | 208368.5565 | 3455.87575 | ~ |
| 154.5418605 | 204888.3589 | 230061.2697 | 217127.0615 | 3293.827186 | ~ |
| 160.6023256 | 214328.2759 | 238597.9781 | 226046.6474 | 3197.098041 | ~ |
| 166.6627907 | 223760.6659 | 247214.6036 | 235080.6816 | 3177.120488 | ~ |
| 172.7232558 | 232903.8522 | 255875.6364 | 244173.9568 | 3236.467884 | ~ |
| 178.7837209 | 241642.0848 | 264938.2427 | 253262.2025 | 3367.261399 | ~ |
| 184.844186 | 249535.7207 | 274586.6251 | 262271.6792 | 3553.28567 | ~ |
| 190.9046512 | 257238.417 | 283984.0798 | 271118.8719 | 3774.102272 | ~ |
| 196.9651163 | 264735.1545 | 293081.4018 | 279710.2953 | 4008.732225 | ~ |
| 203.0255814 | 272036.6865 | 301999.5428 | 287942.4174 | 4237.81989 | ~ |
| 209.0860465 | 279035.3628 | 310404.0722 | 295701.7023 | 4444.491299 | ~ |

| | | | | | |
|-------------|-------------|-------------|-------------|-------------|---|
| 215.1465116 | 285620.2556 | 318005.1628 | 302864.7661 | 4614.494038 | ~ |
| 221.2069767 | 291673.9734 | 324648.4617 | 309298.6248 | 4736.057682 | ~ |
| 227.2674419 | 297093.4785 | 330186.0683 | 314861.0069 | 4799.692872 | ~ |
| 233.327907 | 301761.8861 | 334463.976 | 319400.6854 | 4798.005506 | ~ |
| 239.3883721 | 305530.2311 | 337317.5326 | 322757.7704 | 4725.543884 | ~ |
| 245.4488372 | 308063.0067 | 338938.6231 | 324763.8897 | 4578.670653 | ~ |
| 251.5093023 | 309072.7586 | 338767.3494 | 325242.1682 | 4355.458224 | ~ |
| 257.5697674 | 308734.81 | 336831.4091 | 324006.9024 | 4055.624599 | ~ |
| 261.1 | 308038.9547 | 335050.8245 | 322666.7734 | 3857.515879 | ~ |
| 262.1 | 307685.036 | 334322.4405 | 322096.1197 | 3793.699999 | ~ |
| 263.1 | 307283.3371 | 333529.9114 | 321469.3417 | 3727.892677 | ~ |
| 264.1 | 306836.0852 | 332670.5579 | 320785.4974 | 3660.10137 | ~ |
| 265.1 | 306342.4241 | 331742.9762 | 320043.6401 | 3590.351532 | ~ |
| 266.1 | 305795.3771 | 330749.1299 | 319242.7986 | 3518.669578 | ~ |
| 267.1 | 305196.9833 | 329683.9501 | 318382.0047 | 3445.072727 | ~ |
| 268.1 | 304547.5415 | 328549.9533 | 317460.2789 | 3369.589075 | ~ |
| 269.1 | 303846.1835 | 327344.8467 | 316476.6244 | 3292.253134 | ~ |
| 270.1 | 303088.8993 | 326066.6666 | 315430.0373 | 3213.093364 | ~ |
| 271.1 | 302280.5518 | 324715.9371 | 314319.5072 | 3132.142402 | ~ |
| 272.1 | 301414.1551 | 323291.0198 | 313144.0035 | 3049.450838 | ~ |
| 273.1 | 300488.8473 | 321790.724 | 311902.4899 | 2965.058433 | ~ |
| 274.1 | 299504.8204 | 320213.4019 | 310593.9166 | 2879.01569 | ~ |
| 275.1 | 298461.0351 | 318560.7555 | 309217.2178 | 2791.382431 | ~ |
| 276.1 | 297356.5455 | 316829.5718 | 307771.3177 | 2702.226809 | ~ |
| 277.1 | 296191.7773 | 315018.7559 | 306255.1264 | 2611.623737 | ~ |
| 278.1 | 294960.9078 | 313127.82 | 304667.5405 | 2519.65933 | ~ |
| 279.1 | 293663.7138 | 311155.4579 | 303007.4358 | 2426.439821 | ~ |
| 280.1 | 292302.9709 | 309099.4079 | 301273.6816 | 2332.083729 | ~ |
| 281.1 | 290873.4129 | 306960.409 | 299465.1261 | 2236.731751 | ~ |
| 282.1 | 289373.4439 | 304736.68 | 297580.601 | 2140.556247 | ~ |
| 283.1 | 287803.4923 | 302426.3113 | 295618.9234 | 2043.760169 | ~ |
| 284.1 | 286159.4592 | 300028.2477 | 293578.8907 | 1946.591027 | ~ |
| 285.1 | 284442.5662 | 297607.7716 | 291459.2822 | 1849.355748 | ~ |
| 286.1 | 282646.9532 | 295229.5143 | 289258.8603 | 1752.426092 | ~ |
| 287.1 | 280727.2099 | 292768.4019 | 286976.3651 | 1656.271202 | ~ |
| 288.1 | 278654.3075 | 290215.147 | 284610.5181 | 1561.476618 | ~ |
| 289.1 | 276504.1523 | 287568.8499 | 282160.0197 | 1468.785747 | ~ |
| 290.1 | 274278.2632 | 284827.763 | 279623.5476 | 1379.135552 | ~ |
| 291.1 | 271738.8678 | 281997.1936 | 276999.7575 | 1293.712151 | ~ |
| 292.1 | 269059.4852 | 279070.6725 | 274287.2844 | 1214.006077 | ~ |
| 293.1 | 266297.7474 | 276044.9339 | 271484.7373 | 1141.85746 | ~ |
| 294.1 | 263438.0886 | 272919.3833 | 268590.6977 | 1079.473873 | ~ |
| 295.1 | 260490.4242 | 269695.3728 | 265603.729 | 1029.366424 | ~ |
| 296.1 | 257456.0598 | 266387.7343 | 262522.3638 | 994.1617022 | ~ |
| 297.1 | 254333.5037 | 263244.0827 | 259345.1077 | 976.267034 | ~ |
| 298.1 | 251105.5187 | 260004.1531 | 256070.4415 | 977.4409874 | ~ |
| 299.1 | 247785.5825 | 256660.0545 | 252696.8161 | 998.4168541 | ~ |
| 300.1 | 244372.5814 | 253225.3925 | 249222.6558 | 1038.780742 | ~ |
| 301.1 | 240864.6277 | 249796.4986 | 245646.3554 | 1097.146655 | ~ |
| 302.1 | 237243.295 | 246275.6134 | 241966.2767 | 1171.545643 | ~ |
| 303.1 | 233412.4262 | 242689.5515 | 238180.7569 | 1259.826161 | ~ |
| 304.1 | 229230.6001 | 239022.9525 | 234288.0999 | 1359.932851 | ~ |

| | | | | | |
|-------|-------------|-------------|-------------|-------------|---|
| 305.1 | 224874.2272 | 235425.8383 | 230286.5796 | 1470.062987 | ~ |
| 306.1 | 220399.8215 | 231736.3292 | 226174.4421 | 1588.718901 | ~ |
| 307.1 | 215807.8104 | 227952.9452 | 221949.8998 | 1714.679771 | ~ |
| 308.1 | 211058.6667 | 224072.1661 | 217611.1382 | 1846.978191 | ~ |
| 309.1 | 206137.695 | 220092.7776 | 213156.314 | 1984.854987 | ~ |
| 310.1 | 201093.1533 | 216012.4651 | 208583.558 | 2127.708855 | ~ |
| 311.1 | 195920.835 | 211832.5493 | 203890.9758 | 2275.069618 | ~ |
| 312.1 | 190621.8769 | 207545.2186 | 199076.6486 | 2426.569454 | ~ |
| 313.1 | 185194.1749 | 203143.3333 | 194138.6413 | 2581.919982 | ~ |
| 314.1 | 179635.4598 | 198625.6992 | 189075.0051 | 2740.893705 | ~ |
| 315.1 | 173941.0523 | 193990.1529 | 183883.7824 | 2903.314313 | ~ |
| 316.1 | 168110.7732 | 189235.5416 | 178563.0167 | 3069.04265 | ~ |
| 317.1 | 162143.4596 | 184357.2004 | 173110.7638 | 3237.971465 | ~ |
| 318.1 | 156037.2253 | 179357.1638 | 167525.1045 | 3410.017624 | ~ |
| 319.1 | 149789.6775 | 174229.4581 | 161804.1628 | 3585.11401 | ~ |
| 320.1 | 143398.8691 | 168975.6924 | 155946.1327 | 3763.208927 | ~ |
| 321.1 | 136863.0381 | 163592.4599 | 149949.3088 | 3944.253847 | ~ |
| 322.1 | 130180.1367 | 158076.7379 | 143812.1309 | 4128.200793 | ~ |
| 323.1 | 123348.4202 | 152430.0903 | 137533.2446 | 4314.993756 | ~ |
| 324.1 | 116368.418 | 146649.9118 | 131111.5818 | 4504.555412 | ~ |
| 325.1 | 109165.7255 | 140734.9786 | 124546.4787 | 4696.769543 | ~ |
| 326.1 | 101764.8081 | 134685.1038 | 117837.8379 | 4891.452647 | ~ |
| 327.1 | 94261.40048 | 128499.9139 | 110986.4592 | 5088.040487 | ~ |
| 328.1 | 86760.85191 | 122180.9901 | 103996.6363 | 5280.936593 | ~ |
| 329.1 | 79376.84484 | 115759.4811 | 96889.86366 | 5446.385614 | ~ |
| 330.1 | 72209.93789 | 109248.5948 | 89726.81562 | 5547.301232 | ~ |
| 331.1 | 65350.00833 | 102615.0021 | 82605.10882 | 5562.620645 | ~ |
| 332.1 | 58879.90597 | 95866.98174 | 75633.13399 | 5494.289716 | ~ |
| 333.1 | 52877.86005 | 89057.07343 | 68914.38228 | 5351.492715 | ~ |
| 334.1 | 47414.08045 | 82293.30428 | 62540.43658 | 5142.799047 | ~ |
| 335.1 | 42550.88827 | 75691.13972 | 56590.79534 | 4875.273551 | ~ |
| 336.1 | 38341.33488 | 69349.33524 | 51133.5351 | 4554.742129 | ~ |
| 337.1 | 34824.83686 | 63351.22913 | 46225.51725 | 4186.435604 | ~ |
| 338.1 | 32019.8116 | 57768.57417 | 41911.49197 | 3776.125255 | ~ |
| 339.1 | 29914.55647 | 52656.00439 | 38221.52506 | 3331.756793 | ~ |
| 340.1 | 28636.04714 | 48055.86315 | 35168.32885 | 2861.994746 | ~ |
| 341.1 | 27706.0874 | 43997.20785 | 32748.56024 | 2370.797373 | ~ |
| 342.1 | 27168.69837 | 40493.85207 | 30947.75938 | 1864.51536 | ~ |
| 343.1 | 26680.12878 | 37546.79912 | 29712.23261 | 1388.338903 | ~ |
| 344.1 | 26322.65215 | 35132.72632 | 28929.61082 | 1001.600928 | ~ |
| 345.1 | 26193.06191 | 33216.00798 | 28474.82388 | 722.4705585 | ~ |
| 346.1 | 26213.85881 | 31744.88846 | 28242.08724 | 535.0496696 | ~ |
| 347.1 | 26267.6823 | 30652.0801 | 28152.55416 | 419.6555811 | ~ |
| 348.1 | 26348.50371 | 29868.55694 | 28146.85927 | 357.165462 | ~ |
| 349.1 | 26450.06216 | 29414.35415 | 28181.04185 | 327.7369552 | ~ |
| 350.1 | 26543.16956 | 29097.79154 | 28223.8512 | 314.1134166 | ~ |
| 351.1 | 26632.15107 | 28873.1057 | 28254.5469 | 305.6014677 | ~ |
| 352.1 | 26700.09303 | 28830.13912 | 28260.74405 | 297.3743124 | ~ |
| 353.1 | 26739.86004 | 28765.93669 | 28236.43911 | 287.9559923 | ~ |
| 354.1 | 26749.89696 | 28682.44838 | 28180.31071 | 277.308329 | ~ |
| 355.1 | 26731.41069 | 28573.99545 | 28094.33759 | 265.8387001 | ~ |
| 356.1 | 26687.9719 | 28439.43276 | 27982.7184 | 253.9807063 | ~ |

| | | | | | |
|-------|-------------|-------------|-------------|-------------|---|
| 357.1 | 26624.62564 | 28290.44007 | 27851.0614 | 242.063441 | ~ |
| 358.1 | 26547.30364 | 28130.41555 | 27705.80046 | 230.3014629 | ~ |
| 359.1 | 26462.40915 | 27965.83602 | 27553.80688 | 218.8256046 | ~ |
| 360.1 | 26376.61385 | 27802.84297 | 27402.18084 | 207.7191709 | ~ |
| 361.1 | 26296.80783 | 27648.24123 | 27258.1997 | 197.0476557 | ~ |
| 362.1 | 26230.18741 | 27510.2198 | 27129.40005 | 186.8839501 | ~ |
| 363.1 | 26184.45906 | 27398.20018 | 27023.76991 | 177.3218656 | ~ |
| 364.1 | 26168.13197 | 27319.26828 | 26950.05343 | 168.4749564 | ~ |
| 365.1 | 26190.86035 | 27283.6914 | 26918.08834 | 160.4704683 | ~ |
| 366.1 | 26263.79196 | 27304.90079 | 26939.14299 | 153.4361442 | ~ |
| 367.1 | 26399.85833 | 27397.15725 | 27026.21319 | 147.4772034 | ~ |
| 368.1 | 26613.92069 | 27573.46172 | 27194.20932 | 142.6558063 | ~ |
| 369.1 | 26920.27623 | 27848.97544 | 27459.90465 | 138.9593606 | ~ |
| 370.1 | 27306.97202 | 28241.86477 | 27841.65169 | 136.2746635 | ~ |
| 371.1 | 27829.51409 | 28769.40679 | 28358.70497 | 134.3731717 | ~ |
| 372.1 | 28507.56956 | 29449.74603 | 29030.21174 | 132.9311596 | ~ |
| 373.1 | 29359.6112 | 30394.28542 | 29894.75735 | 149.3343044 | ~ |
| 374.1 | 30556.38757 | 31649.97585 | 31145.72453 | 152.991283 | ~ |
| 375.1 | 32062.58603 | 33133.02525 | 32632.18376 | 149.3420234 | ~ |
| 376.1 | 33807.17015 | 34849.83804 | 34354.28803 | 144.8509046 | ~ |
| 377.1 | 35786.85342 | 36794.36178 | 36309.15896 | 139.4937612 | ~ |
| 378.1 | 37991.01584 | 38956.04297 | 38486.71683 | 133.3525078 | ~ |
| 379.1 | 40401.56126 | 41318.32491 | 40869.47347 | 126.5808042 | ~ |
| 380.1 | 42992.85527 | 43857.20988 | 43432.41152 | 119.3716705 | ~ |
| 381.1 | 45730.8572 | 46543.75523 | 46142.83894 | 111.9312659 | ~ |
| 382.1 | 48575.06891 | 49337.13082 | 48960.16097 | 104.4602429 | ~ |
| 383.1 | 51476.37212 | 52188.30206 | 51835.54447 | 97.14220814 | ~ |
| 384.1 | 54376.84645 | 55040.30176 | 54711.47555 | 90.13832763 | ~ |
| 385.1 | 57209.17769 | 57826.91318 | 57521.23025 | 83.58586003 | ~ |
| 386.1 | 59896.95422 | 60473.47228 | 60188.28735 | 77.59890961 | ~ |
| 387.1 | 62353.04812 | 62891.91302 | 62625.71809 | 72.27009893 | ~ |
| 388.1 | 64479.37202 | 64984.43044 | 64735.59171 | 67.67217695 | ~ |
| 389.1 | 66166.33927 | 66641.73245 | 66408.44088 | 63.8588939 | ~ |
| 390.1 | 67291.93743 | 67751.24455 | 67522.8402 | 60.86486661 | ~ |
| 391.1 | 67722.23443 | 68171.69099 | 67945.17242 | 58.70458393 | ~ |
| 392.1 | 67312.34529 | 67756.38883 | 67529.69554 | 57.37095324 | ~ |
| 393.1 | 65905.00094 | 66347.575 | 66119.10898 | 56.83346795 | ~ |
| 394.1 | 63332.90624 | 63777.97134 | 63546.01219 | 57.03493089 | ~ |
| 395.1 | 59421.24475 | 59874.29645 | 59636.14294 | 57.8826125 | ~ |
| 396.1 | 53993.2723 | 54460.88325 | 54215.68693 | 59.22183473 | ~ |
| 397.1 | 46899.80692 | 47381.64833 | 47129.59185 | 60.7522603 | ~ |
| 398.1 | 38062.36416 | 38552.41525 | 38296.56772 | 61.71834784 | ~ |
| 399.1 | 28034.62465 | 28460.66581 | 28238.30993 | 53.70920056 | ~ |
| 400.1 | 20321.55149 | 20567.73295 | 20438.56623 | 30.96137067 | ~ |
| 400.6 | 18670.06943 | 18720.27386 | 18691.99659 | 6.262247714 | ~ |

OrcaFlex 9.2a: riser 16 200 8000.sim (modified 0:05 on 23/03/2019 by OrcaFlex 9.2a)

Column A: Arc Length (m)

Other columns: riser scr Max von Mises Stress (kPa)

Period: t = -50,000 to 8016,000s

| Arc Length (m) | Minimum | Maximum | Mean | Std. Dev. | Allowable Stress |
|----------------|-------------|-------------|-------------|-------------|------------------|
| 0 | 110679.4973 | 119026.9462 | 113882.2993 | 1111.534182 | ~ |
| 3.030232558 | 103770.8498 | 113264.9964 | 108384.3409 | 1165.115432 | ~ |
| 9.090697674 | 79155.58639 | 121264.9609 | 100595.5908 | 4775.140671 | ~ |
| 15.15116279 | 63023.72818 | 130300.5143 | 97070.16979 | 7902.907611 | ~ |
| 21.21162791 | 55302.21577 | 137990.5604 | 96957.17861 | 10201.88102 | ~ |
| 27.27209302 | 54435.95887 | 145607.4192 | 99403.31322 | 11647.69649 | ~ |
| 33.33255814 | 58263.67639 | 152152.118 | 103650.147 | 12364.8657 | ~ |
| 39.39302326 | 64929.23711 | 157812.1237 | 109100.421 | 12533.42789 | ~ |
| 45.45348837 | 73177.49551 | 162873.544 | 115330.3888 | 12323.01444 | ~ |
| 51.51395349 | 82026.46589 | 167581.7269 | 122061.5813 | 11868.84915 | ~ |
| 57.5744186 | 91401.83143 | 172137.9296 | 129120.7066 | 11271.2516 | ~ |
| 63.63488372 | 101164.6897 | 176805.4882 | 136404.5209 | 10602.41517 | ~ |
| 69.69534884 | 111158.0034 | 181681.8902 | 143854.1538 | 9913.396844 | ~ |
| 75.75581395 | 121274.3109 | 186842.7922 | 151437.8286 | 9239.45823 | ~ |
| 81.81627907 | 131144.1247 | 192337.1512 | 159139.6667 | 8603.799888 | ~ |
| 87.87674419 | 140888.8757 | 198178.9442 | 166952.5348 | 8020.194593 | ~ |
| 93.9372093 | 150514.0679 | 204325.3135 | 174873.483 | 7495.013324 | ~ |
| 99.99767442 | 160015.6646 | 210728.1654 | 182900.8185 | 7029.011493 | ~ |
| 106.0581395 | 169235.2669 | 217313.6542 | 191032.2035 | 6619.070792 | ~ |
| 112.1186047 | 178393.7825 | 224054.7667 | 199263.3971 | 6259.914998 | ~ |
| 118.1790698 | 187553.1491 | 230901.229 | 207587.4036 | 5945.700216 | ~ |
| 124.2395349 | 196738.1489 | 237859.9582 | 215993.8815 | 5671.318487 | ~ |
| 130.3 | 205981.476 | 245059.3462 | 224468.722 | 5433.263258 | ~ |
| 136.3604651 | 215216.4019 | 252645.3658 | 232993.7421 | 5229.976143 | ~ |
| 142.4209302 | 223948.8072 | 260205.0745 | 241546.4624 | 5061.657321 | ~ |
| 148.4813953 | 232472.02 | 268113.6647 | 250099.9485 | 4929.601171 | ~ |
| 154.5418605 | 241011.3514 | 276034.5055 | 258622.71 | 4835.199619 | ~ |
| 160.6023256 | 249587.0336 | 284006.129 | 267078.6506 | 4778.835741 | ~ |
| 166.6627907 | 258153.2654 | 291972.2789 | 275427.0709 | 4758.948886 | ~ |

| | | | | | |
|-------------|-------------|-------------|-------------|-------------|---|
| | | | | | |
| 172.7232558 | 266633.9979 | 299823.2572 | 283622.7221 | 4771.527477 | ~ |
| 178.7837209 | 274846.1789 | 307464.6318 | 291615.913 | 4810.155426 | ~ |
| 184.844186 | 282326.5285 | 315254.7016 | 299352.6686 | 4866.552774 | ~ |
| 190.9046512 | 289119.964 | 323087.165 | 306774.9411 | 4931.409378 | ~ |
| 196.9651163 | 295533.2787 | 330397.0957 | 313820.8696 | 4995.27472 | ~ |
| 203.0255814 | 301593.2708 | 337131.3602 | 320425.0848 | 5049.326849 | ~ |
| 209.0860465 | 307272.0997 | 343491.5633 | 326519.0521 | 5085.933265 | ~ |
| 215.1465116 | 312559.6663 | 349089.2273 | 332031.4466 | 5098.989246 | ~ |
| 221.2069767 | 317371.7184 | 353832.0636 | 336888.5479 | 5084.064022 | ~ |
| 227.2674419 | 321650.9249 | 357617.905 | 341014.6441 | 5038.39096 | ~ |
| 233.327907 | 325308.6435 | 360376.503 | 344332.4313 | 4960.739295 | ~ |
| 239.3883721 | 328232.8106 | 362056.3342 | 346763.3922 | 4851.201586 | ~ |
| 245.4488372 | 330312.7419 | 362580.4443 | 348228.136 | 4710.922701 | ~ |
| 251.5093023 | 331446.6415 | 362194.3661 | 348646.6821 | 4541.7981 | ~ |
| 257.5697674 | 331525.1868 | 361362.147 | 347938.6667 | 4346.170667 | ~ |
| 261.1 | 331168.8622 | 360419.0777 | 347127.6198 | 4229.879279 | ~ |
| 262.1 | 330963.6395 | 360008.6769 | 346779.0694 | 4193.174577 | ~ |
| 263.1 | 330676.4367 | 359561.3044 | 346395.9927 | 4155.863218 | ~ |
| 264.1 | 330353.1429 | 359070.5235 | 345978.0325 | 4117.949139 | ~ |
| 265.1 | 329994.2237 | 358537.4789 | 345524.8217 | 4079.447272 | ~ |
| 266.1 | 329605.2095 | 357961.0542 | 345035.9936 | 4040.366258 | ~ |
| 267.1 | 329186.1855 | 357345.3828 | 344511.1821 | 4000.724247 | ~ |
| 268.1 | 328732.6195 | 356689.056 | 343950.0257 | 3960.524595 | ~ |
| 269.1 | 328245.9203 | 355987.1108 | 343352.1565 | 3919.779091 | ~ |
| 270.1 | 327732.818 | 355243.8622 | 342717.2097 | 3878.493735 | ~ |
| 271.1 | 327182.7014 | 354454.865 | 342044.8179 | 3836.687936 | ~ |
| 272.1 | 326596.6509 | 353626.1304 | 341334.6073 | 3794.370373 | ~ |
| 273.1 | 325981.654 | 352752.2002 | 340586.2223 | 3751.538421 | ~ |
| 274.1 | 325332.3798 | 351834.937 | 339799.2908 | 3708.221102 | ~ |
| 275.1 | 324644.9083 | 350870.9213 | 338973.4353 | 3664.420992 | ~ |
| 276.1 | 323925.9136 | 349864.35 | 338108.2962 | 3620.139905 | ~ |
| 277.1 | 323171.1016 | 348814.2754 | 337203.4989 | 3575.402534 | ~ |
| 278.1 | 322377.111 | 347718.0867 | 336258.6682 | 3530.219664 | ~ |
| 279.1 | 321551.4811 | 346573.8398 | 335273.4383 | 3484.59069 | ~ |
| 280.1 | 320690.9249 | 345387.9514 | 334247.4346 | 3438.532698 | ~ |
| 281.1 | 319788.6799 | 344157.9292 | 333180.2757 | 3392.065548 | ~ |
| 282.1 | 318851.8623 | 342879.4902 | 332071.5931 | 3345.196542 | ~ |
| 283.1 | 317882.026 | 341559.3532 | 330921.007 | 3297.937836 | ~ |
| 284.1 | 316872.2737 | 340193.1845 | 329728.1392 | 3250.307773 | ~ |
| 285.1 | 315820.7802 | 338785.6563 | 328492.6113 | 3202.321988 | ~ |
| 286.1 | 314732.9716 | 337335.1735 | 327214.0399 | 3153.992117 | ~ |
| 287.1 | 313607.0718 | 335839.8016 | 325892.0424 | 3105.341617 | ~ |
| 288.1 | 312437.5009 | 334300.9016 | 324526.2335 | 3056.391575 | ~ |
| 289.1 | 311231.5728 | 332716.1612 | 323116.2293 | 3007.157051 | ~ |
| 290.1 | 309981.4202 | 331084.8388 | 321661.6381 | 2957.668556 | ~ |
| 291.1 | 308690.2577 | 329409.1104 | 320162.0692 | 2907.947939 | ~ |
| 292.1 | 307355.8942 | 327682.2238 | 318617.1338 | 2858.018873 | ~ |
| 293.1 | 305978.0489 | 325911.8981 | 317026.4342 | 2807.919182 | ~ |
| 294.1 | 304554.6197 | 324090.2517 | 315389.568 | 2757.681927 | ~ |
| 295.1 | 303094.1387 | 322225.3527 | 313706.1423 | 2707.340159 | ~ |
| 296.1 | 301493.3749 | 320308.1927 | 311975.7514 | 2656.936944 | ~ |
| 297.1 | 299848.0941 | 318348.4827 | 310197.9898 | 2606.518754 | ~ |

| | | | | | |
|-------|-------------|-------------|-------------|-------------|---|
| 298.1 | 298148.7161 | 316340.0144 | 308372.4477 | 2556.134337 | ~ |
| 299.1 | 296411.3984 | 314373.8262 | 306498.7138 | 2505.83941 | ~ |
| 300.1 | 294623.5968 | 312372.813 | 304576.3748 | 2455.695091 | ~ |
| 301.1 | 292791.7501 | 310315.7234 | 302605.009 | 2405.76923 | ~ |
| 302.1 | 290918.3885 | 308201.9861 | 300584.1976 | 2356.137163 | ~ |
| 303.1 | 288989.2446 | 306033.1662 | 298513.5153 | 2306.880243 | ~ |
| 304.1 | 287018.127 | 303810.3852 | 296392.5292 | 2258.08899 | ~ |
| 305.1 | 284944.324 | 301530.3631 | 294220.8084 | 2209.868634 | ~ |
| 306.1 | 282759.7044 | 299191.3566 | 291997.9164 | 2162.327759 | ~ |
| 307.1 | 280524.8108 | 296792.6906 | 289723.4101 | 2115.583005 | ~ |
| 308.1 | 278236.902 | 294335.1836 | 287396.8427 | 2069.774871 | ~ |
| 309.1 | 275905.3073 | 291819.4039 | 285017.7653 | 2025.048741 | ~ |
| 310.1 | 273522.5515 | 289245.1613 | 282585.7236 | 1981.562111 | ~ |
| 311.1 | 271086.2645 | 286609.7855 | 280100.2552 | 1939.49124 | ~ |
| 312.1 | 268606.3501 | 283913.4318 | 277560.8954 | 1899.02183 | ~ |
| 313.1 | 266079.7512 | 281154.8577 | 274967.1775 | 1860.358124 | ~ |
| 314.1 | 263494.98 | 278333.4582 | 272318.6238 | 1823.714464 | ~ |
| 315.1 | 260865.0868 | 275573.9567 | 269614.753 | 1789.318856 | ~ |
| 316.1 | 258189.8203 | 272804.5519 | 266855.0842 | 1757.413682 | ~ |
| 317.1 | 255464.3916 | 269971.226 | 264039.1222 | 1728.247158 | ~ |
| 318.1 | 252682.4265 | 267073.9099 | 261166.3708 | 1702.072143 | ~ |
| 319.1 | 249853.4435 | 264112.3516 | 258236.3304 | 1679.147421 | ~ |
| 320.1 | 246977.9187 | 261086.1327 | 255248.4925 | 1659.727382 | ~ |
| 321.1 | 244054.193 | 257996.6144 | 252202.3442 | 1644.05298 | ~ |
| 322.1 | 241074.2733 | 254842.9831 | 249097.3664 | 1632.358529 | ~ |
| 323.1 | 238040.9348 | 251622.7501 | 245933.0352 | 1624.851189 | ~ |
| 324.1 | 234957.5629 | 248399.2588 | 242708.8221 | 1621.71037 | ~ |
| 325.1 | 231824.9115 | 245140.1958 | 239424.1923 | 1623.086641 | ~ |
| 326.1 | 228641.8353 | 241820.3745 | 236078.6062 | 1629.087378 | ~ |
| 327.1 | 225407.1603 | 238450.1441 | 232671.5199 | 1639.781874 | ~ |
| 328.1 | 222109.5161 | 235115.3925 | 229202.3842 | 1655.195954 | ~ |
| 329.1 | 218759.3649 | 231721.5772 | 225670.6468 | 1675.309295 | ~ |
| 330.1 | 215356.3259 | 228263.1292 | 222075.752 | 1700.067282 | ~ |
| 331.1 | 211899.5038 | 224741.6487 | 218417.1421 | 1729.372862 | ~ |
| 332.1 | 208150.5117 | 221157.0518 | 214694.2539 | 1763.094176 | ~ |
| 333.1 | 204258.801 | 217511.7163 | 210906.5258 | 1801.077417 | ~ |
| 334.1 | 200306.4287 | 213801.873 | 207053.3988 | 1843.141526 | ~ |
| 335.1 | 196292.7319 | 210031.4732 | 203134.3105 | 1889.089385 | ~ |
| 336.1 | 192215.5212 | 206195.7789 | 199148.7033 | 1938.710721 | ~ |
| 337.1 | 188070.6406 | 202295.6286 | 195096.0263 | 1991.787659 | ~ |
| 338.1 | 183863.0062 | 198333.2019 | 190975.7346 | 2048.0993 | ~ |
| 339.1 | 179591.0982 | 194307.302 | 186787.2937 | 2107.416636 | ~ |
| 340.1 | 175178.0485 | 190218.3001 | 182530.1844 | 2169.514413 | ~ |
| 341.1 | 170625.5724 | 186066.0631 | 178203.9045 | 2234.167899 | ~ |
| 342.1 | 166004.8639 | 181847.9734 | 173807.9749 | 2301.14739 | ~ |
| 343.1 | 161316.1178 | 177564.0385 | 169341.9469 | 2370.227314 | ~ |
| 344.1 | 156559.4307 | 173215.7231 | 164805.4091 | 2441.175654 | ~ |
| 345.1 | 151734.2649 | 168801.326 | 160197.9961 | 2513.758481 | ~ |
| 346.1 | 146840.3185 | 164321.7694 | 155519.4021 | 2587.733125 | ~ |
| 347.1 | 141878.5582 | 159777.3649 | 150769.3925 | 2662.841876 | ~ |
| 348.1 | 136720.0762 | 155164.2385 | 145947.8246 | 2738.814558 | ~ |
| 349.1 | 131465.7383 | 150481.4706 | 141054.6697 | 2815.35179 | ~ |

| | | | | | |
|-------|-------------|-------------|-------------|-------------|---|
| 350.1 | 126144.3551 | 145725.3799 | 136090.0409 | 2892.123554 | ~ |
| 351.1 | 120757.0623 | 140959.0478 | 131054.2313 | 2968.7557 | ~ |
| 352.1 | 115305.9422 | 136143.5483 | 125947.761 | 3044.814852 | ~ |
| 353.1 | 109793.7765 | 131254.9357 | 120771.4417 | 3119.789118 | ~ |
| 354.1 | 104224.1474 | 126294.3972 | 115526.4554 | 3193.06271 | ~ |
| 355.1 | 98600.53071 | 121263.1682 | 110214.4661 | 3263.881486 | ~ |
| 356.1 | 92930.49772 | 116157.8545 | 104837.7692 | 3331.30307 | ~ |
| 357.1 | 87230.81448 | 110982.4487 | 99399.49686 | 3394.1247 | ~ |
| 358.1 | 81539.49747 | 105733.233 | 93903.97691 | 3450.569722 | ~ |
| 359.1 | 75903.35139 | 100410.1652 | 88357.52165 | 3497.339244 | ~ |
| 360.1 | 70363.53045 | 95021.42851 | 82770.09893 | 3528.026894 | ~ |
| 361.1 | 64957.88235 | 89563.48009 | 77157.72834 | 3532.436137 | ~ |
| 362.1 | 59722.33702 | 84039.60931 | 71544.46762 | 3498.476488 | ~ |
| 363.1 | 54692.4207 | 78461.17795 | 65962.56195 | 3415.583612 | ~ |
| 364.1 | 49907.48118 | 72829.54346 | 60451.18943 | 3276.656684 | ~ |
| 365.1 | 45411.1439 | 67156.62219 | 55056.09579 | 3077.633447 | ~ |
| 366.1 | 41267.37442 | 61459.29944 | 49831.26051 | 2815.826286 | ~ |
| 367.1 | 37553.98073 | 55755.39076 | 44844.25243 | 2487.943607 | ~ |
| 368.1 | 34552.47914 | 50082.37809 | 40185.58852 | 2088.824116 | ~ |
| 369.1 | 32420.10035 | 44486.43842 | 36048.51378 | 1539.339743 | ~ |
| 370.1 | 30624.83602 | 39057.96933 | 32921.7358 | 906.626664 | ~ |
| 371.1 | 28999.44343 | 34196.65444 | 30683.45335 | 484.3389594 | ~ |
| 372.1 | 27612.01985 | 31714.01049 | 29388.5107 | 542.2094977 | ~ |
| 373.1 | 26523.57589 | 32357.42832 | 29162.73554 | 958.4955356 | ~ |
| 374.1 | 25723.66981 | 33802.73599 | 30015.05359 | 1328.052655 | ~ |
| 375.1 | 25592.1405 | 35929.50033 | 31819.76193 | 1561.400693 | ~ |
| 376.1 | 26973.33674 | 39078.77535 | 34410.70465 | 1717.000933 | ~ |
| 377.1 | 29573.23982 | 42606.1378 | 37837.89895 | 1901.26814 | ~ |
| 378.1 | 33008.65383 | 46364.40154 | 41860.11368 | 1865.108933 | ~ |
| 379.1 | 37227.97211 | 50265.63723 | 46131.06817 | 1737.883678 | ~ |
| 380.1 | 42180.6973 | 54235.48349 | 50507.10431 | 1592.737262 | ~ |
| 381.1 | 47210.19684 | 58207.0059 | 54893.02711 | 1443.027272 | ~ |
| 382.1 | 52188.00927 | 62116.04015 | 59207.40295 | 1295.629152 | ~ |
| 383.1 | 57011.72274 | 65897.70536 | 63374.70084 | 1154.578005 | ~ |
| 384.1 | 61591.0751 | 69484.25062 | 67320.29806 | 1022.195521 | ~ |
| 385.1 | 65839.89103 | 72845.35542 | 70967.05039 | 899.7377656 | ~ |
| 386.1 | 69671.04053 | 75866.93292 | 74232.85938 | 787.7738059 | ~ |
| 387.1 | 72993.15905 | 78442.51378 | 77028.90048 | 686.4138302 | ~ |
| 388.1 | 75708.59512 | 80474.82721 | 79258.32693 | 595.4506153 | ~ |
| 389.1 | 77711.3273 | 81857.34923 | 80815.35183 | 514.4507933 | ~ |
| 390.1 | 78888.04603 | 82475.33169 | 81584.67732 | 442.8162308 | ~ |
| 391.1 | 79115.62149 | 82201.76637 | 81441.29476 | 379.8288927 | ~ |
| 392.1 | 78262.0074 | 80916.20594 | 80250.75347 | 324.6873025 | ~ |
| 393.1 | 76187.08659 | 78458.36202 | 77870.12732 | 276.5400277 | ~ |
| 394.1 | 72744.79695 | 74675.39194 | 74150.19257 | 234.5185604 | ~ |
| 395.1 | 67787.74762 | 69414.81959 | 68940.03656 | 197.7691482 | ~ |
| 396.1 | 61177.22931 | 62533.94916 | 62097.31269 | 165.4726712 | ~ |
| 397.1 | 52809.94345 | 53916.57309 | 53513.91498 | 136.8071322 | ~ |
| 398.1 | 42683.17048 | 43560.21337 | 43192.98355 | 110.6432216 | ~ |
| 399.1 | 31874.15588 | 32447.1464 | 32165.51089 | 74.11506755 | ~ |
| 400.1 | 23690.10121 | 23941.12139 | 23804.45143 | 32.77787485 | ~ |
| 400.6 | 22263.75936 | 22290.04995 | 22275.86496 | 3.085737449 | ~ |

LAMPIRAN D
OUTPUT GRAFIK MAX VON MISES (1 VARIASI
KEDALAMAN DENGAN KONFIGURASI FREE HANGING
CATENARY)

